

ธงชัย ชนิดต่อไปนี้ที่ทางเดียวให้ฉะกานาเรียดีส์ Ecteinascidia
ธงฟาร์นท์สัน *Ecteinascidia thurstoni* Hardman, 1891

ນາທິສອງອົດພິມາ ນຸ່ມອາໄຫ

๑๗๕๐๙ ๒๕๔๙

សំណង់សារធម្មជាតិ និងការរៀបចំប្រព័ន្ធអាសយដ្ឋាន

ผลของแสงและความคืบต่อการเติบโตและการผลิตสาร Ecteinascidins
ของเพรียงหัวหอม *Ecteinascidia thurstoni* Herdman, 1891

นางสาวจิตติมา อุ่มอารีย์

วิทยานิพนธ์นี้เป็นส่วนหนึ่งของการศึกษาตามหลักสูตรปริญญาวิทยาศาสตร์มหาบัณฑิต
สาขาวิทยาศาสตร์ทางทะเล ภาควิชาวิทยาศาสตร์ทางทะเล
คณะวิทยาศาสตร์ จุฬาลงกรณ์มหาวิทยาลัย
ปีการศึกษา 2549
ลิขสิทธิ์ของจุฬาลงกรณ์มหาวิทยาลัย

EFFECTS OF LIGHT AND SALINITY ON GROWTH AND ECTEINASCIDINS PRODUCTION
OF THE TUNICATE *Ecteinascidia thurstoni* Herdman, 1891

Miss Jittima Aumaree

A Thesis Submitted in Partial Fulfillment of the Requirement
for the Degree of Master of Science Program in Marine Science

Department of Marine Science, Faculty of Science

Chulalongkorn University

Academic Year 2006

หัวข้อวิทยานิพนธ์

ผลของแสงและความเค็มต่อการเติบโตและการผลิตสาร

Ecteinascidins ของเพรียงหัวหوم *Ecteinascidia thurstoni*

Herdman, 1891

โดย

นางสาวจิตติมา ยุ้มอริรักษ์

สาขาวิชา

วิทยาศาสตร์ทางทะเล

อาจารย์ที่ปรึกษา

ผู้ช่วยศาสตราจารย์ ดร. สุชนา ชวนิชย์

อาจารย์ที่ปรึกษาร่วม

อาจารย์ ดร. วรรณ พ. วิยกัญจน์

คณะวิทยาศาสตร์ จุฬาลงกรณ์มหาวิทยาลัย อนุมัติให้นับวิทยานิพนธ์ฉบับนี้
เป็นส่วนหนึ่งของการศึกษาตามหลักสูตรปริญญามหาบัณฑิต

..... คณบดีคณะวิทยาศาสตร์
(ศาสตราจารย์ ดร. เปี่ยมศักดิ์ เมเนะเสوات)

คณะกรรมการสอบวิทยานิพนธ์

..... ประธานกรรมการ
(ผู้ช่วยศาสตราจารย์ ดร. เจริญ นิติธรรมยงค์)

..... อาจารย์ที่ปรึกษา
(ผู้ช่วยศาสตราจารย์ ดร. สุชนา ชวนิชย์)

..... อาจารย์ที่ปรึกษาร่วม
(อาจารย์ ดร. วรรณ พ. วิยกัญจน์)

..... กรรมการ
(ศาสตราจารย์ ดร. เปี่ยมศักดิ์ เมเนะเสوات)

..... กรรมการ
(รองศาสตราจารย์ ดร. สมเกียรติ ปะยะธิธิกุล)

จิตติมา อุ่มอารีย์: ผลของแสงและความเค็มต่อการเติบโตและการผลิตสาร *Ecteinascidins* ของเพรียงหัวหوم *Ecteinascidia thurstoni* Herdman, 1891 (EFFECTS OF LIGHT AND SALINITY ON GROWTH AND ECTEINASCIDINS PRODUCTION OF THE TUNICATE *Ecteinascidia thurstoni* Herdman, 1891).

อ. ที่ปรึกษา: ผศ. ดร. สุชนา ชานิชย์, อ. ที่ปรึกษาร่วม: อ. ดร. วรณพ วิຍกาญจน์ 68 หน้า.

ศึกษาผลของแสงและความเค็มต่อการเติบโตและการผลิตสาร *ecteinascidins* (ET) ของเพรียงหัวหوم *Ecteinascidia thurstoni* โดยแบ่งการศึกษาปัจจัยของแสง ออกเป็น 5 ชุดการทดลอง ที่ 0, 25, 50, 75 และ 100 เปอร์เซ็นต์ ของระดับความเข้มแสงปกติในธรรมชาติตามลำดับ และแบ่งการศึกษาปัจจัยความเค็มออกเป็น 5 ชุดการทดลองเช่นกัน ที่ระดับความเค็ม 26, 29, 32, 35 และ 38 พีโอดซู ตามลำดับ ทุกชุดการทดลองให้แพลงก์ตอนพืช *Chaetoceros* sp. เป็นอาหาร ทำการตรวจวัดความยาว น้ำหนักและน้ำหนักตื่นตัว แล้วนำเพรียงหัวหอมมาสักด้วยและวิเคราะห์ปริมาณสาร ET ที่เพรียงหัวหอมผลิต ผลการศึกษาพบว่า การเติบโตของเพรียงหัวหอม *E. thurstoni* ทั้งในส่วนของความยาวสูงสุด ของชูออยด์ต่อโคลโนนี จำนวนชูออยด์สูงสุดต่อโคลโนนี และพื้นที่ปักกลุ่มโคลโนนีสูงสุดของทั้งสองวงชีวิต ในทุกชุด การทดลองของแสงและความเค็มไม่มีความแตกต่างกันทางสถิติ อย่างไรก็ตามความยาวของชูออยด์สูงสุดในวงชีวิตที่หนึ่งและสอง (10.9 ± 0.8 และ 11.1 ± 4.2 มิลลิเมตร) พบรากุ่มที่ได้รับแสง 75 และ 25 เปอร์เซ็นต์ ตามลำดับ ส่วน จำนวนชูออยด์สูงสุดต่อโคลโนนีในวงชีวิตที่หนึ่งและสอง (122 ± 27 และ 56 ± 23 ชูออยด์) พบรากุ่มที่ได้รับแสง 75 และ 100 เปอร์เซ็นต์ ตามลำดับ นอกจากนี้พื้นที่ปักกลุ่มโคลโนนีสูงสุดในวงชีวิตที่หนึ่งและสอง (19.7 ± 6.7 และ 13.4 ± 8.9 เปอร์เซ็นต์) พบรากุ่มที่ได้รับแสง 25 เปอร์เซ็นต์ ทั้งสองวงชีวิต ปริมาณสาร ET 770 ที่เพรียงหัวหอมผลิต มีปริมาณมาก ($0.193 - 0.167$ กรัมต่อ 100 กรัมน้ำหนักแห้งของเพรียงหัวหอม) ในรากุ่มที่ได้รับแสง 25, 75 และ 100 เปอร์เซ็นต์ สำหรับปัจจัยด้านความเค็มนั้น พบความยาวสูงสุดของชูออยด์ในวงชีวิตที่หนึ่งและสอง (11.6 ± 0.6 และ 10.6 ± 0.9 มิลลิเมตร) ในรากุ่มที่ได้รับความเค็ม 38 และ 35 พีโอดซู ตามลำดับ ส่วน จำนวนชูออยด์สูงสุดต่อโคลโนนีในวงชีวิตที่หนึ่งและสอง (88 ± 29 และ 37 ± 19 ชูออยด์) พบรากุ่มที่ได้รับความเค็ม 38 และ 32 พีโอดซู ตามลำดับ นอกจากนี้พื้นที่ปักกลุ่มโคลโนนีสูงสุดในวงชีวิตที่หนึ่งและสอง (19.0 ± 6.2 และ 9.7 ± 2.8 เปอร์เซ็นต์) พบรากุ่มที่ได้รับความเค็ม 38 และ 35 พีโอดซู ตามลำดับ ปริมาณสาร ET 770 ที่เพรียงหัวหอมผลิตมีปริมาณมาก ($0.155 - 0.135$ กรัมต่อ 100 กรัมน้ำหนักแห้งของเพรียงหัวหอม) ในรากุ่มที่ได้รับความเค็ม 26, 29 และ 32 พีโอดซู สรุปได้ว่า เพรียงหัวหอมมีแนวโน้มเติบโตได้ดีที่ระดับแสง 25 และ 75 เปอร์เซ็นต์ และผลิตสาร ET 770 ได้สูงที่ระดับแสง 25, 75 และ 100 เปอร์เซ็นต์ และเพรียงหัวหอมมีแนวโน้มที่จะเติบโตได้ดีที่ระดับความเค็มสูง 35 และ 38 พีโอดซู และสามารถผลิตสาร ET 770 ได้สูงที่ระดับความเค็มต่ำ (26, 29 และ 32 พีโอดซู)

ภาควิชา วิทยาศาสตร์ทางทะเล	ลายมือชื่อนิสิต	ร.ช.๗๒๖ อุ่มอารีย์
สาขาวิชา วิทยาศาสตร์ทางทะเล	ลายมือชื่ออาจารย์ที่ปรึกษา	
ปีการศึกษา ๒๕๔๙	ลายมือชื่ออาจารย์ที่ปรึกษาร่วม	

4672228323: MAJOR MARINE SCIENCE

KEY WORD: TUNICATE / *Ecteinascidia thurstoni* / AQUACULTURE/ LIGHT/ SALINITY

JITTIMA AUMAREE: EFFECTS OF LIGHT AND SALINITY ON GROWTH AND ECTEINASCIDINS PRODUCTION OF THE TUNICATE *Ecteinascidia thurstoni* Herdman, 1891.
THESIS ADVISOR: ASST. PROF. SUCHANA CHAVANICH, Ph.D. THESIS CO-ADVISOR:
VORANOP VIYAKARN, Ph.D. 68 pp.

The effects of light and salinity on growth and ecteinascidins (ET) productions of the tunicate *Ecteinascidia thurstoni* were investigated. Five treatments of light experiment (0, 25, 50, 75 and 100% of the light in the natural habitat) and five treatments of salinity (26, 29, 32, 35 and 38 psu) were used. During the experiment, tunicates were fed with *Chaetoceros* sp., and then the zooids were measured in length, the number of zooids were counted, and the percent covers of colony were evaluated. After two life cycle rearing, the concentrations of ecteinascidins in the tunicates were also analyzed. The results showed that there were no significant differences in the maximum length of zooids, number of zooids, and percent covers of zooids between treatments in both light and salinity assays. However, the maximum lengths of zooids in the first and second life cycles (10.9 ± 0.8 and 11.1 ± 4.2 mm.) were found at 75% and 25% of natural light intensity respectively. The highest numbers of zooids in the first and second life cycles (122 ± 27 and 56 ± 23 zooids) were detected at 75% and 100% of natural light intensity respectively. In addition, the highest percent covers of zooids in each colony in both first and second life cycles ($19.7 \pm 6.7\%$ and $13.4 \pm 8.9\%$) were found at 25% of natural light. In the light experiment, the highest concentrations of ET 770 ($0.193 - 0.167$ g per 100 g of tunicate dry weight) were detected at 25% of natural light. For the salinity experiments, the maximum lengths of zooids in the first and second life cycles (11.6 ± 0.6 and 10.6 ± 0.9 mm.) were found at 38 and 35 psu respectively. The highest numbers of zooids in the first and second life cycles (88 ± 29 and 37 ± 19 zooids) were detected at 38 and 32 psu respectively. In addition, the highest percent covers of zooids in each colony in the first and second life cycles ($19.0 \pm 6.2\%$ and $9.7 \pm 2.8\%$) were found at 38 and 35 psu respectively. The highest concentrations of ET 770 ($0.155 - 0.135$ g per 100 g of tunicate dry weight) were detected at 26, 29, and 32 psu. Therefore, tunicates in the light intensity at 25 and 75% of natural light tended to grow better and tunicates in the light intensity at 25, 75 and 100% of natural light produced higher concentrations of ET 770 while tunicates at the salinity of 35 and 38 psu tended to grow better and tunicates at the salinities of 26, 29, and 32 tended to produce higher concentrations of ET 770.

Department Marine Science Student's signature *นิตยา อุมาวงศ์*
 Field of study Marine Science Advisor's signature *พญ. พนิช*
 Academic year 2006 Co-advisor's signature *อรุณรัตน์ วิยากarn*

กิตติกรรมประกาศ

ขอกราบขอบพระคุณ ผู้ช่วยศาสตราจารย์ ดร. สุนนา ชวนิชย์ อาจารย์ที่ปรึกษา อาจารย์ ดร. วรรณพ วิຍกาญจน์ อาจารย์ที่ปรึกษาร่วม สำหรับความช่วยเหลือและคำแนะนำต่างๆ ที่เป็นประโยชน์ต่อการศึกษาในครั้งนี้ ทำให้การทำวิทยานิพนธ์ฉบับนี้สำเร็จลุล่วงไปด้วยดี ขอขอบพระคุณผู้ช่วยศาสตราจารย์ ดร. เจริญ นิติธรรมยง ประธานกรรมการสอบวิทยานิพนธ์ ศาสตราจารย์ ดร. เปี่ยมศักดิ์ เมนะเศวต และรองศาสตราจารย์ ดร. สมเกียรติ ปิยะธีรธิติวรกุล กรรมการสอบวิทยานิพนธ์ ที่กรุณารวบแก้ข้อผิดพลาดในการทำวิทยานิพนธ์ฉบับนี้

ขอขอบพระคุณ อาจารย์ ดร. ณัติ สุวรรณบริรักษ์ ภาควิชาเภสัชเวท จุฬาลงกรณ์มหาวิทยาลัย สำหรับความช่วยเหลือและคำแนะนำต่างๆ และขอขอบคุณ คุณชูติมา เพชรประยูรและคุณสุภาร บุญศรีลักษณ์ ที่เคยแนะนำช่วยเหลือในห้องปฏิบัติการเภสัชเวท

ขอขอบคุณ อาจารย์วิชญา กันบัว ที่เคยแนะนำช่วยเหลือการใช้เครื่องมือ HPLC อาจารย์ อุดมศักดิ์ ดาวมาศ คุณสุภารวดี จันทร์จุงจิตต์ คุณศริมาศ สุขประเสริฐ คุณปวีณา ตนนียวรวงศ์ ตลอดจนพี่เพื่อน และน้องๆ ร่วมอาจารย์ที่ปรึกษา ที่ช่วยเหลือ แนะนำ และให้กำลังใจ

วิทยานิพนธ์ฉบับนี้ได้รับเงินทุนสนับสนุนจาก โครงการพัฒนาองค์ความรู้และศึกษา นโยบายการจัดการทรัพยากรชีวภาพในประเทศไทย (โครงการ BRT) ซึ่งร่วมจัดตั้งโดยสำนักงาน กองทุนสนับสนุนการวิจัยและศูนย์พันธุ์วิศวกรรมและเทคโนโลยีชีวภาพแห่งชาติ รหัสโครงการ BRT T_348008 และ ได้รับการสนับสนุนจากทุนอุดหนุนการทำวิทยานิพนธ์ บัณฑิตวิทยาลัย จุฬาลงกรณ์มหาวิทยาลัย ปีการศึกษา 2548

สุดท้ายขอกราบขอบพระคุณบิดา มารดา ขอบคุณน้องสาว สำหรับกำลังใจและกำลังทรัพย์ ที่มีให้ตลอดมา ทำให้การทำวิทยานิพนธ์ครั้งนี้สำเร็จลุล่วงไปได้ด้วยดี

สารบัญ

	หน้า
บทคัดย่อภาษาไทย	๑
บทคัดย่อภาษาอังกฤษ	๑
กิตติกรรมประกาศ	๙
สารบัญ	๙
สารบัญตาราง	๙
สารบัญรูป	๙
บทที่	
1. บทนำ	1
2. เอกสารและงานวิจัยที่เกี่ยวข้อง	
2.1 การใช้ประโยชน์จากการออกแบบห้องชีวภาพจากทะเล	4
2.2 ข้อจำกัดในการสกัดสารออกฤทธิ์ทางชีวภาพจากทะเล	6
2.3 ถินที่อยู่ และผลของปัจจัยทางกายภาพ	6
2.3.1 แสง	7
2.3.2 อุณหภูมิ และความเค็ม	8
2.4 การเพาะเลี้ยงเพรียงหัวหอมเพื่อผลผลิตสารออกฤทธิ์ทางชีวภาพ	9
3. วิธีดำเนินการวิจัย	
3.1 สัตว์ทดลอง สถานที่วิจัย และระบบการเลี้ยง	14
3.2 ขั้นตอนการวิจัย รวมรวม และวิเคราะห์ข้อมูล	15
3.2.1 ผลของแสงต่อการเติบโตของเพรียงหัวหอม <i>E. thurstoni</i>	15
3.2.2 ผลของความเค็มต่อการเติบโตของเพรียงหัวหอม <i>E. thurstoni</i>	16
3.2.3 ผลของแสงและความเค็มต่อการผลิตสาร <i>Ecteinascidins</i> ของเพรียงหัวหอม <i>E. thurstoni</i>	16
3.2.4 การวิเคราะห์ข้อมูลทางสถิติ	18
4. ผลการศึกษา	
4.1 ผลของแสงต่อการเติบโตของเพรียงหัวหอม <i>E. thurstoni</i>	19
4.1.1 ผลของแสงต่อการเติบโตของความยาวซูออยด์	19
4.1.2 ผลของแสงต่อจำนวนซูออยด์	21
4.1.3 ผลของแสงต่อพื้นที่ปักกลูมของโโคโนนี	24

หน้า

4.1.4 ผลการวิเคราะห์ความสัมพันธ์ระหว่างการวัดการเติบโตของเพรียงหัวหوم	26
4.1.5 ผลการเปรียบเทียบการเติบโตของเพรียงหัวหอมในสองช่วงชีวิต	26
4.2 ผลของความคืบต่อการเติบโตของเพรียงหัวหอม <i>E. thurstoni</i>	27
4.2.1 ผลของความคืบต่อการเติบโตของความยาวซูออยด์	27
4.2.2 ผลของความคืบต่อจำนวนซูออยด์	29
4.2.3 ผลของความคืบต่อพื้นที่ปกคลุมของโคลอนี	32
4.2.4 ผลการวิเคราะห์ความสัมพันธ์ระหว่างการวัดการเติบโตของเพรียงหัวหอม	34
4.2.5 ผลการเปรียบเทียบการเติบโตของเพรียงหัวหอมในสองช่วงชีวิต	34
4.3 ผลของแสงและความคืบต่อการผลิตสาร Ecteinascidins ของเพรียงหัวหอม <i>E. thurstoni</i>	35
4.3.1 ผลของแสงต่อการผลิตสาร ET 770	35
4.3.2 ผลของความคืบต่อการผลิตสาร ET 770	36
5. วิจารณ์ สรุปผลการศึกษา และข้อเสนอแนะ	
วิจารณ์ผลการศึกษา	37
5.1 ผลของแสงต่อการเติบโตของเพรียงหัวหอม <i>E. thurstoni</i>	37
5.2 ผลของความคืบต่อการเติบโตของเพรียงหัวหอม <i>E. thurstoni</i>	38
5.3 ผลของแสงและความคืบต่อการผลิตสาร Ecteinascidins ของเพรียงหัวหอม <i>E. thurstoni</i>	39
สรุปผลการศึกษา	43
ข้อเสนอแนะ	43
รายการอ้างอิง	45
ภาคผนวก	50
ภาคผนวก ก	51
ภาคผนวก ข	54
ภาคผนวก ค	66
ประวัติผู้เขียนวิทยานิพนธ์	68

สารบัญตาราง

๙

ตารางที่

หน้า

3-1 สภาพของเครื่อง High Performance Liquid Chromatography ที่ใช้ในการวิเคราะห์ปริมาณสาร ecteinascidins จากเพรียงหัวหอย <i>E. thurstoni</i>	18
4-1 อายุของเพรียงหัวหอย <i>E. thurstoni</i> เปรียบเทียบกับความยาวสูงสุดของชูออยด์ ต่อโคลนีในแต่ละวงศ์วิตที่เลี้ยงภายใต้ระดับแสงที่แตกต่างกัน.....	19
4.2 อายุของเพรียงหัวหอย <i>E. thurstoni</i> เปรียบเทียบกับจำนวนชูออยด์สูงสุด ต่อโคลนีในแต่ละวงศ์วิตที่เลี้ยงภายใต้ระดับแสงที่แตกต่างกัน.....	22
4.3 อายุของเพรียงหัวหอย <i>E. thurstoni</i> เปรียบเทียบกับพื้นที่ปักลุ่มโคลนีสูงสุด ในแต่ละวงศ์วิตที่เลี้ยงภายใต้ระดับแสงที่แตกต่างกัน.....	24
4.4 ผลการเปรียบเทียบการเติบโตของเพรียงหัวหอยที่เลี้ยง ในระดับแสงที่แตกต่างกันในสองรอบวงศ์วิต.....	26
4.5 อายุของเพรียงหัวหอย <i>E. thurstoni</i> เปรียบเทียบกับความยาวสูงสุดของชูออยด์ ต่อโคลนีในแต่ละวงศ์วิตที่เลี้ยงภายใต้ระดับความเค็มที่แตกต่างกัน.....	27
4.6 อายุของเพรียงหัวหอย <i>E. thurstoni</i> เปรียบเทียบกับจำนวนชูออยด์สูงสุด ต่อโคลนีในแต่ละวงศ์วิตที่เลี้ยงภายใต้ระดับความเค็มที่แตกต่างกัน.....	30
4.7 อายุของเพรียงหัวหอย <i>E. thurstoni</i> เปรียบเทียบกับพื้นที่ปักลุ่มโคลนีสูงสุด ในแต่ละวงศ์วิตที่เลี้ยงภายใต้ระดับความเค็มที่แตกต่างกัน.....	32
4.8 ผลการเปรียบเทียบการเติบโตของเพรียงหัวหอยที่เลี้ยง ในระดับความเค็มที่แตกต่างกันในสองรอบวงศ์วิต.....	34

สารบัญรูป

๘

รูปที่		หน้า
2-1	ลักษณะโครงสร้างของเพรียงหัวหอม	3
2-2	กระบวนการ metamorphosis ของเพรียงหัวหอม	4
2-3	โครงสร้างทางเคมีของสารในกลุ่ม Ecteinascidins	5
2-4	ระบบเลี้ยงพ่อแม่พันธุ์และถังรวมรวมตัวอ่อนเพรียงหัวหอม <i>E. turbinata</i> บนบก	11
2-5	ระบบเลี้ยงเพรียงหัวหอม <i>E. turbinata</i> ในทะเล	11
2-6	แบบจำลองในการเลี้ยงเพรียงหัวหอม <i>E. turbinata</i> บนตารางในล่อง	12
3-1	เพรียงหัวหอม <i>Ecteinascidia thurstoni</i> Herdman, 1891	14
3-2	โรงเพาะเลี้ยง สถานีวิจัยสัตว์ทะเล อ่างศิลา จังหวัดชลบุรี	14
3-3	ลักษณะการเลี้ยงเพรียงหัวหอม <i>E. thurstoni</i> ในถังเลี้ยง	15
3-4	การสักดิ้นแยกสาร Ecteinascidins จากเพรียงหัวหอม <i>E. thurstoni</i>	17
4-1	ความยาวสูงสุดของซูอยค์ต่อโคลอนีเพรียงหัวหอม <i>E. thurstoni</i> ในแต่ละวงชีวิตที่เลี้ยงภายใต้ระดับแสงที่แตกต่างกัน	20
4-2	การเติบโตต่อวันของซูอยค์ของเพรียงหัวหอม <i>E. thurstoni</i> ในแต่ละวงชีวิตที่เลี้ยงภายใต้ระดับแสงที่แตกต่างกัน	20
4-3	อัตราการเปลี่ยนแปลงความยาวสูงสุดของซูอยค์ต่อโคลอนีเพรียงหัวหอม <i>E. thurstoni</i> ระหว่างสองวงชีวิตที่เลี้ยงภายใต้ระดับแสงที่แตกต่างกัน	21
4-4	จำนวนซูอยค์สูงสุดต่อโคลอนีเพรียงหัวหอม <i>E. thurstoni</i> ในแต่ละวงชีวิตที่เลี้ยงภายใต้ระดับแสงที่แตกต่างกัน	22
4-5	การเพิ่มขึ้นต่อวันของจำนวนซูอยค์สูงสุดต่อโคลอนีเพรียงหัวหอม <i>E. thurstoni</i> ในแต่ละวงชีวิตที่เลี้ยงภายใต้ระดับแสงที่แตกต่างกัน	23
4-6	อัตราการเปลี่ยนแปลงจำนวนซูอยค์สูงสุดต่อโคลอนีเพรียงหัวหอม <i>E. thurstoni</i> ระหว่างสองวงชีวิตที่เลี้ยงภายใต้ระดับแสงที่แตกต่างกัน	23
4-7	พื้นที่ปักกลุ่มสูงสุดต่อโคลอนีของเพรียงหัวหอม <i>E. thurstoni</i> ในแต่ละวงชีวิตที่เลี้ยงภายใต้ระดับแสงที่แตกต่างกัน	25
4-8	การเพิ่มขึ้นต่อวันของพื้นที่ปักกลุ่มโคลอนีสูงสุดของเพรียงหัวหอม <i>E. thurstoni</i> ในแต่ละวงชีวิตที่เลี้ยงภายใต้ระดับแสงที่แตกต่างกัน	25
4-9	อัตราการเปลี่ยนแปลงพื้นที่ปักกลุ่มสูงสุดต่อโคลอนีของเพรียงหัวหอม <i>E. thurstoni</i> ระหว่างสองวงชีวิตที่เลี้ยงภายใต้ระดับแสงที่แตกต่างกัน	26

สารบัญรูป

ณ

รูปที่

หน้า

4-10 ความขาวสูงสุดของชูออยด์ต่อโคลโนนิเพรียงหัวหอม <i>E. thurstoni</i> ในแต่ละวงชีวิตที่เลี้ยงภายใต้ระดับความเค็มที่แตกต่างกัน	28
4-11 การเติบโตต่อวันของชูออยด์ของเพรียงหัวหอม <i>E. thurstoni</i> ในแต่ละวงชีวิตที่เลี้ยงภายใต้ระดับความเค็มที่แตกต่างกัน	28
4-12 อัตราการเปลี่ยนแปลงความขาวสูงสุดของชูออยด์ต่อโคลโนนิเพรียงหัวหอม <i>E. thurstoni</i> ระหว่างสองวงชีวิตที่เลี้ยงภายใต้ระดับความเค็มที่แตกต่างกัน	29
4-13 จำนวนชูออยด์สูงสุดต่อโคลโนนิเพรียงหัวหอม <i>E. thurstoni</i> ในแต่ละวงชีวิตที่เลี้ยงภายใต้ระดับความเค็มที่แตกต่างกัน	30
4-14 การเพิ่มขึ้นต่อวันของจำนวนชูออยด์สูงสุดต่อโคลโนนิเพรียงหัวหอม <i>E. thurstoni</i> ในแต่ละวงชีวิตที่เลี้ยงภายใต้ระดับความเค็มที่แตกต่างกัน	31
4-15 อัตราการเปลี่ยนแปลงจำนวนชูออยด์สูงสุดต่อโคลโนนิเพรียงหัวหอม <i>E. thurstoni</i> ระหว่างสองวงชีวิตที่เลี้ยงภายใต้ระดับความเค็มที่แตกต่างกัน	31
4-16 พื้นที่ปักกลุ่มสูงสุดต่อโคลโนนิของเพรียงหัวหอม <i>E. thurstoni</i> ในแต่ละวงชีวิตที่เลี้ยงภายใต้ระดับความเค็มที่แตกต่างกัน	33
4-17 การเพิ่มขึ้นต่อวันของพื้นที่ปักกลุ่มโคลโนนิสูงสุดของเพรียงหัวหอม <i>E. thurstoni</i> ในแต่ละวงชีวิตที่เลี้ยงภายใต้ระดับความเค็มที่แตกต่างกัน	33
4-18 อัตราการเปลี่ยนแปลงพื้นที่ปักกลุ่มสูงสุดต่อโคลโนนิของเพรียงหัวหอม <i>E. thurstoni</i> ระหว่างสองวงชีวิตที่เลี้ยงภายใต้ระดับความเค็มที่แตกต่างกัน	34
4-19 ปริมาณสาร ET 770 ที่สกัดได้จากเพรียงหัวหอม <i>E. thurstoni</i> ในธรรมชาติ และการเลี้ยงภายใต้ระดับแสงที่แตกต่างกันในสองรอบวงชีวิต	35
4-20 ปริมาณสาร ET 770 ที่สกัดได้จากเพรียงหัวหอม <i>E. thurstoni</i> ในธรรมชาติ และการเลี้ยงภายใต้ระดับความเค็มที่แตกต่างกันในสองรอบวงชีวิต	36
5-1 เพรียงหัวหอมตัวเดี่ยวบนพื้นผิวดีயวกับ <i>E. thurstoni</i>	41
5-2 เชลล์สีบพันธุ์ของเพรียงหัวหอมที่สร้างขึ้นในระหว่างการทดลองเลี้ยง	42
ก-1 ค่ามาตรฐานสาร ET 770	52
ก-2 ค่าการดูดกลืนแสงของสารมาตรฐาน ET 770	52
ก-3 โครมาโทแกรมของสาร ET 770 มีค่า retention time เท่ากับ 7.6 นาที	53

สารบัญรูป

๙

รูปที่	หน้า
ข-1 ความยาวเฉลี่ยของชูออยด์เพรียงหัวหอน <i>E. thurstoni</i> ในแต่ละวัยชีวิตที่เลี้ยงภายใต้ระดับแสงที่แตกต่างกัน	54
ข-2 ความยาวชูออยด์ของโคลโนนีเพรียงหัวหอน <i>E. thurstoni</i> ในแต่ละวัยชีวิตที่เลี้ยงภายใต้ระดับแสงที่แตกต่างกัน	55
ข-3 ความยาวเฉลี่ยของชูออยด์เพรียงหัวหอน <i>E. thurstoni</i> ในแต่ละวัยชีวิตที่เลี้ยงภายใต้ระดับความเค็มที่แตกต่างกัน	56
ข-4 ความยาวชูออยด์ของโคลโนนีเพรียงหัวหอน <i>E. thurstoni</i> ในแต่ละวัยชีวิตที่เลี้ยงภายใต้ระดับความเค็มที่แตกต่างกัน	57
ข-5 จำนวนชูออยด์เฉลี่ยของโคลโนนีเพรียงหัวหอน <i>E. thurstoni</i> ในแต่ละวัยชีวิตที่เลี้ยงภายใต้ระดับแสงที่แตกต่างกัน	58
ข-6 จำนวนชูออยด์ต่อโคลโนนีของเพรียงหัวหอน <i>E. thurstoni</i> ในแต่ละวัยชีวิตที่เลี้ยงภายใต้ระดับแสงที่แตกต่างกัน	59
ข-7 จำนวนชูออยด์เฉลี่ยของโคลโนนีเพรียงหัวหอน <i>E. thurstoni</i> ในแต่ละวัยชีวิตที่เลี้ยงภายใต้ระดับความเค็มที่แตกต่างกัน	60
ข-8 จำนวนชูออยด์ต่อโคลโนนีของเพรียงหัวหอน <i>E. thurstoni</i> ในแต่ละวัยชีวิตที่เลี้ยงภายใต้ระดับความเค็มที่แตกต่างกัน	61
ข-9 พื้นที่ปักคุณโคลโนนีเฉลี่ยของเพรียงหัวหอน <i>E. thurstoni</i> ในแต่ละวัยชีวิตที่เลี้ยงภายใต้ระดับแสงที่แตกต่างกัน	62
ข-10 พื้นที่ปักคุณโคลโนนีของเพรียงหัวหอน <i>E. thurstoni</i> ในแต่ละวัยชีวิตที่เลี้ยงภายใต้ระดับแสงที่แตกต่างกัน	63
ข-11 พื้นที่ปักคุณโคลโนนีเฉลี่ยของเพรียงหัวหอน <i>E. thurstoni</i> ในแต่ละวัยชีวิตที่เลี้ยงภายใต้ระดับความเค็มที่แตกต่างกัน	64
ข-12 พื้นที่ปักคุณโคลโนนีของเพรียงหัวหอน <i>E. thurstoni</i> ในแต่ละวัยชีวิตที่เลี้ยงภายใต้ระดับความเค็มที่แตกต่างกัน	65

สารนัญรูป

๑

รูปที่	หน้า
ค-1 ผลผลิตรวมของเพรียงหัวหอม <i>E. thurstoni</i> ที่เลี้ยงภายใต้ระดับแสงที่แตกต่างกัน.....	66
ค-2 ผลผลิตรวมของสาร ET 770 จากเพรียงหัวหอม <i>E. thurstoni</i> ที่เลี้ยงภายใต้ระดับแสงที่แตกต่างกัน.....	66
ค-3 ผลผลิตรวมของเพรียงหัวหอม <i>E. thurstoni</i> ที่เลี้ยงภายใต้ ระดับความเค็มที่แตกต่างกัน.....	67
ค-4 ผลผลิตรวมของสาร ET 770 จากเพรียงหัวหอม <i>E. thurstoni</i> ที่เลี้ยงภายใต้ระดับความเค็มที่แตกต่างกัน.....	67

บทที่ 1

บทนำ

ความเป็นมาและความสำคัญของปัจจุบัน

ระบบนิเวศทางทะเลเป็นระบบนิเวศที่มีความหลากหลายทางชีวภาพสูง มีความซับซ้อนมาก และเป็นแหล่งทรัพยากรธรรมชาติที่สำคัญของมนุษย์ ปัจจุบันนักวิจัยให้ความสนใจกับสิ่งมีชีวิตหลายชนิดที่มีถิ่นอาศัยอยู่ในระบบนิเวศทางทะเล โดยเฉพาะกลุ่มสัตว์ทะเลที่ไม่มีกระดูกสันหลัง เช่น เพรียงหัวหอม (tunicates) พองน้ำ (sponges) ไบรอโซอาน (bryozoans) หรือมอลลัสค์ (molluscs) เนื่องจากสัตว์เหล่านี้มีการผลิตสารเคมีเพื่อความอยู่รอดของตน โดยเป็นสารป้องกันตัวจากการถูกกัด ซึ่งสารดังกล่าวจัดเป็นสารออกฤทธิ์ทางชีวภาพ (Bioactive metabolites) ที่มีสรรพคุณทางเภสัช

การสกัดสารออกฤทธิ์ทางชีวภาพในเพรียงหัวหอมทะเลของประเทศไทย เริ่มขึ้นเมื่อ Suwanborirux *et al.* (2002) ทำการสกัดแยกสารกลุ่ม Ecteinascidins (ET) ได้แก่ ET 770 และ ET 786 ที่แสดงความเป็นพิษต่อเซลล์มะเร็งหลายชนิด เช่น มะเร็งเต้านม มะเร็งปอด มะเร็งผนังลำไส้ มะเร็งบุรีเวน โพรงจมูกและคอหอย เป็นต้น โดยสกัดจากเพรียงหัวหอม *Ecteinascidia thurstoni* Herdman, 1891 ที่พบในประเทศไทย สารสกัด ET 770 และ ET 786 มีคุณสมบัติคล้ายกับสาร ET 743 ที่สกัดได้จากเพรียงหัวหอม *Ecteinascidia turbinata* (Wright *et al.*, 1990; Sakai *et al.*, 1996; Hendricks *et al.*, 1999) ซึ่งสาร ET 743 ในขณะนี้อยู่ระหว่างการทดลองทางคลินิก เพื่อใช้เป็นยาต้านมะเร็งให้กับผู้ป่วย จึงมีความเป็นไปได้ในการพัฒนาสาร ET 770 และ ET 786 ให้เป็นยาต้านมะเร็งเช่นกัน อย่างไรก็ตาม ถึงแม้ว่าสามารถสังเคราะห์สาร ET ได้ด้วยวิธีการทางเคมี แต่เนื่องจากความซับซ้อนของโครงสร้างโมเลกุลจึงทำให้สารที่สังเคราะห์ได้นีปริมาณน้อย และมีต้นทุนการผลิตสูง ทำให้ความต้องการสาร ET ในปริมาณที่เพียงพอต่อความต้องการยังคงอาศัยสิ่งมีชีวิตจากธรรมชาติในปริมาณสูงเช่นกันในอนาคต เนื่องจากปริมาณที่สามารถสกัดได้มีน้อยเมื่อเปรียบเทียบกับวัตถุคุณที่ต้องนำมาใช้ การผลิตสารในเชิงอุตสาหกรรมให้ได้ปริมาณที่เพียงพอจึงจำเป็นต้องมีการศึกษาวิจัย โดยเฉพาะในด้านการเพาะเลี้ยงเชิงพาณิชย์ เพื่อเป็นอีกทางเลือกหนึ่ง ที่จะลดแรงกดดันที่มีต่อปริมาณเพรียงหัวหอมและระบบบันिवศในธรรมชาติ เมื่อมีการนำประชาราตรเพรียงหัวหอมมาใช้ประโยชน์มากเกินกำลังผลิตของธรรมชาติ และเป็นการรองรับความต้องการเพรียงหัวหอมที่มีแนวโน้มสูงนำไปใช้ประโยชน์มากยิ่งขึ้น ให้เพียงพอต่อไปในอนาคต

การเพาะเลี้ยงเพรียงหัวหอมเพื่อใช้เป็นวัตถุคุณที่ต้องการผลิตสาร ET นั้น จำเป็นต้องศึกษาชีววิทยา นิเวศวิทยา วงศ์วิชิต อาหาร สภาวะแวดล้อมที่เหมาะสม รวมทั้งปัจจัยทางกายภาพ เช่น ปริมาณแสง ความเค็ม และอื่นๆ ที่ส่งผลต่อการเติบโตและปริมาณสาร ET ที่ผลิตได้ การศึกษาครั้ง

นี้ จึงเน้นในส่วนของปัจจัยพากเพียรที่ส่งผลต่อการเติบโตและการผลิตสาร ET ของเพรียงหัวหอน *Ecteinascidia thurstoni* เพื่อนำมาเป็นข้อมูลพื้นฐานในการเพาะเลี้ยงเพรียงหัวหอน เชิงพาณิชย์เพื่อการผลิตสาร ET ให้เพียงพอ กับความต้องการในอนาคต โดยไม่ส่งผลกระทบต่อระบบนิเวศธรรมชาติ

วัตถุประสงค์ของการวิจัย

เพื่อศึกษาผลของแสงและความเค็มที่มีต่อการเจริญเติบโตและการผลิตสาร Ecteinascidins ของเพรียงหัวหอน *Ecteinascidia thurstoni* Herdman, 1891

ขอบเขตของการวิจัย

ทำการเลี้ยงเพรียงหัวหอน *Ecteinascidia thurstoni* Herdman, 1891 ที่ได้จากธรรมชาติ ในระบบเลี้ยงที่ควบคุมปริมาณความเข้มของแสงและระดับความเค็มที่แตกต่างกัน ติดตามการเติบโตโดยทำการบันทึกขนาด นับจำนวนตัว (zooid) และพื้นที่ปักคลุมพื้นผิวเพรียงหัวหอน รวมถึงปริมาณของสาร Ecteinascidins ที่ผลิต ได้ระหว่างชุดทดลองเมื่อสิ้นสุดการทดลอง

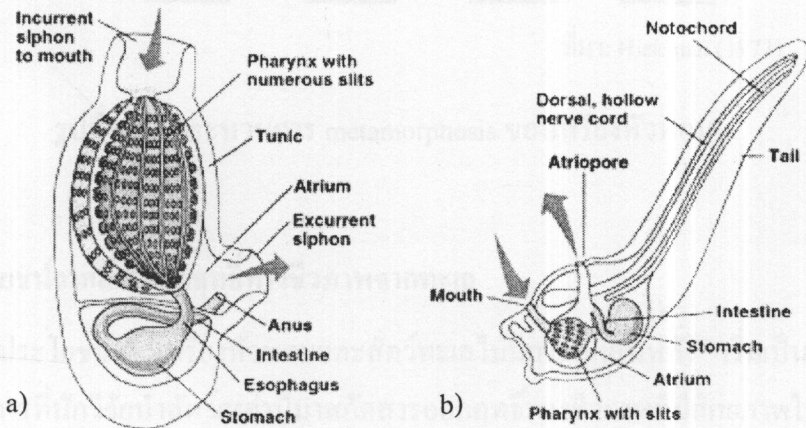
ประโยชน์ที่คาดว่าจะได้รับ

นำข้อมูลมาประยุกต์เพื่อการเพาะเลี้ยงเพรียงหัวหอน *Ecteinascidia thurstoni* Herdman, 1891 เชิงพาณิชย์เพื่อการผลิตสาร Ecteinascidins

บทที่ 2

เอกสารและงานวิจัยที่เกี่ยวข้อง

เพรียงหัวหอม (tunicate) เป็นสัตว์ทะเลใน Phylum Chordata Subphylum Urochordata ประกอบด้วย 3 Class ได้แก่ Ascidiacea, Thaliacea และ Larvacea ทั้งนี้ เพรียงหัวหอมใน Class Thaliacea และ Larvacea มีการดำรงชีวิตเป็นแพลงก์ตอนตลอดชีวิต ในขณะที่ Class Ascidiacea หรือ ascidians ที่มีชื่อเรียกอีกอย่างว่า sea squirt และมีจำนวนของชนิดของเพรียงหัวหอมมากที่สุด เป็นสัตว์ที่มีการดำรงชีวิตโดยยึดเกาะกับสิ่งอื่น (สัตว์เกาะติด) ซึ่งอาจดำรงชีวิตเป็นตัวเดียว (solitary tunicates) และมีขนาดใหญ่ หรืออาศัยอยู่ร่วมกันเป็นโคลoni (colonial tunicates) ซึ่งมีจำนวนตัว (ชูอยค์) ตั้งแต่สองสามชูอยค์จนถึงร้อยชูอยค์ในโคลoniเดียวกัน ชูอยค์ทั้งหมดมีการเชื่อมต่อ กันด้วย stolon โดยทั่วไปแล้วสามารถพบเพรียงหัวหอมได้ทั่วไปในบริเวณน้ำตื้น อาจยึดเกาะอยู่ กับหิน เปลือกหอย เสา หรือใต้ห้องเรือ บางชนิดที่เป็นตัวเดียวสามารถพบได้ในบริเวณพื้นโคลน และทรายซึ่งใช้เส้นใยหรือก้าน (stalk) ยึดติดกับพื้นผิวน้ำ เพรียงหัวหอมโดยทั่วไปพบทั้ง ลักษณะที่เป็นทรงกลมหรือทรงกระบอก ปลายด้านหนึ่งของตัวยึดติดอยู่กับพื้น ในขณะที่ปลายอีก ด้านหนึ่งเป็นท่อเปิด ซึ่งมี 2 ทาง ได้แก่ incurrent siphon และ excurrent siphon ซึ่งใช้ในการนำ อาหารเข้าและขับถ่ายของเสียออก (Ruppert and Barnes, 1991) เพรียงหัวหอมเป็นสัตว์ที่กรองกิน (filter feeder) อาหารและน้ำสูกนำผ่านเข้ามาทาง incurrent siphon ซึ่งทุกอนุภาคที่ผ่านเข้ามาถูก กรองด้วย branchial basket หลังจากนั้น ส่วนที่ไม่มีการใช้ประโยชน์รวมทั้งของเสียจะถูกนำออก ทาง atrial siphon ต่อไป (Duckworth *et al.*, 2004) ทั้งนี้ เพรียงหัวหอมมีสีสันและขนาดที่ หลากหลาย ส่วนของลำตัวสูกปอกคลุมด้วย tunic ซึ่งเป็นโครงสร้างภายนอก (รูปที่ 2-1a) และเป็น ที่มาของชื่อ tunicate (Ruppert and Barnes, 1991)

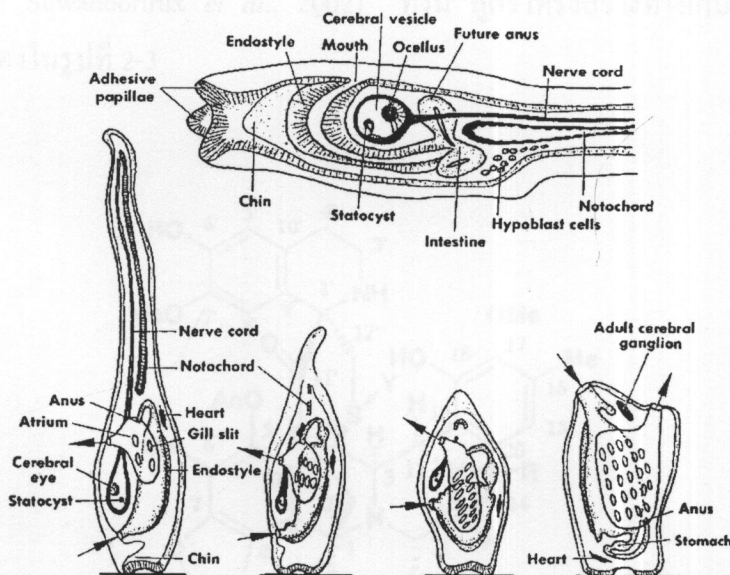


ที่มา: Campbell *et al.* (1999)

รูปที่ 2-1. ลักษณะโครงสร้างของเพรียงหัวหอม a) โครงสร้างตัวเดียว และ b) โครงสร้างตัวอ่อน

เพรียงหัวหومเป็นกระเทย และมีการสืบพันธุ์ทั้งแบบอาศัยและไม่อาศัยเพศ (Cloney, 1990) การสืบพันธุ์แบบไม่อาศัยเพศเป็นการแตกหน่อ (budding) พับเฉพาะเพรียงหัวหอมที่อาศัยร่วมกันเป็นโคลอนี โดยแต่ละหน่อในโคลอนีเรียกว่า blastozoid ซึ่งเกิดจาก oozoid หรือ zooid ที่พัฒนาจากไข่ที่ได้รับการปฏิสนธิ สำหรับการสืบพันธุ์แบบอาศัยเพศมีทั้งการปฏิสนธิกายในตัวเอง (self fertilization) และปฏิสนธิแบบข้ามตัว (cross fertilization) ทั้งนี้ เพรียงหัวหอมส่วนใหญ่มีการปฏิสนธิแบบข้ามตัว

ตัวอ่อนของเพรียงหัวหอม เรียกว่า tadpole larva สามารถว่ายน้ำเป็นอิสระ (รูปที่ 2-1b) เมื่อถึงระยะเวลาลงเกาะ ตัวอ่อนจะลงเกาะบนพื้นผิวน้ำโดยใช้ส่วนหัว แล้วจึงเข้าสู่กระบวนการเปลี่ยนแปลงรูปร่าง (metamorphosis) ดังแสดงในรูปที่ 2-2 เข้าสู่การเป็นเพรียงหัวหอมระยะวัยรุ่น ซึ่งส่วนที่เป็นหางจะหดเข้าสู่ลำตัว ส่วนปากหรือ buccal siphon กลับขึ้นมาเป็นด้านบน และเริ่มกรองกินอาหาร และทำการพัฒนาเซลล์สืบพันธุ์ต่อไปเมื่อถึงระยะโตเต็มวัย (Ruppert and Barnes, 1991)



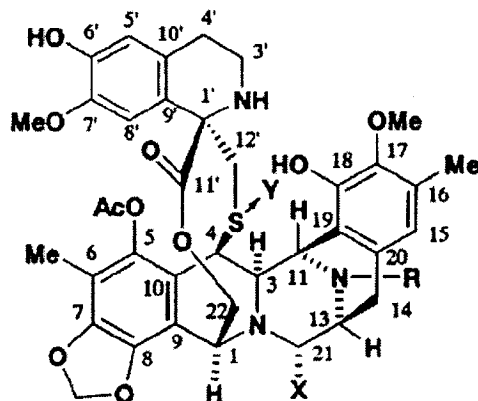
ที่มา: Hickman (1973)

รูปที่ 2-2. กระบวนการ metamorphosis ของเพรียงหัวหอม

2.1 การใช้ประโยชน์จากสารออกฤทธิ์ทางชีวภาพจากทะเล

การใช้ประโยชน์จากเพรียงหัวหอมและสัตว์ทะเล ไม่นิ่งกระดูกสันหลัง เริ่มเป็นที่สนใจทางการศึกษา จากการที่นักวิจัยนำสัตว์เหล่านี้มาสกัดสารออกฤทธิ์ทางชีวภาพที่มีศักยภาพในการพัฒนาทางเภสัชกรรมได้ มีการค้นพบสารออกฤทธิ์ทางชีวภาพจากสิ่งมีชีวิตบนบกมาเป็นเวลานาน และพับสารออกฤทธิ์ทางชีวภาพจากสิ่งมีชีวิตในทะเล (Rinehart *et al.*, 1990) ซึ่งรวมถึงผลิตภัณฑ์จาก

พืช สัตว์ และจุลชีพ มากกว่า 14,000 ชนิด จนถึงปัจจุบัน (Proksch *et al.*, 2003) โดยที่พบสารเหล่านี้นับร้อยชนิดต่อปี (Donia and Hamann, 2003) รวมถึงมีการจดสิทธิบัตรสารออกฤทธิ์ทางชีวภาพจากทะเลเป็นจำนวนมาก (Kerr and Kerr, 1999) และประมาณ 10–15 ประเกตอูร์ระหว่างการทดสอบทางคลินิกในการบำบัดมะเร็งและอื่นๆ (Proksch *et al.*, 2002) ถึงมีชีวิตในทะเลที่ได้รับความสนใจอย่างมาก ได้แก่ ฟองน้ำ (sponges) เพรียงหัวหوم (tunicates) ไบรโอลซัว (bryozoans) และมอลลัสก์ (mollusks) รวมถึง แบคทีเรีย (bacteria) และไซยาโนแบคทีเรีย (cyanobacteria) จากทะเล (Donia and Hamann, 2003; Proksch *et al.*, 2003) เช่น การสกัดสาร Halichondrins จากฟองน้ำ *Lissodendoryx* sp. สาร Bryostatins จากไบรโอลซัว *Bugula neritina* เป็นต้น (Proksch *et al.*, 2003) สำหรับสารออกฤทธิ์ทางชีวภาพที่สามารถสกัดได้จากเพรียงหัวหوم ได้แก่ สาร Didemnin B จาก เพรียงหัวหوم *Trididemnum* sp. (Rinehart *et al.*, 1981; Canonico *et al.*, 1982) สาร Ecteinascidin (ET) 743 จาก เพรียงหัวหอม *Ecteinascidia turbinata* (Wright *et al.*, 1990; Sakai *et al.*, 1996; Hendriks *et al.*, 1999; Scotto, 2002) และสาร ET 770 และ ET 786 จาก *E. thurstoni* (Charupant, 2000; Suwanborirux *et al.*, 2002) ทั้งนี้ สูตรโครงสร้างทางเคมีของสารในกลุ่ม Ecteinascidins แสดงในรูปที่ 2-3



ecteinascidins

743 (1a): R = Me, X = OH, Y = none

729 (2): R = H, X = OH, Y = none

759B (3a): R = Me, X = OH, Y = O

770 (1b): R = Me, X = CN, Y = none

ที่มา: Suwanborirux *et al.* (2002)

รูปที่ 2-3. โครงสร้างทางเคมีของสารในกลุ่ม Ecteinascidins

2.2 ข้อจำกัดในการสกัดสารออกฤทธิ์ทางชีวภาพจากทะเล

การนำสิ่งมีชีวิตจากทะเลมาสักด้าสารออกฤทธิ์ทางชีวภาพ มีข้อจำกัดเนื่องจากปริมาณสารที่สกัดได้เพื่อนำไปใช้มีน้อย จึงจำเป็นต้องใช้มวลชีวภาพของทรัพยากรธรรมชาติเป็นจำนวนมาก ซึ่งสามารถส่งผลต่อการเปลี่ยนแปลงของทรัพยากร รวมถึง ถินอาศัยและระบบนิเวศน์ฯ ได้

เช่น การสกัดสาร Halichondrin B ปริมาณ 300 มิลลิกรัม ต้องใช้ฟองน้ำ *Lissodendoryx* sp. 1 ตัน (น้ำหนักเปียก) (Hart *et al.*, 2000) หากประเมินสารสกัดจากฟองน้ำที่นำไปใช้เป็นยาบำบัดโรคมะเร็ง ซึ่งมีความต้องการที่ระดับ 1–5 กิโลกรัม/ปี จำเป็นต้องใช้ฟองน้ำจากธรรมชาติมากถึง 3,000–16,000 เมตริกตัน/ปี ซึ่งหมายถึงเป็นความต้องการในปริมาณที่มากเพียงพอที่สามารถส่งผลต่อสิ่งแวดล้อมและการสูญพันธุ์ของทรัพยากร ได้เช่นกัน (Proksch *et al.*, 2003) หรือในการนี้ของการนำเพรียงหัวหอม *Ecteinascidia turbinata* 1 ตัน (น้ำหนักเปียก) จะสามารถสกัดและแยกสาร ET 743 ได้เพียง 1 กรัม เพื่อนำไปใช้บำบัดโรคมะเร็งเท่านั้น (Mendola, 2000) ในขณะที่เพรียงหัวหอม *E. thurstoni* ที่พบในจังหวัดภูเก็ต 38 กิโลกรัม (น้ำหนักเปียก) สามารถนำมาสกัดได้สาร ET 770 และ ET 786 เท่ากับ 225 กรัม และ 60 กรัม ตามลำดับ (Suwanborirux *et al.*, 2002) ซึ่งสาร ET 770 และ ET 786 เป็นสารกลุ่มเดียวกับ ET 743 ที่แสดงความเป็นพิษต่อเซลล์มะเร็ง เช่น มะเร็งเต้านม มะเร็งโพรงนูก เป็นต้น นอกจากนั้น สาร ET 770 ยังสามารถนำไปใช้เป็นสารตั้งต้นที่สามารถเปลี่ยนเป็นสาร ET 743 ได้ในปริมาณสูงถึง 96% (Suwanborirux *et al.* 2002)

ถึงแม้ว่าในปัจจุบัน นักวิจัยสามารถทำการสังเคราะห์สาร ET 743 สาร Halichondrin B สาร Bryostatins หรือสารอื่นๆ ด้วยวิธีการทางเคมีแทนการสกัดจากสิ่งมีชีวิตได้ แต่ยังมีสารออกฤทธิ์ทางชีวภาพอีกเป็นจำนวนมากที่ยังไม่สามารถดำเนินการด้วยวิธีดังกล่าว เนื่องจากความซับซ้อนของโครงสร้างโมเลกุล ปริมาณสารที่สังเคราะห์ได้มีน้อย ส่งผลให้ความคุ้มค่าทางเศรษฐกิจต่ำ (Proksch *et al.*, 2003)

จากเหตุผลดังที่กล่าวมาข้างต้น การเพาะเลี้ยงเชิงอุตสาหกรรมจึงเป็นทางเลือกหนึ่งในการผลิตสัตว์ทะเลที่จะนำไปใช้ในการผลิตสารออกฤทธิ์ทางชีวภาพต่อไป (Donia and Hamann, 2003; Proksch *et al.*, 2003) ซึ่งจำเป็นต้องมีการศึกษาเกี่ยวกับความรู้พื้นฐานทางด้านเชื้อรา นิเวศวิทยา สภาพแวดล้อม รวมถึง ปัจจัยทางกายภาพที่เหมาะสมต่อการเพาะเลี้ยงด้วย

2.3 ถินที่อยู่ และผลของปัจจัยทางกายภาพ

เพรียงหัวหอม *E. turbinata* พุ่มได้ทั่วไปบริเวณทะเลเคริบเบียนและอ่าวเม็กซิโก ซึ่งอยู่ มีความยาวประมาณ 12–18 มิลลิเมตร และมีสีส้มซึ่งเป็นลักษณะเด่น ซึ่งอยู่แหล่งน้ำจืดจำนวนมากนับร้อยตัวต่อโคลอนีและเชื่อมต่อกันด้วย stolon ที่เปรียบเสมือนรากยืดโคลอนีให้ติดกับพื้นผิว

โคลoniของเพรียงหัวหอม *E. turbinata* บีดติดกับพื้นผิวได้หลายแบบตามลักษณะของพื้นที่ เช่น ส่วนมากของต้นโกรก้าง กัลปังหา ใบหญ้าทะเล พองน้ำ พื้นผิวของหินปูนในแนวประการัง เป็นต้น รวมถึง วัสดุต่างๆ ที่มนุษย์สร้างขึ้น เช่น เสา ท่าเรือ เชือก เป็นต้น โดยพบที่ระดับความลึกตั้งแต่ 0.3–12 เมตร โดยเฉพาะในช่วง 1–3 เมตร (Mendola, 2000; Duckworth *et al.*, 2004) สำหรับเพรียงหัวหอม *E. thurstoni* ในประเทศไทย มีรายงานการพบที่จังหวัดภูเก็ตเท่านั้น (Suwanborirux *et al.*, 2002; Chavanich *et al.*, 2005) โดยพบที่สะพานที่ขึ้นเรือ สถาบันวิจัยและพัฒนาทรัพยากรทางทะเล ชายฝั่งทะเล และป่าชายเลน กรมทรัพยากรทางทะเลและชายฝั่ง จังหวัดภูเก็ต ที่ระดับความลึกประมาณ 1–5 เมตร ซึ่งอยู่มีความยาวประมาณ 8–12 มิลลิเมตร พบราก่อนหน้านี้และความชุกชุมมากที่สุดในเดือนมีนาคม กรกฎาคม และ พฤศจิกายนของทุกปี (ปีะ โภยสิน, 2548; Chavanich *et al.*, 2005)

2.3.1 แสง

โดยปกติ บริเวณที่อยู่ภายใต้ร่มเงาหรือได้รับแสงแเดคน้อย จะมีโอกาสพบสิ่งมีชีวิตประเภทเกษตรติดอาศัยอยู่เป็นจำนวนมาก (Kennelly, 1989; Duggins *et al.*, 1990) พื้นที่ร่มเงาไม่ได้จำกัดเฉพาะพื้นที่ธรรมชาติเท่านั้น แต่รวมถึงสิ่งก่อสร้างที่มนุษย์สร้างขึ้นที่ไปบดบังพื้นที่รับแสงในทะเล ด้วย สิ่งมีชีวิตกลุ่มเด่นที่พบบริเวณที่มีร่มเงาตลอดเวลาในทะเล ได้แก่ โพลีคิต พองน้ำ เพรียงหัวหอม ไบรโอซัว เป็นต้น ขณะที่ บริเวณที่ไม่มีร่มเงาตลอดเวลา เช่น เสาสะพาน หิน พบราก่อนหน้านี้ จะเกิดการเปลี่ยนแปลงของสิ่งมีชีวิตกลุ่มเด่นในบริเวณนั้นที่เข้ามาแทนที่ ซึ่งเป็นกลุ่มเดียวกับบริเวณที่มีร่มเงาตลอดเวลา เมื่อระยะเวลาผ่านไปได้ 9 เดือน (Glasby, 1999)

ทำงานองค์ประกอบ แสง ความเค็ม อุณหภูมิ และปัจจัยทางกายภาพอื่น มีอิทธิพลต่อการดำรงชีวิตของเพรียงหัวหอมด้วยกัน โดยพบว่า แสงมีผลต่อการสร้างเซลล์สีบันธุ์ การปล่อยตัวอ่อน หรือกระบวนการลงเกาะบนพื้นผิวของเพรียงหัวหอม แสงและความเค็มมีผลต่อการกระจายของเพรียงหัวหอม แสงและแรงโน้มถ่วงมีอิทธิพลต่อการว่าบน้ำของตัวอ่อน หรือ อุณหภูมิ และความเค็มมีผลต่อพัฒนาการของเพรียงหัวหอม เป็นต้น (ปีะ โภยสิน, 2548; Anderson *et al.*, 1975; Svane and Dolmer, 1995; Young and Vazquez, 1995; Degnan *et al.*, 1996; Thiagarajan and Qian, 2003; Bates, 2005; Chavanich *et al.*, 2005; Forward *et al.*, 2000; Lambert, 2005)

เพรียงหัวหอม *Polyandrocarpa zorritensis* ซึ่งอาศัยร่วมกันเป็นโคลoni มีพฤติกรรมการปล่อยตัวอ่อนเมื่อถูกกระตุ้นด้วยแสงที่มีความเข้มแสงมากขึ้น หลังจากดำรงชีวิตในที่นี่ระยะเวลาหนึ่ง โดยเพรียงหัวหอมดังกล่าวใช้เวลาในการปล่อยตัวอ่อนตัวแรกนานขึ้น ระยะเวลาโดยเฉลี่ยในการปล่อยตัวอ่อนสูงขึ้น และระยะเวลาการปล่อยตัวอ่อนทั้งหมดเพิ่มขึ้นเช่นกัน เมื่อความเข้มแสงลดลง ทั้งนี้ ตัวอ่อนมีพฤติกรรมถูกดึงดูดโดยแสง (phototaxis) โดยมีอวบะรับสัมผัสที่ส่วนหัว

ได้แก่ ocellus และ statocyst ซึ่งโดยทั่วไปการถูกดึงดูดด้วยแสงเริ่มขึ้นในช่วงแรกของการหลังจากนั้นพฤติกรรมการหนีแสงจึงเกิดขึ้นเมื่อพัฒนาการของระบบตัวอ่อนไกส์สินสุด (Forward et al., 2000)

การศึกษาอิทธิพลของแสงที่มีผลต่อการลงเกาะบนพื้นผิว และระยะเวลาการเปลี่ยนแปลงรูปร่าง (metamorphosis) ของเพรียงหัวหอม ซึ่งส่งผลตามมาต่อการกระจายตามธรรมชาติ พบว่า เพรียงหัวหอม *Ascidia mentula* มีพฤติกรรมเลือกลงเกาะบนพื้นผิวที่มีค่าโดยสารลดต่อบนของต่อแสงที่ความเข้มแสงต่ำ (6×10^{14} Quanta/s/m² หรือประมาณ 0.1 Lux) และสามารถพบรากะชาดของตัวเด็มวัยได้ในบริเวณพื้นที่เดียวกันที่มีความเข้มแสงต่ำ (Svane and Dolmer, 1995) สอดคล้องกับพฤติกรรมการลงเกาะของตัวอ่อนเพรียงหัวหอม *E. thurstoni* ที่ตอบสนองการลงเกาะบนพื้นผิวในส่วนที่มีมากกว่าส่วนที่สว่างถึง 3 เท่า (76% ของทั้งหมด) อย่างไรก็ตาม เมื่อนำตัวอ่อนมากระตุ้นให้ลงเกาะด้วยการปล่อยลงในน้ำจีดเป็นเวลาประมาณ 60 วินาที พบว่า ตัวอ่อนเลือกลงเกาะโดยอิสระบนพื้นผิวที่แบ่งออกเป็นสองส่วนที่เท่ากัน (มีเดลล์สว่าง) ไม่แตกต่างกัน ซึ่งอาจมีผลมาจากการที่น้ำจีดทำให้ประสิทธิภาพของอวัยวะที่ตอบสนองต่อแสงของเพรียงหัวหอมลดน้อยลง นอกจากนี้ การกระตุ้นตัวอ่อนด้วยน้ำจีดยังทำให้ระยะเวลาที่ใช้ในการลงเกาะบนพื้นผิวของเพรียงหัวหอมเร็วขึ้น (ปะ โภษิน, 2548)

2.3.2 อุณหภูมิ และความเค็ม

กรณีปัจจัยของอุณหภูมิและความเค็มนี้ พบว่า เพรียงหัวหอม *Styela plicata* ซึ่งเป็นเพรียงหัวหอมที่ดำรงชีวิตเป็นตัวเดียวที่พบทั่วไปในพื้นที่ปากของพิเศษช่องง (Thiyagarajan and Qian, 2003) เมื่อนำมาทำการเพาะเลี้ยงโดยควบคุมปัจจัยความเค็มและอุณหภูมิพบว่า ทั้งความเค็มและอุณหภูมิมีผลต่อระบบทุ่มน้ำของเพรียงหัวหอม โดยความเค็มมีผลต่อระยะเวลาพัฒนาการของระบบทุ่มน้ำมากกว่าอุณหภูมิ ความเค็มและอุณหภูมิมีปฏิสัมพันธ์ซึ่งกันและกัน โดยไปที่ได้รับการปฏิสนธิแล้วไม่สามารถพัฒนาการต่อไปได้ที่ระดับความเค็มต่ำ (22 และ 26 พีโอดซู) ในขณะที่ที่ระดับความเค็มสูง (30 และ 34 พีโอดซู) หากอุณหภูมิลดลงเอ็มบริโอใช้เวลาพัฒนาการนานขึ้น แต่ที่ระดับความเค็มสูง (30 และ 34 พีโอดซู) แม้อุณหภูมิจะต่างกันก็ไม่มีผลต่ออัตราอุดของเอ็มบริโอ (Thiyagarajan and Qian, 2003) เมื่อศึกษากับตัวอ่อน *S. plicata* พบว่าความเค็มและอุณหภูมิไม่มีผลต่อพัฒนาการและการเปลี่ยนแปลงรูปร่าง โดยตัวอ่อนที่ทำการลงเกาะบนพื้นผิวมีพัฒนาการและเปลี่ยนแปลงรูปร่างทุกระดับความเค็มและอุณหภูมิได้ไม่แตกต่างกัน (>5 เบอร์เซ็นต์) อย่างไรก็ตาม ตัวอ่อนใช้ระยะเวลานานขึ้นในการเปลี่ยนแปลงรูปร่างที่ความเค็มต่ำ (Thiyagarajan and Qian, 2003) ซึ่งรูปแบบพัฒนาการของระบบทุ่มน้ำและการเติบโตของตัวอ่อน *S. plicata* นี้สอดคล้องกับที่มีการศึกษาในเพรียงหัวหอมชนิดอื่น (Anderson et al., 1975; Young and Vazquez, 1995; Degnan et al., 1996)

2.4 การเพาะเลี้ยงเพื่อผลผลิตสารออกฤทธิ์ทางชีวภาพ

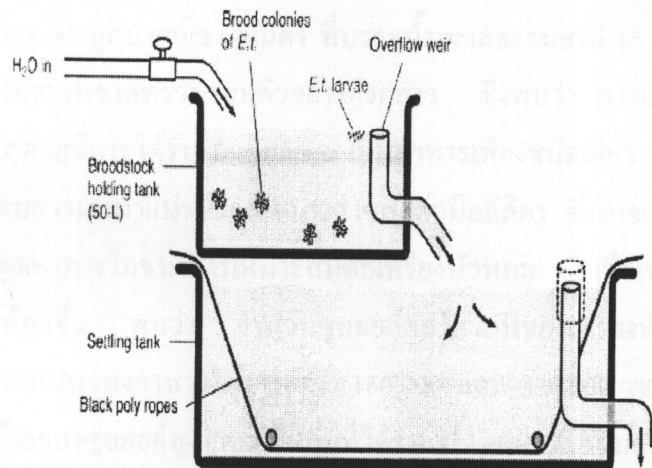
การเพาะเลี้ยงเพื่อผลผลิตสารออกฤทธิ์ทางชีวภาพ ไม่มีกระแสตอบสนองหลังอื่นเชิงอุตสาหกรรม โดยมีวัตถุประสงค์หลักเพื่อเก็บเกี่ยวผลผลิตนำไปสักดิสารออกฤทธิ์ทางชีวภาพ มีรายงานไม่มากนัก เช่น การเพาะเลี้ยงเพื่อผลผลิตสารออกฤทธิ์ทางชีวภาพ ไบร็อชัว หรือฟองน้ำ เป็นต้น (Mendola, 2003; Page *et al.*, 2005) โดยวิธีการเพาะเลี้ยงส่วนใหญ่ได้นำผลที่ได้จากการวิจัยพื้นฐานด้านต่างๆ มาประยุกต์ใช้ในการเพาะเลี้ยงให้ได้ผลผลิตของสิ่งชีวิตที่เลี้ยงสูงสุด และให้เพียงพอต่อความต้องการที่จะนำไปสักดิสาร ดังกล่าวต่อไป

จากการศึกษาการเพาะเลี้ยงฟองน้ำที่มีลักษณะแตกต่างตามโครงสร้างสัมฐานวิทยา 3 ชนิด ได้แก่ *Psammocinia hawere*, *Raspailia agminata* และ *R. topsentii* พบว่า มีศักยภาพสูงในการเพาะเลี้ยงเชิงอุตสาหกรรมเพื่อนำไปผลิตสารออกฤทธิ์ทางชีวภาพ ซึ่งเป็นการป้องกันและลดปัญหาการใช้ประโยชน์จากประชากรฟองน้ำตามธรรมชาติตัวอย่าง เช่นกัน (Duckworth *et al.*, 1997) ฟองน้ำ *P. hawere* ซึ่งมีลักษณะสัมฐานวิทยาเป็นก้อนและรูปทรงคล้ายถ้วย (massive cup shape fibrous sponge) มีอัตราการเติบโตที่ดีและอัตราการดูดซูญเมื่อนำไปเพาะเลี้ยงในที่ลึกในถ้ำหิน ซึ่งเป็นผลจากการที่ความเข้มแสงอุลตร้าไวโอเลตและอุณหภูมิของน้ำต่ำ ช่วยให้ฟองน้ำสามารถรักษาแพลงตอนที่ถูกดัดจากการนำไปย้ายปลูกได้อย่างรวดเร็ว ในทางตรงข้าม ฟองน้ำมีอัตราการตายสูงขึ้นบริเวณที่ตื้นที่มีความเข้มแสงสูงในช่วงถ้ำหิน อาจเนื่องมาจากการดูดซูญของน้ำต่ำ ซึ่งเป็นผลจากการที่ความเข้มแสงสูงในช่วงถ้ำหินทำให้สารร้ายแรงติดตื้นโดยอัตโนมัติ และสารร้ายสามารถขึ้นปกคลุมฟองน้ำได้อย่างรวดเร็ว (Kaandorp and de Kluijver, 1992) รวมถึง แสงทำให้อัตราการรักษาแพลงตอนที่เกิดจากการตัดช้ำลง (Hoppe, 1998) นอกจากนั้นการที่ฟองน้ำ *R. agminata* มีอัตราการเติบโตสูงสุดนั้น อาจเนื่องมาจากเป็นฟองน้ำเคลือบที่มีลักษณะสัมฐานเปลี่ยนแปลงตามลักษณะของพื้นผิว ซึ่งอัตราการเติบโตและอัตราการดูดซูญสูงนี้ได้รับอิทธิพลจากพื้นที่ศึกษาด้วย เช่น บริเวณที่คลื่นลมสงบ หรือ อันคลื่นลม เนื่องจากหากเป็นสถานที่ที่ได้รับอิทธิพลจากคลื่นลมแรง พบว่าฟองน้ำ *R. agminata* มีน้ำหนักลดลงและมีอัตราการตายสูง เช่นเดียวกับในพื้นที่เพาะเลี้ยงฟองน้ำ *R. topsentii* ที่มีคลื่นลมแรงทำให้การเพาะเลี้ยงไม่ประสบความสำเร็จ (Duckworth *et al.*, 1997) ในการทดลองเลี้ยงฟองน้ำ *Mycale hentscheli* เพื่อผลิตสาร mycalamide A สาร pateamine และสาร peloruside A โดยเปรียบเทียบการเลี้ยงชิ้นของฟองน้ำที่ตัดแบ่งออกจากก้อนฟองน้ำตั้งต้นในสถานที่แตกต่างกัน ได้แก่ บริเวณที่พบฟองน้ำชนิดนี้ตามธรรมชาติซึ่งได้รับอิทธิพลจากแม่น้ำ และบริเวณที่อุณหภูมิของน้ำไม่เปลี่ยนแปลงมากนักเนื่องจาก การผสมมวลน้ำโดยลม พบว่า ฟองน้ำที่เลี้ยงในทั้งสองบริเวณ มีการเติบโตที่ดีและไม่พบความแตกต่างทางสถิติ โดยการเติบโตลดลงในช่วงถ้ำหินและเพิ่มสูงขึ้นตามอุณหภูมิของน้ำในถ้ำ ใบไม้ผลิและถ้ำหิน นอกจากนี้ ยังสามารถให้ผลผลิตสารภายหลังการเลี้ยงได้ โดยเฉพาะ สาร

mycalamide A และสาร pateamine สำหรับ ปริมาณการผลิตสาร peloruside A ที่แตกต่างกัน อาจมีผลมาจากการภาวะแวดล้อมในการเลี้ยงต่างกัน ได้ เช่น กัน (Page et al. 2005)

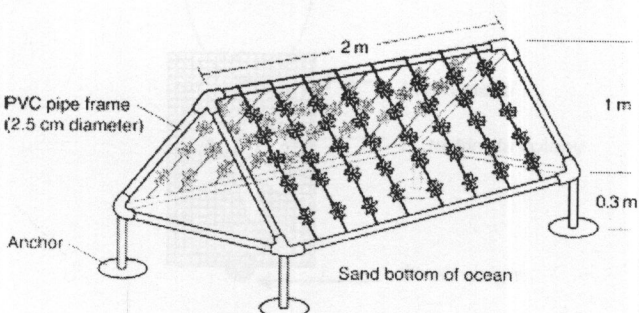
ดังนั้น เพื่อลดปัจจัยจากธรรมชาติ และความคุณปัจจัยการเพาะเลี้ยงให้มีประสิทธิภาพสูงสุด จึงมีการนำการเลี้ยงในระบบเลี้ยงมาใช้ Mendola (2003) รายงานการเลี้ยงฟองน้ำ *Acanthella cavernosa* ที่นำมาจากประเทศไทยมาทำการเลี้ยงในระบบเลี้ยงที่รัฐแคลิฟอร์เนีย สหรัฐอเมริกา พบว่า อัตราการลดของฟองน้ำ *A. cavernosa* ภายหลังการเลี้ยงเป็นเวลา 7 เดือน สูงถึง 81 เปอร์เซ็นต์ และให้สาร kalihinanes 3 ชนิด รวม 0.48 ± 0.007 เปอร์เซ็นต์ (น้ำหนักแห้ง) นอกจากนั้น จากการทดสอบสภาพแวดล้อมโดยเพิ่มปริมาณแสงจากปกติ พบว่า ผลผลิตของ kalihinanes ไม่เพิ่มขึ้นตามทฤษฎีการเพิ่มภาวะเครียดที่ทำให้ฟองน้ำหรือสิ่งมีชีวิตอื่นที่สามารถผลิตสารธรรมชาติ เพื่อป้องกันตนเองเพิ่มขึ้น แต่ค่าดังกล่าวกลับลดลง อย่างไรก็ตาม การศึกษานี้บ่งบอกถึงความเป็นไปได้ในการเลี้ยงฟองน้ำให้มีอัตราการเติบโตและอัตราการลดสูง การเพาะเลี้ยงเพรียงหัวหомเชิงอุตสาหกรรมเริ่มขึ้นหลังจากที่มีการกันพนการสักด้าสาร Ecteinascidins เพื่อใช้บำบัดโรคมะเร็งจากเพรียงหัวหอม *E. turbinata* โดยมีรายงานการเพาะเลี้ยงเพรียงหัวหอม *E. turbinata* ในระบบเลี้ยงและในทะเลที่มีรัฐฟลอริดา สหรัฐอเมริกา (Mendola 2000, 2003) การเลี้ยงในระบบเลี้ยงอาศัยน้ำทะเลธรรมชาติ หมุนเวียนอย่างต่อเนื่อง ให้อาหารแตกต่างกัน 3 ประเภท ได้แก่ อาหารร่ายมีชีวิต อาหารสำเร็จรูปแบบ micro-encapsulated และ micro-particulate ผสมเข้าด้วยกัน วันละ 2 ครั้ง รวมรวมพ่อแม่พันธุ์เพรียงหัวหอมที่สมบูรณ์เพศจากธรรมชาติมาเลี้ยงไว้ในถังพ่อแม่พันธุ์ขนาด 50 ลิตร และทำการรวมรวมตัวอ่อนเมื่อถูกปล่อยออกจากพ่อแม่พันธุ์โดยอาศัยพฤติกรรมการตอบสนองต่อแสงของตัวอ่อน ตัวอ่อนในระยะแรกว่ายอยู่บริเวณผิวน้ำน้ำนี่เองจากอิทธิพลของแสง จึงทำการปล่อยให้น้ำลันพาตัวอ่อนลงมาตามท่อลงสู่ถังที่จัดให้ตัวอ่อนลงเกาะที่บริเวณเชือกด้านล่าง (รูปที่ 2-4) เมื่อจากตัวอ่อนที่ถึงระยะทำการลงเกาะมีพฤติกรรมนี้แสง จึงว่ายน้ำเข้าหากบริเวณที่มีคิวว่าและทำการลงเกาะบนเชือกดังกล่าว ทั้งนี้ พบว่า อัตราการลงเกาะของตัวอ่อนทั้งหมดสูงกว่า 86 เปอร์เซ็นต์ หลังจากนั้นจึงเริ่มนกินอาหารและเติบโตจาก 200 ตัว เริ่มต้น พร้อมกับแตกหน่อคลายเป็นโคลอนีขนาดเล็กภายใน 45–60 วัน ทำการขยับเชือกที่เพรียงหัวหอมได้ลงเกาะไปเลี้ยงในทะเลโดยใช้ท่อพิวชีเป็นโครงสร้างยึดติดบนพื้นทะเล ซึ่งเคลื่อนสารป้องกันสัตว์อันมาเกาะติดบนที่วางบนเชือก (รูปที่ 2-5) โคลอนีเริ่มต้นเติบโตอย่างรวดเร็วโดยการแตกหน่อคลุมเส้นเชือก ยาว 1.2 เมตร ในระยะเวลาที่สั้นที่สุดที่ 35 วัน (ช่วงระยะเวลาเฉลี่ยในทุกฤดูกาล 45–90 วัน) กิตเป็นมวลน้ำภาพโดยเฉลี่ยของเพรียงหัวหอม 400 กรัม (น้ำหนักเปียก) ต่อความยาวเชือก 1 เมตร รอบการเลี้ยงโดยเฉลี่ย 60 วัน หรือ 6 รอบต่อปี ผลผลิตเฉลี่ยโดยรวม 1 ปี เท่ากับ 1,200 กรัมต่อเส้นเชือก หรือผลผลิตทั้งโครงสร้าง 16,000 กิโลกรัม/ເ hectare เมื่อคำนวณผลผลิตการสักด้าสารกลุ่ม ET ซึ่งอยู่ระหว่าง 1.0–8.6 มิลลิกรัมต่อ กิโลกรัม (น้ำหนักเปียก) พบว่ามีค่าสูงกว่าผลผลิตที่ได้จากเพรียงหัวหอมธรรมชาติที่อยู่ระหว่าง 16–138 กรัม/ปี (Mendola, 2003) สำหรับการเลี้ยงในระบบเลี้ยงบนบก พบว่า ผลผลิตและระยะเวลาใน

การเลี้ยงสอดคล้องกับการนำไปเลี้ยงในทะเล (350–500 กรัม ภายใน 35–45 วัน) อย่างไรก็ตาม การที่ผลผลิตของบางชุดทดลองต่างอาจเนื่องมาจากการเข้มข้นของอาหารต่างกันไป หรือ มีก้าด เช่น H₂S เกิดขึ้นภายในบ่อเลี้ยง อย่างไรก็ตาม เมื่อทำการเปรียบเทียบระหว่างระบบการเลี้ยงแล้ว การเลี้ยงในระบบเลี้ยงมือตารา rotor ดูจะมีผู้ล่าและสิ่งมีชีวิตอื่นน้อย ในขณะที่ระยะเวลาในการเจริญพันธุ์นานกว่า (90–120 วัน) ในการเลี้ยงในทะเล (60–90 วัน) (Mendola, 2003)



ที่มา: Mendola (2003)

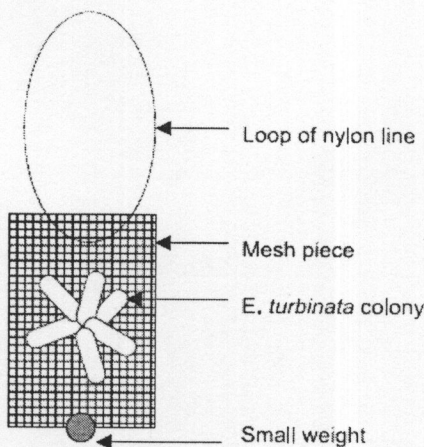
รูปที่ 2-4. ระบบเลี้ยงพ่อแม่พันธุ์และถังรวบรวมตัวอ่อนเพรียงหัวหอม *E. turbinata* บนบก



ที่มา: Mendola (2003)

รูปที่ 2-5. ระบบเลี้ยงเพรียงหัวหอม *E. turbinata* ในทะเล

อาหาร เป็นอีกปัจจัยหนึ่งที่มีการศึกษาเพื่อเพิ่มผลผลิตในด้านการเติบโต รวมถึงปริมาณสารชีวภาพที่สกัด โดยแพลงก์ตอนพืช 3 ชนิด ได้แก่ *Chaetoceros gracilis*, *Isocrysis galbana* และ *Nanochlorosis* sp. ถูกนำมาใช้ในการเลี้ยงเพรียงหัวหอม *E. turbinata* โดยทำการคัดแยกโคโลนี เพรียงหัวหอมให้มีขนาดเล็กลงที่จำนวนซูขออยด์โคโลนีละ 20 ซูขออยด์โดยประมาณ นำไปผูกติดกับตาข่ายในล่อนขนาด 3×6 ตารางเซนติเมตร ที่มีช่องตาข่าย 1 มิลลิเมตร (รูปที่ 2-6) มัดโคโลนีด้วยเข็อกเพื่อช่วยในการยึดเกาะของ stolon ระยะแรก นำไปแขวนในแนวตั้งที่ระดับกลางน้ำในตู้เลี้ยงขนาด $25 \times 29 \times 41$ ลูกบาศก์เซนติเมตร ที่บรรจุน้ำทะเลธรรมชาติ 15 ลิตร ควบคุมสภาพแวดล้อมให้คล้ายคลึงกับธรรมชาติที่รวมรวมตัวอย่างคงก่อร้าว ซึ่งพบว่า การเติบโตของเพรียงหัวหอม *E. turbinata* สูงสุดอยู่ที่การได้รับ *I. galbana* เป็นอาหารเพียงชนิดเดียว หรือได้รับร่วมกับการให้ *C. gracilis* ที่ระดับความหนาแน่นเซลล์ 80,000 เซลล์ต่อมิลลิลิตร ซึ่งอาจเป็นผลมาจากการแพลงก์ตอนห้องสองชนิดนี้มีคุณค่าทางโภชนาการเหมาะสมต่อเพรียงหัวหอม เมื่อเพิ่มระดับความหนาแน่นของแพลงก์ตอนให้สูงขึ้น พบร่วมกัน จำนวนซูขออยด์ต่อโคโลนีของเพรียงหัวหอมมีค่ามากที่สุดเมื่อเพิ่มระดับความหนาแน่นของอาหารให้มากขึ้น (160,000 และ 320,000 เซลล์ต่อมิลลิลิตร) ในขณะที่ความยาวสูงที่สูงของซูขออยด์สูงสุดอยู่ที่กลุ่มที่ได้รับ *C. gracilis* ร่วมกับ *I. galbana* เช่นกัน ซึ่งส่งผลต่อการผลิตสาร ET อย่างมีนัยสำคัญ กลุ่มที่ได้รับเซลล์แพลงก์ตอนที่ระดับความหนาแน่นสูงสุดทั้ง 2 กลุ่ม ให้สาร ET มากกว่าเดิมถึง 10 เท่า ใน 31 วัน (Duckworth et al., 2004)



ที่มา: Duckworth et al. (2004)

รูปที่ 2-6. แบบจำลองในการเลี้ยงเพรียงหัวหอม *E. turbinata* บนตารางในล่อน

สำหรับประเทศไทย มีการศึกษาเกี่ยวกับเพรียงหัวหอมน้อยมาก นอกเหนือจากรายงานการพนเพรียงหัวหอม *E. thurstoni* และการผลิตสารออกฤทธิ์ทางชีวภาพ (สาร ET) แล้ว (Charupant, 2000; Suwanborirux et al., 2002 Chavanich et al., 2005) มีเพียงการศึกษาชีววิทยาทางประการของ

เพรียงหัวหอม เช่น วงศ์ชีวิต พัฒนาการของตัวอ่อน พฤติกรรมการลงเเกะและหลังการลงเgae เพื่อการเพาะเลี้ยงเท่านั้น (ปิยะ โภยสิน, 2548) การศึกษาปัจจัยทางกายภาพ เช่น แสง ความเค็ม อุณหภูมิ เพื่อนำข้อมูลที่ได้มาประยุกต์ใช้ในการเพาะเลี้ยงเพรียงหัวหอมในการผลิตสาร ET ให้เพียงพอกับความต้องการซึ่งมีความจำเป็นอย่างมากในอนาคตต่อไป

บทที่ 3

วิธีดำเนินการวิจัย

3.1 สัตว์ทดลอง สถานที่วิจัย และระบบการเลี้ยง

ทำการเก็บเพรียงหัวหом *Ecteinascidia thurstoni* Herdman, 1891 (รูปที่ 3-1) ธรรมชาติจากบริเวณท่าเทียบเรือสถานีวิจัยและพัฒนาทรัพยากรทางทะเล ชายฝั่งทะเล และป่าชายเลน จังหวัดภูเก็ต (สภาพ ภูเก็ต) มาเลี้ยงภายในถังเลี้ยงทรงกลมขนาด 500 ลิตร ในโรงเพาะเลี้ยงสถานีวิจัยสัตว์ทะเล อ่างศีลา จังหวัดชลบุรี โดยใช้ระบบนำหมุนเวียนแบบปิด (รูปที่ 3-2)



ที่มา: Chavanich *et al.* (2005)

รูปที่ 3-1. เพรียงหัวหอม *Ecteinascidia thurstoni* Herdman, 1891



รูปที่ 3-2. โรงเพาะเลี้ยง สถานีวิจัยสัตว์ทะเล อ่างศีลา จังหวัดชลบุรี

3.2 ขั้นตอนการวิจัย รวมรวม และวิเคราะห์ข้อมูล

แบ่งการทดลองออกเป็น 3 ส่วน ได้แก่ ศึกษาผลของแสงต่อการเติบโต ศึกษาผลของความเค็มต่อการเติบโต และศึกษาผลของแสงและความเค็มที่มีต่อการผลิตสาร Ecteinascidins (ET) โดยมีรายละเอียดดังนี้

3.2.1 ผลของแสงต่อการเติบโตของเพรียงหัวหอม *E. thurstoni*

ทำการเก็บเพรียงหัวหอม *E. thurstoni* ที่มีขนาดเดินผ่านศูนย์กลางโคลโนนีโดยเฉลี่ยประมาณ 7 เซนติเมตร จำนวน 25 โคลโนนี นับจำนวนตัวของเพรียงหัวหอม (ชูออยด์) พร้อมบันทึกถ่ายภาพโคลโนนีเริ่มต้นบนกรอบสี่เหลี่ยมขนาด 10×10 ตารางเซนติเมตร (รูปที่ 3-3a) บีดโคลโนนีเพรียงหัวหอมติดกับแผ่นกระเบื้องดินเผาทรงสี่เหลี่ยมขนาด 15×15 ตารางเซนติเมตร (รูปที่ 3-3b) นำไปแขวนในถังเลี้ยงที่บรรจุน้ำทะเล 500 ลิตร ควบคุมระดับความเค็มที่ 32 พีอีสью ตามระดับความเค็มของน้ำทะเลที่เก็บตัวอย่าง (รูปที่ 3-3c) กำหนดชุดการทดลองตามระดับความเข้มแสงที่แตกต่างกัน 5 ระดับ ได้แก่ 0, 2, 4, 6 และ $8 \mu\text{w/cm}^2$ หรือคิดเป็น 0, 25, 50, 75 และ 100 เปอร์เซ็นต์ของระดับความเข้มแสงในโรงไฟฟ้าเดี่ยวตามลำดับ (ความเข้มแสงที่ 100 เปอร์เซ็นต์ เป็นชุดควบคุม) โดยกำหนดช่วงเวลาการให้แสง 12 ชั่วโมง และไม่ให้แสง 12 ชั่วโมง ทุกวัน ทั้งนี้ แต่ละชุดการทดลองมีเพรียงหัวหอมจำนวน 5 โคลโนนี ให้แพลงก์ตอนพืช *Chaetoceros sp.* เป็นอาหารวันละ 1 ครั้ง ที่ความหนาแน่นของเซลล์เริ่มต้นมีค่า 3×10^6 เซลล์ต่อมิลลิลิตร เป็นปริมาณ 1.5 ลิตร ต่อถัง การให้ *Chaetoceros sp.* เป็นอาหารเนื่องจากในการศึกษาเบื้องต้นเพรียงหัวหอม *E. thurstoni* ที่ได้รับแพลงก์ตอนดังกล่าวเป็นอาหารมีการเติบโตดี ระยะเวลาในการเลี้ยง 2 รอบวงชีวิต โดยทำการเปลี่ยนถ่ายน้ำพร้อมทำความสะอาดตะกอนภายในถังเลี้ยงสัปดาห์ละ 1 ครั้ง และบันทึกข้อมูลการเติบโตสัปดาห์ละ 2 ครั้ง



รูปที่ 3-3. ลักษณะการเลี้ยงเพรียงหัวหอม *E. thurstoni* ในถังเลี้ยง

- การบันทึกพื้นที่ปoclุมของโคลโนนีบนกรอบสี่เหลี่ยมขนาด 10×10 ตารางเซนติเมตร
- โคลโนนีที่นำมายึดติดกับแผ่นกระเบื้องขนาด 15×15 ตารางเซนติเมตร
- การแขวนโคลโนนีที่ยึดติดกับแผ่นกระเบื้องในถังเลี้ยง

ทั้งนี้ ข้อมูลการเติบโตที่ทำการบันทึก มีดังนี้

- 1) บันทึกความยาวของเพรียงหัวหомแต่ละโคลอนโดยการสูมวัดขนาดความยาวของชูออยด์เพรียงหัวหอม เป็นจำนวนไม่ต่ำกว่า 10% ของโคลอนนั้นๆ
- 2) นับจำนวนชูออยด์เพรียงหัวหอมในแต่ละโคลอน
- 3) พื้นที่ปักกลุ่มพื้นผิว ซึ่งหมายถึง เปอร์เซ็นต์การปักกลุ่มพื้นผิวของเพรียงหัวหอม ทำการคำนวณพื้นที่โดยบันทึกภาพเพรียงหัวหอมในกรอบสี่เหลี่ยมขนาด 10×10 ตารางเซนติเมตร และนำภาพดังกล่าวไปวิเคราะห์โดยคำนวณพื้นที่ปักกลุ่มด้วยโปรแกรม ENVI

3.2.2 ผลของความเค็มต่อการเติบโตของเพรียงหัวหอม *E. thurstoni*

ทำการศึกษาด้วยวิธีการเดียวกับข้อ 2.1 โดยเปลี่ยนปัจจัยจากแสงเป็นความเค็ม โดยเลี้ยงเพรียงหัวหอมในระดับความเค็มที่แตกต่างกัน 5 ระดับที่ 26, 29, 32, 35 และ 38 พีเอสью ตามลำดับ โดยระดับความเค็มที่ 32 พีเอสью เป็นระดับความเค็มปกติในธรรมชาติ ให้ความเข้มแสงตามธรรมชาติ

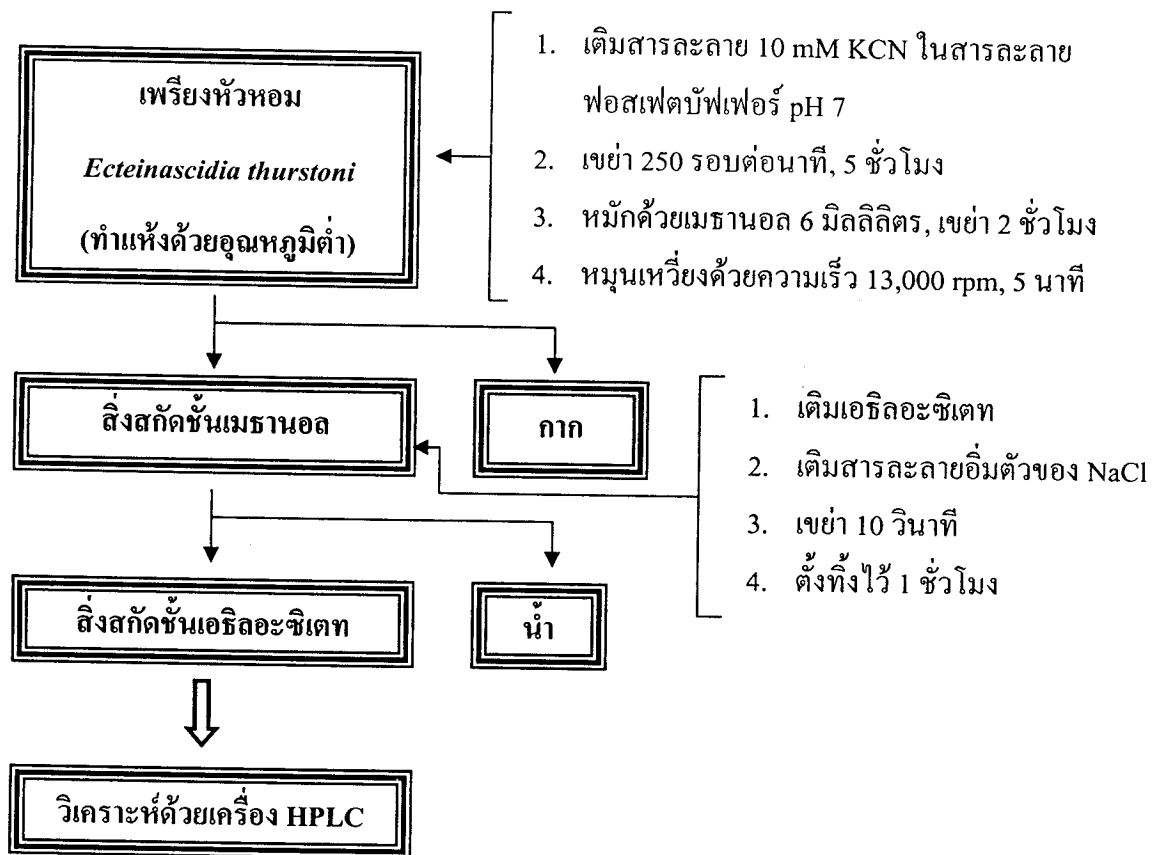
3.2.3 ผลของแสงและความเค็มต่อการผลิตสาร Ecteinascidins ของเพรียงหัวหอม *E. thurstoni*

เก็บตัวอย่างทั้งหมดของเพรียงหัวหอม *E. thurstoni* จากที่ทำการเลี้ยงเมื่อครบ 2 รอบวงซึ่วิตามาทำการสกัดหาปริมาณสาร Ecteinascidins (ET) เพื่อเปรียบเทียบผลของปัจจัยแสงและความเค็มที่มีต่อการผลิตสารดังกล่าว แบ่งขั้นตอนการศึกษาออกเป็นการสกัดแยกสาร ET 770 และการวิเคราะห์ปริมาณสาร ET 770 ตามรูปที่ 3.4 ซึ่งดัดแปลงจากวิธีการของ นภารณพ บุญถินอม และปิติ จันทร์วรชิต (2544); Charupant (2000); Suwanborirux *et al.* (2002) โดยมีรายละเอียดดังนี้

1) วิธีการสกัดสาร ET 770 จากเพรียงหัวหอม *E. thurstoni*

- (1.1) นำตัวอย่างเพรียงหัวหอม *E. thurstoni* ใส่ในขวดแก้วขนาดเล็ก
- (1.2) นำมาบดให้ละเอียดภายในหลังผ่านกระบวนการทำให้แห้งด้วยอุณหภูมิต่ำ (Freeze drier)
- (1.3) เติมสารละลายน้ำ 10 mM KCN ในสารละลายน้ำสเปตบัฟเฟอร์ pH 7 ปริมาตร 2 มิลลิลิตร
- (1.4) sonicate เป็นเวลา 5 นาที
- (1.5) ทำการเขย่าให้สารละลายกับตัวอย่างที่ความเร็ว 250 รอบต่อนาที เป็นเวลา 5 ชั่วโมง
- (1.6) หมักด้วยเมธานอล 6 มิลลิลิตร แล้วทำการเขย่าต่ออีก 2 ชั่วโมง
- (1.7) นำตัวอย่างที่ได้นำไป centrifuge ที่ความเร็ว 13,000 รอบต่อนาที เป็นเวลา 5 นาที
- (1.8) ดูดสิ่งที่สกัดได้จากขั้นเมธานอล 4 มิลลิลิตร นำมาเติมเอทิลอะซีเตท (EtOAc) 3 มิลลิลิตร และ brine (สารละลายน้ำ NaCl) 11 มิลลิลิตร

- (1.9) นำไปเยีย 10 วินาที แล้วตั้งทิ้งไว้ที่อุณหภูมิห้องเป็นเวลา 1 ชั่วโมง เพื่อให้เกิดการแยกชั้นระหว่างเอทิลอะซิเตทกับน้ำ
- (1.10) ทำการดูดสิ่งที่ตกค้างออกจากชั้นเอทิลอะซิเตಥือก 2 มิลลิลิตร ใส่ในขวดแก้วขนาดเล็ก
- (1.11) เติม anhydrous Na_2SO_4 40 มิลลิกรัม เพื่อกำจัดน้ำที่อาจปนค้างอยู่ในสารสกัดดังกล่าว
- (1.12) ดูดสิ่งที่ตกค้างได้จากชั้นเอทิลอะซิเตทที่กำจัดน้ำแล้ว 1 มิลลิลิตร ใส่ใน eppendorf
- (1.13) นำสารสกัดที่ได้ไปเป่าให้แห้งโดยการใช้ N_2 ได้สาร dried crude EtOAC extract



รูปที่ 3-4. การสกัดแยกสาร Ecteinascidins จากเพรียงหัวหอม *Ecteinascidia thurstoni* (ดัดแปลงจากวิธีการของ นกรรรณพ บุญถานอม และ ปิติ จันทร์วรชิต (2544); Charupant (2000); Suwanborirux *et al.* (2002))

2) การวิเคราะห์ปริมาณสาร ET 770

ทำการวิเคราะห์ปริมาณสาร ET 770 โดยเครื่อง High Performance Liquid Chromatography (HPLC) ซึ่งประกอบด้วยการสร้างกราฟมาตรฐานด้วยสารละลายน้ำมารฐาน ET 770 พร้อมทั้ง วิเคราะห์ปริมาณของสาร ET 770 ที่ได้จากเพรียงหัวหอม *E. thurstoni* โดยกำหนดสภาวะเครื่อง HPLC ที่ใช้ในการวิเคราะห์ตามวิธีการของ Suwanborirux *et al.* (2002) โดยมีรายละเอียดตามตารางที่ 3-1

ตารางที่ 3-1. สภาวะของเครื่อง High Performance Liquid Chromatography ที่ใช้ในการวิเคราะห์ปริมาณสาร Ecteinascidins จากเพรียงหัวหอม *E. thurstoni*

หัวข้อ	รายละเอียด	หมายเหตุ
Column	Hewlett Packard ODS Hypersil 5 μm , 125 x 4 mm	
Solvent system	Methanol : Phosphate buffer อัตราส่วน 60:40	
Injection volume	100 μl	
Flow rate	1 ml/min	
Diode array UV detector	ความยาวคลื่น 286 nm	

3.2.4 การวิเคราะห์ข้อมูลทางสถิติ

ทำการวิเคราะห์ข้อมูลทางสถิติโดย One Way ANOVA Tukey-Pairwise Mean Comparison เพื่อเปรียบเทียบ ผลของแสงและความเรื้อรังต่อการเดินทางและการผลิตสาร Ecteinascidins ของเพรียงหัวหอม รวมทั้งวิเคราะห์ความสัมพันธ์ของความยาวชูออยค์ จำนวนชูออยค์ และพื้นที่ปักกลุ่มโคลโนนีของเพรียงหัวหอม โดย Independent Samples T-Test และวิเคราะห์ความแตกต่างของความยาวชูออยค์ จำนวนชูออยค์ และพื้นที่ปักกลุ่มโคลโนนีของเพรียงหัวหอม ในแต่ละวงศ์ชีวิต โดย Chi-Square Test

บทที่ 4

ผลการศึกษา

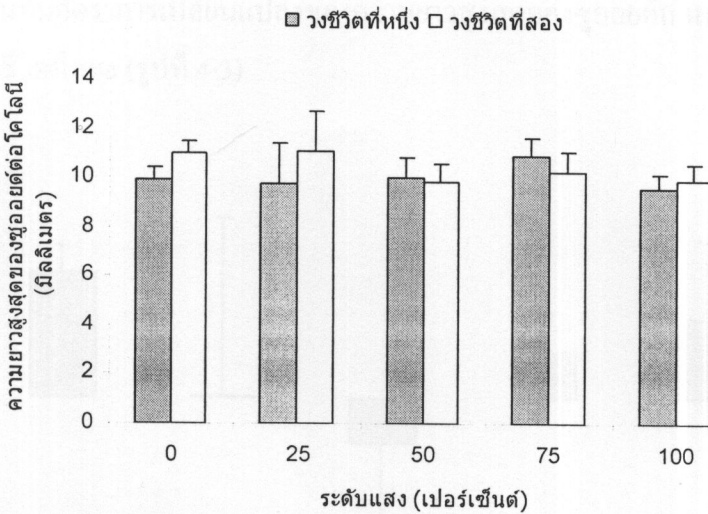
4.1 ผลของแสงต่อการเติบโตของเพรียงหัวหอม *E. thurstoni*

(4.1.1) ผลของแสงต่อการเติบโตของความยาวซูออยด์

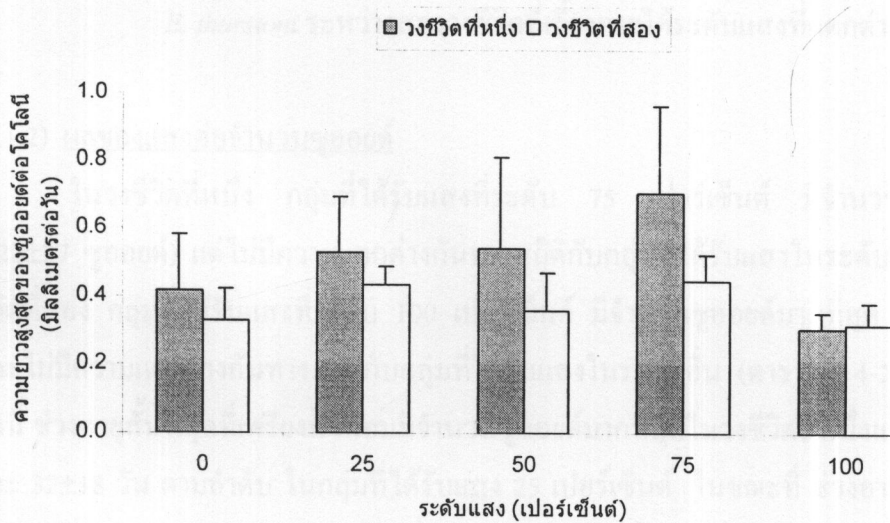
จากการศึกษาผลของแสงต่อการเติบโตของเพรียงหัวหอม *E. thurstoni* พบว่า ในวงชีวิตที่หนึ่ง กลุ่มที่ได้รับแสงที่ระดับ 75 เปอร์เซ็นต์ มีการเติบโตของความยาวสูงสุด (10.9 ± 0.8 มิลลิเมตร) แต่ไม่มีความแตกต่างกันทางสถิติกับกลุ่มที่ได้รับแสงในระดับอื่น ในขณะที่วงชีวิตที่สอง กลุ่มที่ได้รับแสงที่ระดับ 25 เปอร์เซ็นต์ มีการเติบโตของความยาวสูงสุด (11.1 ± 4.2 มิลลิเมตร) แต่ไม่มีความแตกต่างกันทางสถิติกับกลุ่มที่ได้รับแสงในระดับอื่นเช่นกัน (ตารางที่ 4-1 และ รูปที่ 4-1) ทั้งนี้ ช่วงอายุสั้นที่สุดที่เพรียงหัวหอมมีความยาวสูงสุดในวงชีวิตที่หนึ่งและสองมีค่า 33.7 ± 7.5 และ 24.7 ± 5.6 วัน ในกลุ่มที่ได้รับแสง 50 และ 75 เปอร์เซ็นต์ ตามลำดับ ในขณะที่ช่วงอายุยาวที่สุดที่เพรียงหัวหอมมีความยาวสูงสุดในวงชีวิตที่หนึ่งและสองมีค่า 55.0 ± 26.4 และ 54.0 ± 18.2 วัน ในกลุ่มที่ได้รับแสง 75 และ 0 เปอร์เซ็นต์ ตามลำดับ (ตารางที่ 4-1) นอกจากนี้ เมื่อเปรียบเทียบการเติบโตต่อวันของความยาวซูออยด์ พบว่า กลุ่มที่ได้รับแสง 75 เปอร์เซ็นต์ ให้การเติบโตที่ดีที่สุดทั้งวงชีวิตที่หนึ่ง (0.70 ± 0.26 มิลลิเมตรต่อวัน) และวงชีวิตที่สอง (0.45 ± 0.07 มิลลิเมตรต่อวัน) ในขณะที่กลุ่มที่ได้รับแสงเต็มที่ที่ 100 เปอร์เซ็นต์ ให้การเติบโตต่ำที่สุดในวงชีวิตที่หนึ่งและสองเช่นกัน (0.31 ± 0.04 และ 0.32 ± 0.06 มิลลิเมตรต่อวัน ตามลำดับ) แต่ยังไงก็ตาม พบว่าไม่มีความแตกต่างกันทางสถิติระหว่างชุดการทดลองที่ระดับแสงต่างๆ (รูปที่ 4-2)

ตารางที่ 4-1. อายุของเพรียงหัวหอม *E. thurstoni* เปรียบเทียบกับความยาวสูงสุดของซูออยด์ต่อโคลนีในแต่ละวงชีวิตที่เลี้ยงภายใต้ระดับแสงที่แตกต่างกัน

ระดับแสง (เปอร์เซ็นต์)	วงชีวิตที่หนึ่ง		วงชีวิตที่สอง	
	ความยาวสูงสุด (มิลลิเมตร)	อายุ (วัน)	ความยาวสูงสุด (มิลลิเมตร)	อายุ (วัน)
0	9.9 ± 0.5	41.8 ± 10.7	11.0 ± 0.5	54.0 ± 18.2
25	9.7 ± 1.6	37.8 ± 17.7	11.1 ± 4.2	27.0 ± 13.0
50	10.0 ± 0.8	33.7 ± 7.5	9.8 ± 0.4	41.8 ± 18.0
75	10.9 ± 0.8	55.0 ± 26.4	10.3 ± 1.1	24.7 ± 5.6
100	9.6 ± 0.6	34.2 ± 4.6	10.0 ± 0.7	35.6 ± 5.8



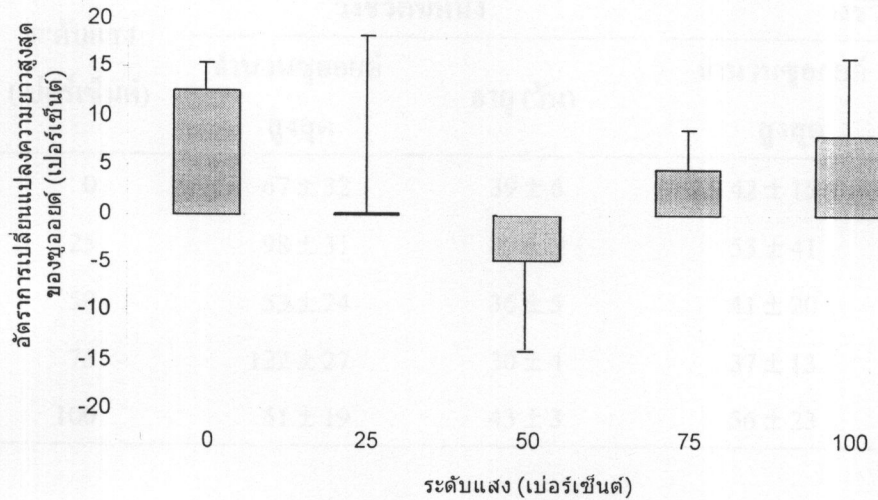
รูปที่ 4-1. ความเยาวสูงสุดของชื้ออยค์ต่อโคโนนิเพรียงหัวหอม *E. thurstoni* ในแต่ละชีวิตที่เลี้ยงภายใต้ระดับแสงที่แตกต่างกัน



รูปที่ 4-2. การเติบโตต่อวันของชื้ออยค์ของเพรียงหัวหอม *E. thurstoni* ในแต่ละชีวิตที่เลี้ยงภายใต้ระดับแสงที่แตกต่างกัน

อย่างไรก็ตาม เมื่อเปรียบเทียบอัตราการเปลี่ยนแปลงความเยาวสูงสุดของชื้ออยค์จากการชีวิตที่หนึ่งไปสู่ชีวิตที่สองในการเลี้ยง พบว่า กลุ่มที่ไม่ได้รับแสง มีอัตราการเปลี่ยนแปลงในทางบวกสูงสุด (12.7 ± 2.7 เปอร์เซ็นต์) ในขณะที่กลุ่มที่ได้รับแสง 50 เปอร์เซ็นต์ มีอัตราการเปลี่ยนแปลงสูงสุดในทางลบ (4.6 ± 8.5 เปอร์เซ็นต์) ซึ่งเป็นชุดการทดลองเดียวเมื่อเปรียบเทียบกับชุดการทดลอง

ที่ระดับแสงอื่นที่มีอัตราการเปลี่ยนแปลงของความยาวสูงสุดของชูอออยค์ลดลงในทางลบจากการชีวิตที่หนึ่งไปสู่ชีวิตที่สอง (รูปที่ 4-3)



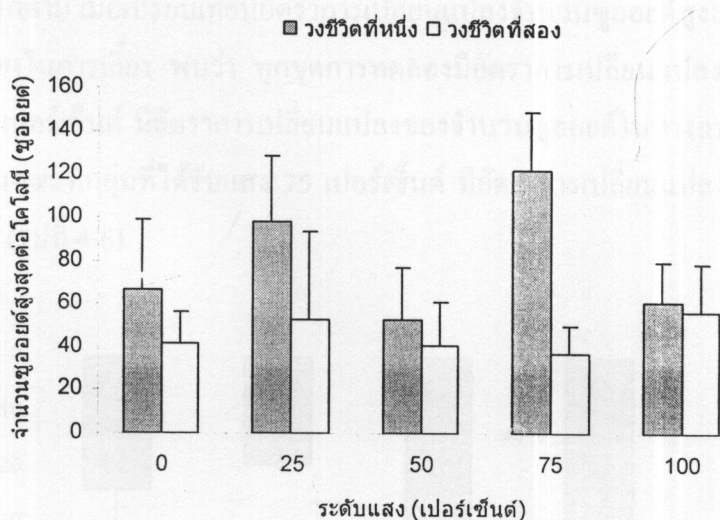
รูปที่ 4-3. อัตราการเปลี่ยนแปลงความยาวสูงสุดของชูอออยค์ต่อโคลอนีเพรียงหัวหนอง *E. thurstoni* ระหว่างสองชีวิตที่เลี้ยงภายใต้ระดับแสงที่แตกต่างกัน

(4.1.2) ผลของแสงต่อจำนวนชูอออยค์

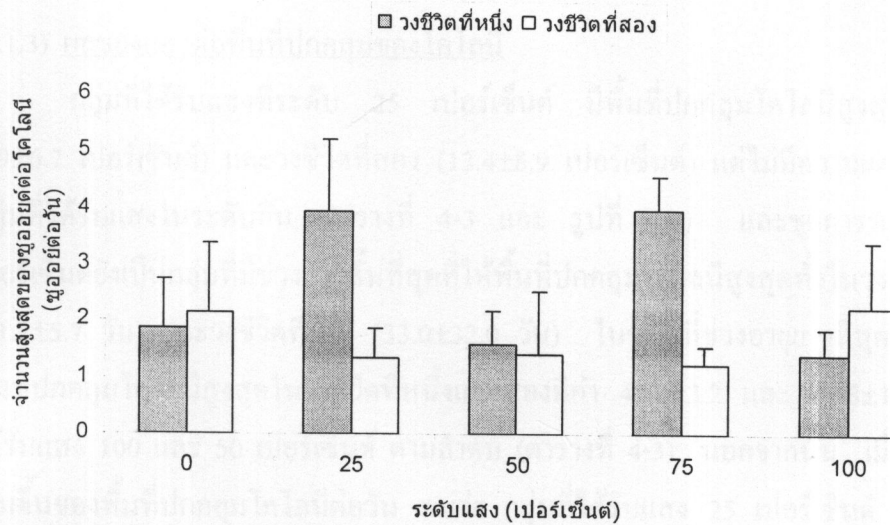
ในวงชีวิตที่หนึ่ง กลุ่มที่ได้รับแสงที่ระดับ 75 เบอร์เช็นต์ มีจำนวนชูอออยค์มากที่สุด (122 ± 27 ชูอออยค์) แต่ไม่มีความแตกต่างกันทางสถิติกับกลุ่มที่ได้รับแสงในระดับอื่น ในขณะที่วงชีวิตที่สอง กลุ่มที่ได้รับแสงที่ระดับ 100 เบอร์เช็นต์ มีจำนวนชูอออยค์มากที่สุด (56 ± 23 ชูอออยค์) และไม่มีความแตกต่างกันทางสถิติกับกลุ่มที่ได้รับแสงในระดับอื่น (ตารางที่ 4-2 และ รูปที่ 4-4) ทั้งนี้ ช่วงอายุสั้นที่สุดที่เพรียงหัวหนองมีจำนวนชูอออยค์มากที่สุดในวงชีวิตที่หนึ่งและสองอยู่ที่ 25 ± 3 และ 32 ± 18 วัน ตามลำดับ ในกลุ่มที่ได้รับแสง 25 เบอร์เช็นต์ ในขณะที่ ช่วงอายุยาวที่สุดที่เพรียงหัวหนองมีความยาวสูงสุดในวงชีวิตที่หนึ่งและสองมีค่า 43 ± 3 และ 65 ± 17 วัน ในกลุ่มที่ได้รับแสง 100 และ 50 เบอร์เช็นต์ ตามลำดับ (ตารางที่ 4-2) นอกจากนั้น เมื่อเปรียบเทียบการเพิ่มขึ้นของจำนวนชูอออยค์ต่อวัน พบว่า กลุ่มที่ได้รับแสง 75 เบอร์เช็นต์ มีการเพิ่มขึ้นของจำนวนชูอออยค์มากที่สุด (3.99 ± 0.6 ชูอออยค์ต่อวัน) ในวงชีวิตที่หนึ่ง แต่เมื่อการเพิ่มขึ้นของจำนวนชูอออยค์ที่ต่ำที่สุดในวงชีวิตที่สอง (1.23 ± 0.3 ชูอออยค์ต่อวัน) ในขณะที่กลุ่มที่ได้รับแสง 100 เบอร์เช็นต์ มีการเพิ่มขึ้นของจำนวนชูอออยค์ต่ำที่สุด (1.43 ± 0.4 ชูอออยค์ต่อวัน) ในวงชีวิตที่หนึ่ง แต่เมื่อจำนวนเพิ่มขึ้นสูงสุด (2.26 ± 1.2 ชูอออยค์ต่อวัน) ในวงชีวิตที่สอง (รูปที่ 4-5)

ตารางที่ 4-2. อายุของเพรียงหัวหอม *E. thurstoni* เปรียบเทียบกับจำนวนชูออยด์สูงสุดต่อโคลนีในแต่ละวัยชีวิตที่เลี้ยงภายใต้ระดับแสงที่แตกต่างกัน

ระดับแสง (เปอร์เซ็นต์)	วงศีวิตที่หนึ่ง		วงศีวิตที่สอง	
	จำนวนชูออยด์ สูงสุด	อายุ (วัน)	จำนวนชูออยด์ สูงสุด	อายุ (วัน)
0	67 ± 32	39 ± 6	42 ± 15	34 ± 12
25	98 ± 31	25 ± 3	53 ± 41	32 ± 18
50	53 ± 24	36 ± 5	41 ± 20	65 ± 17
75	122 ± 27	30 ± 4	37 ± 13	39 ± 18
100	61 ± 19	43 ± 3	56 ± 23	36 ± 11

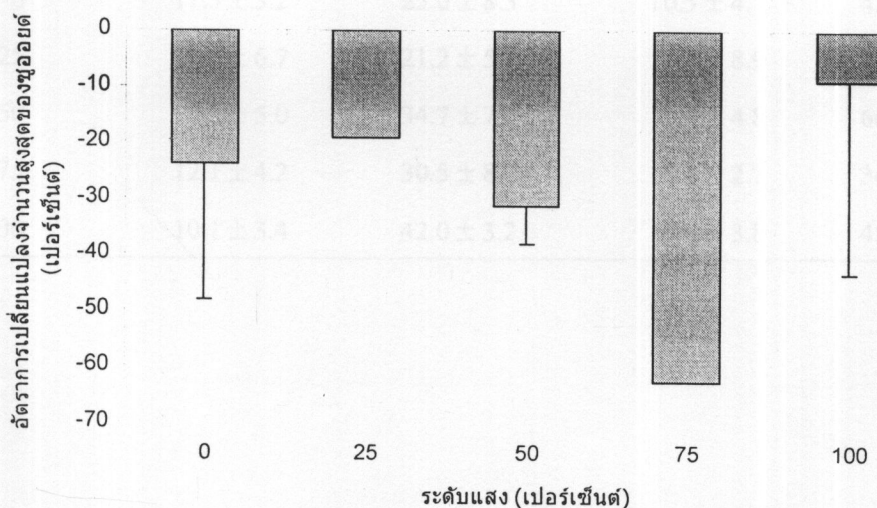


รูปที่ 4-4. จำนวนชูออยด์สูงสุดต่อโคลนีเพรียงหัวหอม *E. thurstoni* ในแต่ละวัยชีวิตที่เลี้ยงภายใต้ระดับแสงที่แตกต่างกัน



รูปที่ 4-5. การเพิ่มขึ้นต่อวันของจำนวนซูออยค์สูงสุดต่อโคลิลี
E. thurstoni ในแต่ละ wang chiwit ที่เลี้ยงภายใต้ระดับ引っ張ที่แตกต่างกัน

อย่างไรก็ตาม เมื่อเปรียบเทียบอัตราการเปลี่ยนแปลงจำนวนซูออยค์สูงสุดจาก wang chiwit ที่หning ไปสู่ wang chiwit ที่ song ใน การเลี้ยง พบว่า ทุกชุดการทดลอง มีอัตราการเปลี่ยนแปลงที่ลดลง โดยกลุ่มที่ได้รับ引っ張 100 เปอร์เซ็นต์ มีอัตราการเปลี่ยนแปลงของจำนวนซูออยค์ในทางลบต่ำที่สุด (9.0 ± 34.6 เปอร์เซ็นต์) ในขณะที่กลุ่มที่ได้รับ引っ張 75 เปอร์เซ็นต์ มีอัตราการเปลี่ยนแปลงในทางลบสูงสุดถึง 62.8 เปอร์เซ็นต์ (รูปที่ 4-6)



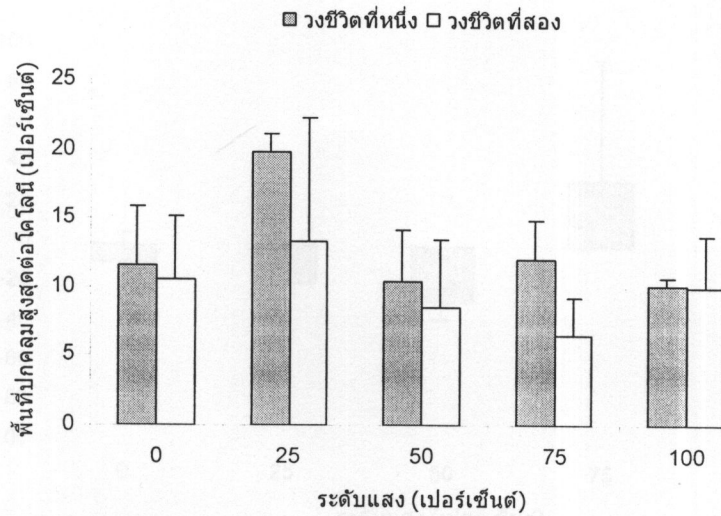
รูปที่ 4-6. อัตราการเปลี่ยนแปลงจำนวนซูออยค์สูงสุดต่อโคลิลี
E. thurstoni ระหว่างสอง wang chiwit ที่เลี้ยงภายใต้ระดับ引っ張ที่แตกต่างกัน

(4.1.3) ผลของแสงต่อพื้นที่ปักกลูมของโคโลนี

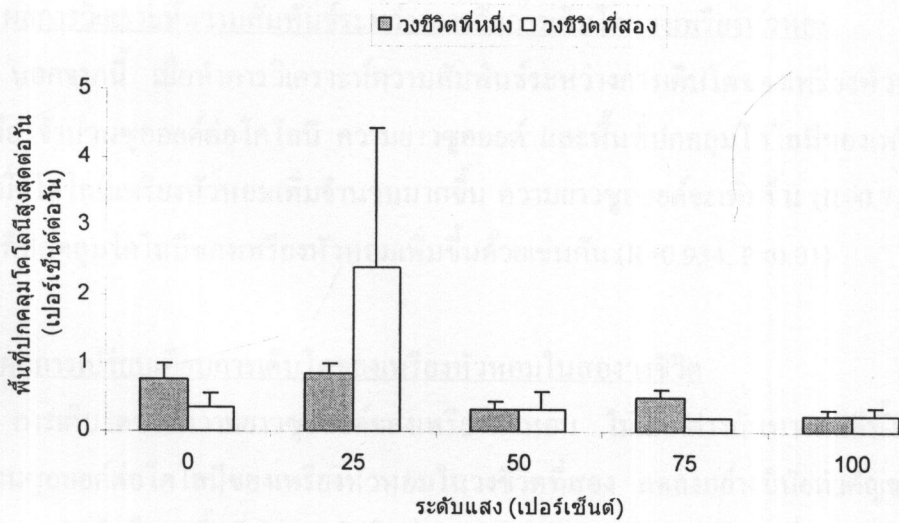
กลุ่มที่ได้รับแสงที่ระดับ 25 เปอร์เซ็นต์ มีพื้นที่ปักกลูมโคโลนีสูงสุดในวงชีวิตที่หนึ่ง (19 ± 6.7 เปอร์เซ็นต์) และวงชีวิตที่สอง (13.4 ± 8.9 เปอร์เซ็นต์) แต่ไม่มีความแตกต่างทางสถิติกับกลุ่มที่ได้รับแสงในระดับอื่น (ตารางที่ 4-3 และ รูปที่ 4-7) และชุดการทดลองที่ระดับ 25 เปอร์เซ็นต์ยังเป็นกลุ่มที่มีช่วงอายุสั้นที่สุดที่ให้พื้นที่ปักกลูมโคโลนีสูงสุดทั้งในวงชีวิตที่หนึ่ง (21.2 ± 5.7 วัน) และวงชีวิตที่สอง (33.0 ± 32.0 วัน) ในขณะที่ช่วงอายุยาวที่สุดที่เพียงหัวหอมมีพื้นที่ปักกลูมโคโลนีสูงสุดในวงชีวิตที่หนึ่งและสองมีค่า 42.0 ± 3.2 และ 66.8 ± 17.5 วัน ในกลุ่มที่ได้รับแสง 100 และ 50 เปอร์เซ็นต์ ตามลำดับ (ตารางที่ 4-3) นอกจากนี้ เมื่อเปรียบเทียบการเพิ่มขึ้นของพื้นที่ปักกลูมโคโลนีต่อวัน พบว่า กลุ่มที่ได้รับแสง 25 เปอร์เซ็นต์ มีการเพิ่มขึ้นของพื้นที่ปักกลูมโคโลนีสูงสุดในวงชีวิตที่หนึ่งและที่สอง (0.84 ± 0.6 และ 2.4 ± 2.1 เปอร์เซ็นต์ต่อวัน ตามลำดับ) ในขณะที่การเพิ่มขึ้นของพื้นที่ปักกลูมต่ำที่สุดในวงชีวิตที่หนึ่งและสอง ได้แก่ กลุ่มที่ได้รับแสง 100 และ 75 เปอร์เซ็นต์ (0.24 ± 0.1 และ 0.19 เปอร์เซ็นต์ต่อวัน ตามลำดับ) (รูปที่ 4-8)

ตารางที่ 4-3. อายุของเพียงหัวหอม *E. thurstoni* เปรียบเทียบกับพื้นที่ปักกลูมโคโลนีสูงสุดในแต่ละวงชีวิตที่เลี้ยงภายใต้ระดับแสงที่แตกต่างกัน

ระดับแสง (เปอร์เซ็นต์)	วงชีวิตที่หนึ่ง		วงชีวิตที่สอง	
	พื้นที่ปักกลูมสูงสุด (เปอร์เซ็นต์)	อายุ (วัน)	พื้นที่ปักกลูมสูงสุด (เปอร์เซ็นต์)	อายุ (วัน)
0	11.5 ± 5.2	23.0 ± 8.3	10.5 ± 4.7	43.8 ± 11.9
25	19.7 ± 6.7	21.2 ± 5.7	13.4 ± 8.9	33.0 ± 32.0
50	10.5 ± 5.0	34.7 ± 7.3	8.6 ± 4.8	66.8 ± 17.5
75	12.1 ± 4.2	30.5 ± 8.7	6.5 ± 2.7	34.7 ± 15.6
100	10.1 ± 3.4	42.0 ± 3.2	9.9 ± 3.8	45.8 ± 7.4

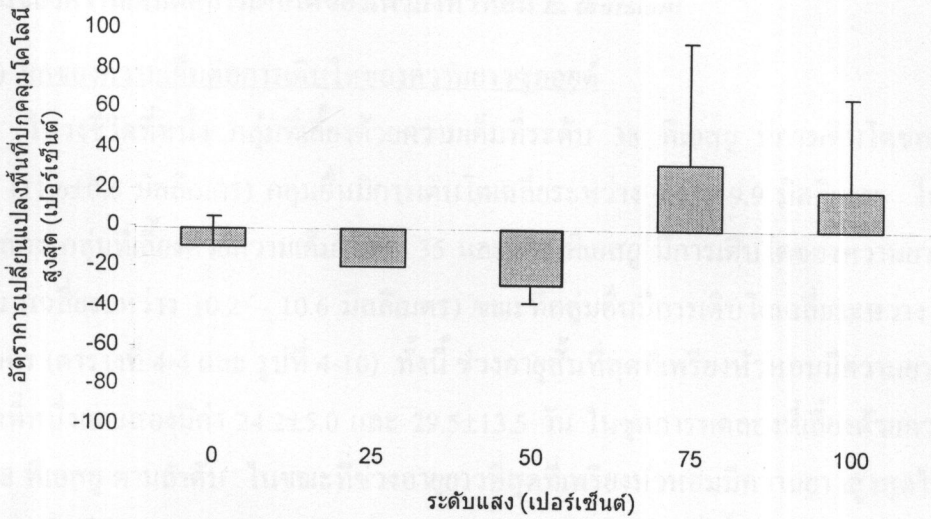


รูปที่ 4-7. พื้นที่ปักคลุนสูงสุดต่อโคลนิ (เปอร์เซ็นต์) ที่เลี้ยงภายใต้ระดับแสงที่แตกต่างกัน



รูปที่ 4-8. การเพิ่มขึ้นต่อวันของพื้นที่ปักคลุนโคลนีสูงสุดของเพรียงหัวหอม *E. thurstoni* ในแต่ละวังชีวิตที่เลี้ยงภายใต้ระดับแสงที่แตกต่างกัน

อย่างไรก็ตาม เมื่อเปรียบเทียบอัตราการเปลี่ยนแปลงพื้นที่ปักคลุนโคลนีสูงสุดจากวังชีวิตที่死ไปสู่วังชีวิตที่活着ในการเลี้ยง พบรากลุ่มที่ได้รับแสง 75 เปอร์เซ็นต์ มีอัตราการเปลี่ยนแปลงพื้นที่ในทางบวกสูงสุด (33.3 ± 60.1 เปอร์เซ็นต์) ในขณะที่กลุ่มที่ได้รับแสง 50 เปอร์เซ็นต์ มีอัตราการเปลี่ยนแปลงในทางลบสูงสุด (28.6 ± 8.1 เปอร์เซ็นต์) (รูปที่ 4-9)



ຮູບທີ 4-9. ອັດຕາການເປົ້າຍັນແປລ່ງພື້ນທີ່ປົກລຸມສູງສຸດຕ່ອໂຄໂລນີຂອງເພື່ອຍງຫ້ວອນ *E. thurstoni* ຮະຫວ່າງສອງວ່າຈິວທີ່ເລີ່ມກາຍໃຫ້ຮະດັບແສງທີ່ແຕກຕ່າງກັນ

(4.1.4) ຜົກລົງວິເຄາະທີ່ຄວາມສັນພັນທີ່ຮະຫວ່າງການວັດການເຕີບໂຕຂອງເພື່ອຍງຫ້ວອນ

ນອກຈາກນີ້ ເມື່ອທຳການວິເຄາະທີ່ຄວາມສັນພັນທີ່ຮະຫວ່າງການວັດການເຕີບໂຕຂອງເພື່ອຍງຫ້ວອນໃນດ້ານ ຕ່າງໆ ຄື້ອງ ຈຳນວນໜູ້ອຍດີຕ່ອໂຄໂລນີ ຄວາມຍາວໝູ້ອຍດີ ແລະພື້ນທີ່ປົກລຸມໂຄໂລນີຂອງເພື່ອຍງຫ້ວອນ ພບວ່າ ເມື່ອໂຄໂລນີເພື່ອຍງຫ້ວອນເພີ່ມຈຳນວນມາກີ່ນ ຄວາມຍາວໝູ້ອຍດີຈະເພີ່ມເຂົ້າ ($R=0.711$, $P<0.01$) ແລະພື້ນທີ່ປົກລຸມໂຄໂລນີຂອງເພື່ອຍງຫ້ວອນເພີ່ມເຂົ້າດ້ວຍເຫັນກັນ ($R=0.934$, $P<0.01$)

(4.1.5) ຜົກລົງເປົ້າຍັນທີ່ການເຕີບໂຕຂອງເພື່ອຍງຫ້ວອນໃນສອງວ່າຈິວ

ການເຕີບໂຕຂອງຄວາມຍາວໝູ້ອຍດີຂອງເພື່ອຍງຫ້ວອນ ໄນແຕກຕ່າງກັນທາງສັດຖານີທີ່ສອງວ່າຈິວ ແຕ່ຈຳນວນໜູ້ອຍດີຕ່ອໂຄໂລນີຂອງເພື່ອຍງຫ້ວອນໃນວ່າງຈິວທີ່ສອງ ລດລອຍ່າງມືນຍັດຕຸລູຈາກວ່າຈິວທີ່ ມີນຶ່ງ ອ່າງໄຮກຕາມພື້ນທີ່ປົກລຸມໂຄໂລນີຂອງເພື່ອຍງຫ້ວອນໃນວ່າງຈິວທີ່ມີນຶ່ງແລະສອງໄນ້ມີຄວາມ ແຕກຕ່າງກັນທາງສັດຖານີ

ຕາງານທີ 4-4. ຜົກລົງເປົ້າຍັນທີ່ການເຕີບໂຕຂອງເພື່ອຍງຫ້ວອນທີ່ເລີ່ມໃນຮະດັບແສງທີ່ແຕກຕ່າງກັນໃນ ສອງວ່າຈິວທາງສັດຖານີ

	F	P
ຄວາມຍາວໝູ້ອຍດີ	1.382	0.596
ຈຳນວນໜູ້ອຍດີຕ່ອໂຄໂລນີ	5.900	0.045
ພື້ນທີ່ປົກລຸມໂຄໂລນີ	3.511	0.346

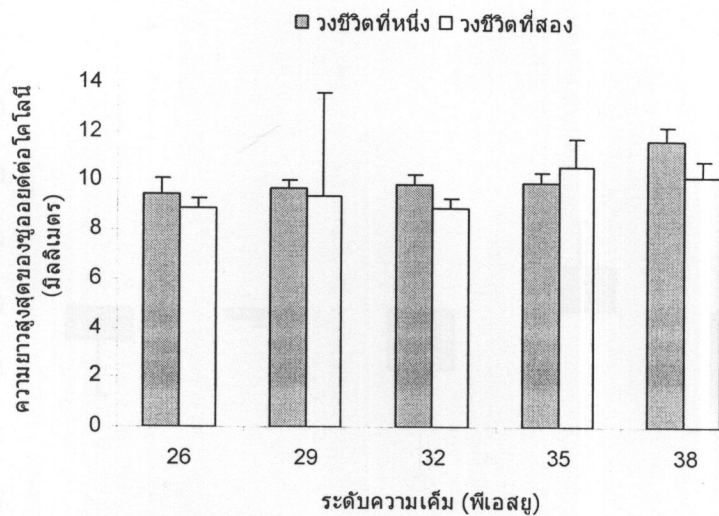
4.2 ผลของความเค็มต่อการเติบโตของเพรียงหัวหอม *E. thurstoni*

(4.2.1) ผลของความเค็มต่อการเติบโตของความยาวซูออยค์

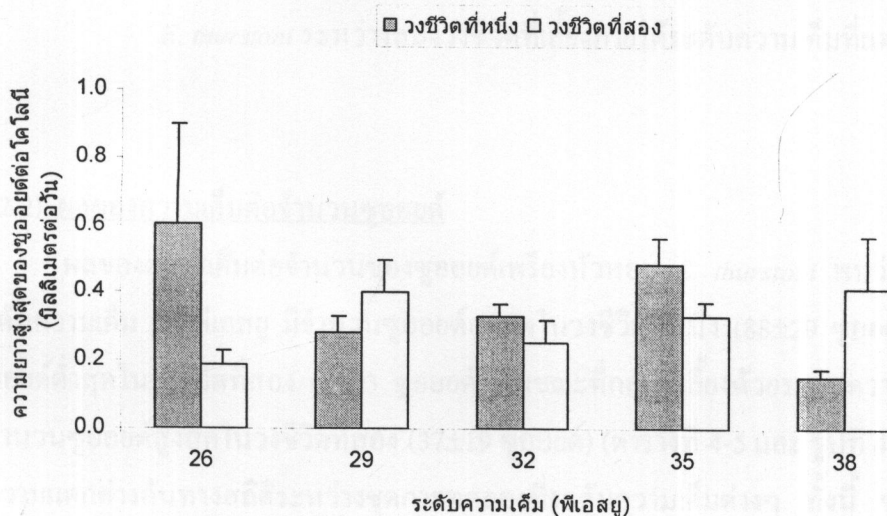
ในวงชีวิตที่หนึ่ง กลุ่มที่เลี้ยงด้วยความเค็มที่ระดับ 38 พีโอดซู มีการเติบโตของความยาวสูงสุด (11.6 ± 0.6 มิลลิเมตร) กลุ่มอื่นมีการเติบโตเฉลี่ยระหว่าง $9.4 - 9.9$ มิลลิเมตร ในขณะที่วงชีวิตที่สอง กลุ่มที่เลี้ยงด้วยความเค็มระดับ 35 และ 38 พีโอดซู มีการเติบโตของความยาวสูงสุดไม่ต่างกัน (เฉลี่ยระหว่าง $10.2 - 10.6$ มิลลิเมตร) ขณะที่กลุ่มอื่นมีการเติบโตเฉลี่ยระหว่าง $8.9 - 9.4$ มิลลิเมตร (ตารางที่ 4-4 และ รูปที่ 4-10) ทั้งนี้ ช่วงอายุสั้นที่สุดที่เพรียงหัวหอมมีความยาวสูงสุดในวงชีวิตที่หนึ่งและสองมีค่า 24.2 ± 5.0 และ 29.5 ± 13.5 วัน ในชุดการทดลองที่เลี้ยงด้วยความเค็ม 35 และ 38 พีโอดซู ตามลำดับ ในขณะที่ช่วงอายุยาวที่สุดที่เพรียงหัวหอมมีความยาวสูงสุดในวงชีวิตที่หนึ่งและสองมีค่า 82.7 ± 14.7 และ 56.4 ± 10.4 วัน ในชุดการทดลองที่เลี้ยงด้วยความเค็ม 38 และ 26 พีโอดซู ตามลำดับ (ตารางที่ 4-4) และเมื่อเปรียบเทียบการเติบโตของความยาวสูงสุดของซูออยค์ต่อวัน พบว่ากลุ่มที่เลี้ยงด้วยความเค็มต่ำที่สุด (26 พีโอดซู) ให้การเติบโตต่ำที่สุดในวงชีวิตที่หนึ่ง (0.61 ± 0.3 มิลลิเมตรต่อวัน) แต่มีการเติบโตต่ำสุดในวงชีวิตที่สอง (0.19 มิลลิเมตรต่อวัน) ในทางตรงข้าม กลุ่มที่เลี้ยงด้วยความเค็มสูงสุด (38 พีโอดซู) ให้การเติบโตต่ำที่สุดในวงชีวิตที่หนึ่ง (0.16 ± 0.3 มิลลิเมตรต่อวัน) แต่มีการเติบโตสูงสุดในวงชีวิตที่สอง (0.42 ± 0.2 มิลลิเมตรต่อวัน) แต่อย่างไรก็ตาม พบว่าไม่มีความแตกต่างกันทางสถิติระหว่างชุดการทดลองที่ระดับความเค็มต่างๆ (รูปที่ 4-11)

ตารางที่ 4-5. อายุของเพรียงหัวหอม *E. thurstoni* เปรียบเทียบกับความยาวสูงสุดของซูออยค์ต่อโคลoni ในแต่ละวงชีวิตที่เลี้ยงภายใต้ระดับความเค็มที่แตกต่างกัน

ระดับความเค็ม (พีโอดซู)	วงชีวิตที่หนึ่ง		วงชีวิตที่สอง	
	ความยาวสูงสุด (มิลลิเมตร)	อายุ (วัน)	ความยาวสูงสุด (มิลลิเมตร)	อายุ (วัน)
26	9.4 ± 0.6	37.8 ± 16.5	8.9 ± 0.8	56.4 ± 10.4
29	9.7 ± 0.4	45.3 ± 15.2	9.4 ± 0.4	35.8 ± 17.1
32	9.9 ± 0.4	31.5 ± 3.5	8.9 ± 1.7	45.2 ± 15.7
35	9.9 ± 0.4	24.2 ± 5.0	10.6 ± 0.9	35.8 ± 6.1
38	11.6 ± 0.6	82.7 ± 14.7	10.2 ± 1.1	29.5 ± 13.5

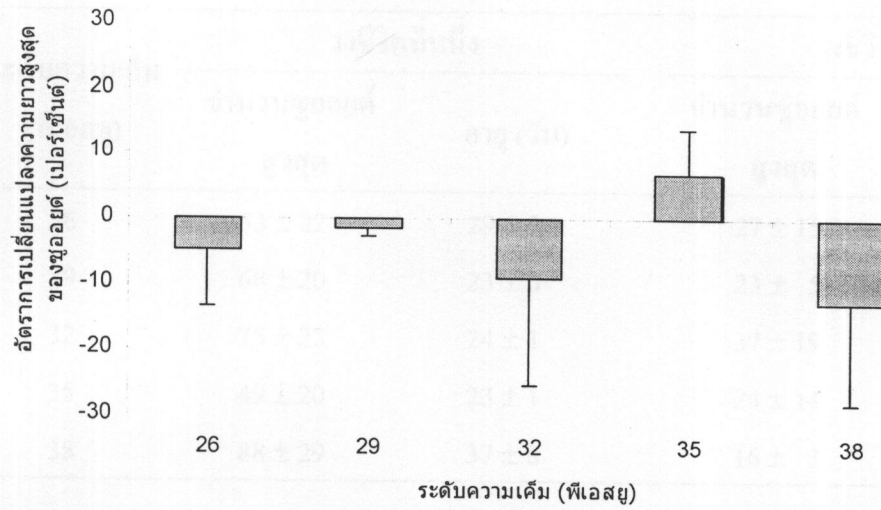


รูปที่ 4-10. ความยาวสูงสุดของชูออยด์ต่อโคโลนีเพรียงหัวหอน *E. thurstoni* ในแต่ละวงชีวิตที่เลี้ยงภายใต้ระดับความเค็มที่แตกต่างกัน



รูปที่ 4-11. การเติบโตต่อวันของชูออยด์ของเพรียงหัวหอน *E. thurstoni* ในแต่ละวงชีวิตที่เลี้ยงภายใต้ระดับความเค็มที่แตกต่างกัน

อย่างไรก็ตาม เมื่อเปรียบเทียบอัตราการเปลี่ยนแปลงความยาวสูงสุดของชูออยด์จากวงชีวิตที่หนึ่งไปสู่วงชีวิตที่สองในการเลี้ยง พบร้า เพรียงหัวหอนที่เลี้ยงด้วยระดับความเค็ม 35 พีโอดี เป็นกลุ่มเดียวที่มีอัตราการเปลี่ยนแปลงในทางบวก (6.7 ± 6.3 เปอร์เซ็นต์) ในขณะที่กลุ่มที่เลี้ยงด้วยระดับความเค็ม 38 พีโอดี มีอัตราการเปลี่ยนแปลงสูงสุดในทางลบ (12.9 ± 15.3 เปอร์เซ็นต์) (รูปที่ 4-12)



รูปที่ 4-12. อัตราการเปลี่ยนแปลงความชื้นสูงสุดของชูออยด์ต่อโคลอนิเพรียงหัวหอม *E. thurstoni* ระหว่างสองชีวิตที่เลี้ยงภายใต้ระดับความเค็มที่แตกต่างกัน

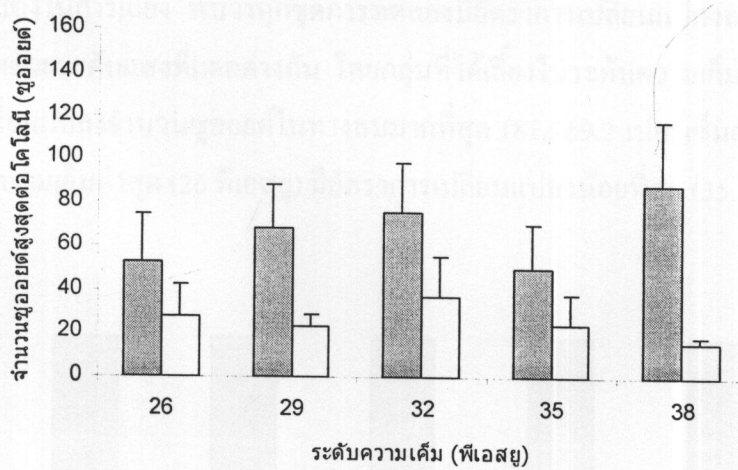
(4.2.2) ผลของความเค็มต่อจำนวนชูออยด์

ผลของความเค็มต่อจำนวนของชูออยด์เพรียงหัวหอม *E. thurstoni* พบว่า กลุ่มที่เลี้ยงด้วยระดับความเค็ม 38 พีโอเอช มีจำนวนชูออยด์สูงสุดในวงชีวิตที่หนึ่ง (88 ± 29 ชูออยด์) แต่ มีจำนวนชูออยด์ต่ำสุดในวงชีวิตที่สอง (16 ± 3 ชูออยด์) ในขณะที่กลุ่มที่เลี้ยงด้วยระดับความเค็ม 32 พีโอเอช มีจำนวนชูออยด์สูงสุดในวงชีวิตที่สอง (37 ± 19 ชูออยด์) (ตารางที่ 4-5 และ รูปที่ 4-13) แต่พบว่าไม่มีความแตกต่างทางสถิติระหว่างชุดการทดลองที่ระดับความเค็มต่างๆ ทั้งนี้ ช่วงอายุสั้นที่สุดที่เพรียงหัวหอมมีจำนวนชูออยด์มากที่สุดในวงชีวิตที่หนึ่งอยู่ที่กลุ่มที่เลี้ยงด้วยระดับความเค็ม 29, 32 และ 35 พีโอเอช ($23 - 24$ วัน) ขณะที่ในวงชีวิตที่สองอยู่ที่กลุ่มที่เลี้ยงด้วยระดับความเค็ม 38 พีโอเอช (22 วัน) (ตารางที่ 4-5) นอกจากนี้ เมื่อเปรียบเทียบการเพิ่มขึ้นของจำนวนชูออยด์ต่อวันพบว่า กลุ่มที่เลี้ยงด้วยระดับความเค็ม 38 พีโอเอช มีจำนวนชูออยด์สูงสุดเพิ่มมากที่สุดทั้งในวงชีวิตที่หนึ่ง และที่สอง (3.27 ± 1.3 และ 9.15 ± 8.8 ชูออยด์ต่อวัน ตามลำดับ) ในขณะที่กลุ่มที่มีการเพิ่มขึ้นของจำนวนชูออยด์ต่ำที่สุดในวงชีวิตที่หนึ่งและสองอยู่ที่ 1.83 ± 0.8 และ 0.52 ชูออยด์ต่อวัน ในกลุ่มที่เลี้ยงด้วยระดับความเค็ม 26 และ 35 พีโอเอช ตามลำดับ (รูปที่ 4-14)

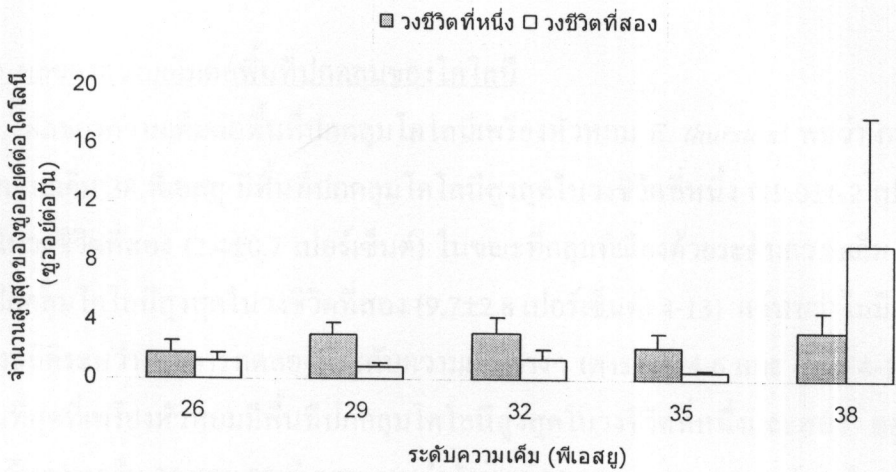
ตารางที่ 4-6. อายุของเพรียงหัวหอม *E. thurstoni* เปรียบเทียบกับจำนวนชูอยด์สูงสุดต่อโโคโลนีในแต่ละวัยวิที่เลี้ยงภายใต้ระดับความเค็มที่แตกต่างกัน

ระดับความเค็ม (พีอีสู)	วงชีวิตที่หนึ่ง		วงชีวิตที่สอง	
	จำนวนชูอยด์ สูงสุด	อายุ (วัน)	จำนวนชูอยด์ สูงสุด	อายุ (วัน)
			จำนวนชูอยด์ สูงสุด	
26	53 ± 22	29 ± 3	27 ± 15	34 ± 14
29	68 ± 20	23 ± 0	23 ± 5	48 ± 17
32	75 ± 23	24 ± 1	37 ± 19	42 ± 20
35	49 ± 20	23 ± 1	24 ± 14	45 ± 12
38	88 ± 29	37 ± 8	16 ± 3	22 ± 21

■ วงชีวิตที่หนึ่ง □ วงชีวิตที่สอง

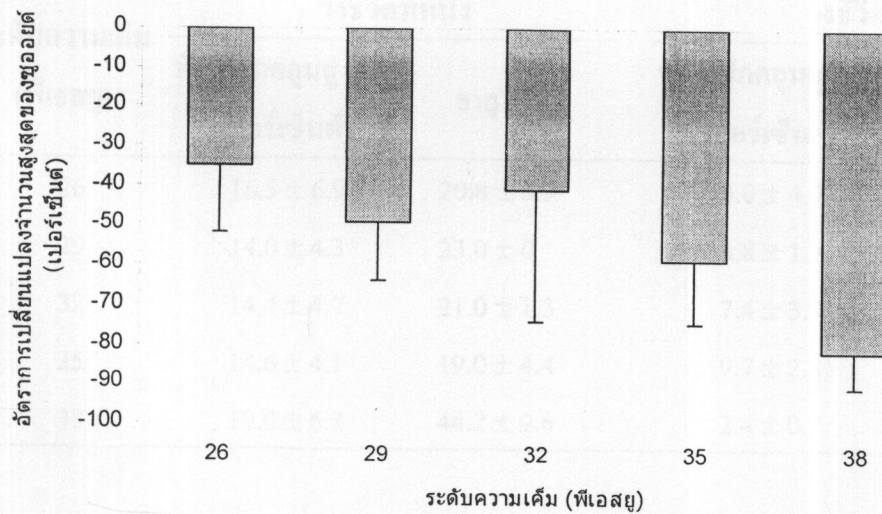


รูปที่ 4-13. จำนวนชูอยด์สูงสุดต่อโโคโลนีเพรียงหัวหอม *E. thurstoni* ในแต่ละวัยวิที่เลี้ยงภายใต้ระดับความเค็มที่แตกต่างกัน



รูปที่ 4-14. การเพิ่มขึ้นต่อวันของจำนวนซูออยค์สูงสุดต่อโโคโลนีเพรียงหัวหอน *E. thurstoni* ในแต่ละชีวิตที่เลี้ยงภายใต้ระดับความเครียดที่แตกต่างกัน

อย่างไรก็ตาม เมื่อเปรียบเทียบอัตราการเปลี่ยนแปลงจำนวนซูออยค์สูงสุดจากชีวิตที่หนึ่งไปสู่ชีวิตที่สองในการเลี้ยง พบร่ว่าทุกชุดการทดลองมีอัตราการเปลี่ยนแปลงลดลง เช่นเดียวกับที่พบในการเลี้ยงด้วยระดับแสงที่แตกต่างกัน โดยกลุ่มที่ได้เลี้ยงในระดับความเครียดสูงสุด (38 พีเอสยู) มีอัตราการเปลี่ยนแปลงจำนวนซูออยค์ในทางลบมากที่สุด (81.5 ± 9.2 เปอร์เซ็นต์) ในขณะที่กลุ่มที่เลี้ยงในระดับความเครียดต่ำสุด (26 พีเอสยู) มีอัตราการเปลี่ยนแปลงน้อยที่สุด (35.1 ± 16.8 เปอร์เซ็นต์) (รูปที่ 4-15)



รูปที่ 4-15. อัตราการเปลี่ยนแปลงจำนวนซูออยค์สูงสุดของชุลล์ตัน (เปอร์เซ็นต์) ระหว่างสองชีวิตที่เลี้ยงภายใต้ระดับความเครียดที่แตกต่างกัน ระหว่างห่วงชีวิตที่สองหัวหอน *E. thurstoni*

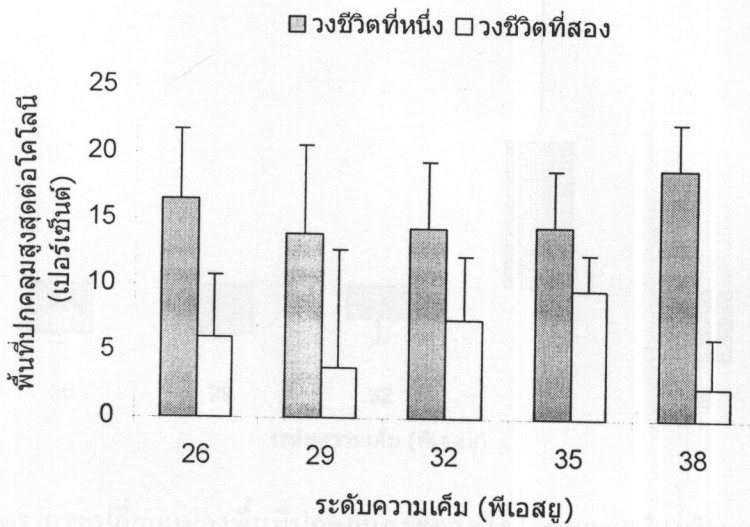
(4.2.3) ผลของความเค็มต่อพื้นที่ปักลูมของโคโลนี

ผลของความเค็มต่อพื้นที่ปักลูมโคโลนีเพรียงหัวหอม *E. thurstoni* พบว่า กลุ่มที่เลี้ยงด้วยระดับความเค็ม 38 พีโอดษุ มีพื้นที่ปักลูมโคโลนีสูงสุดในวงชีวิตที่หนึ่ง (19.0 ± 6.2 เปอร์เซ็นต์) แต่ต่ำสุดในวงชีวิตที่สอง (2.4 ± 0.7 เปอร์เซ็นต์) ในขณะที่กลุ่มที่เลี้ยงด้วยระดับความเค็ม 35 พีโอดษุ มีพื้นที่ปักลูมโคโลนีสูงสุดในวงชีวิตที่สอง (9.7 ± 2.8 เปอร์เซ็นต์) 4-13) แต่พบว่าไม่มีความแตกต่างกันทางสถิติระหว่างชุดการทดลองที่ระดับความเค็มต่างๆ (ตารางที่ 4-6 และ รูปที่ 4-16) ทั้งนี้ ช่วงอายุสัตว์สุดที่เพรียงหัวหอมมีพื้นที่ปักลูมโคโลนีสูงสุดในวงชีวิตที่หนึ่งและสอง อุ豫ที่กลุ่มที่เลี้ยงด้วยระดับความเค็ม 35 และ 29 พีโอดษุ ตามลำดับ (19.0 ± 4.4 และ 14.5 ± 1.3 วัน) ในขณะที่ช่วงอายุยาวที่สุดที่เพรียงหัวหอมมีพื้นที่ปักลูมโคโลนีสูงสุดในวงชีวิตที่หนึ่งและสองอยู่ที่กลุ่มที่เลี้ยงด้วยระดับความเค็ม 38 และ 32 พีโอดษุ ตามลำดับ (44.2 ± 9.6 และ 37.6 ± 18.7 วัน) (ตารางที่ 4-6) นอกจากนี้ เมื่อเปรียบเทียบการเพิ่มขึ้นของพื้นที่ปักลูมโคโลนีต่อวัน พบว่ากลุ่มที่เลี้ยงด้วยระดับความเค็ม 35 พีโอดษุ มีการเพิ่มขึ้นของพื้นที่ปักลูมโคโลนีต่อวันสูงที่สุดทั้งในวงชีวิตที่หนึ่งและที่สอง (1.10 ± 0.4 และ 0.90 ± 0.6 เปอร์เซ็นต์ต่อวัน ตามลำดับ) ในขณะที่กลุ่มที่เลี้ยงด้วยระดับความเค็ม 38 พีโอดษุ มีการเพิ่มขึ้นต่อวันของพื้นที่ปักลูมต่ำที่สุดในวงชีวิตที่หนึ่งและสองเท่ากับ 0.53 ± 0.2 และ 0.12 ± 0.1 เปอร์เซ็นต์ต่อวัน ตามลำดับ (รูปที่ 4-17)

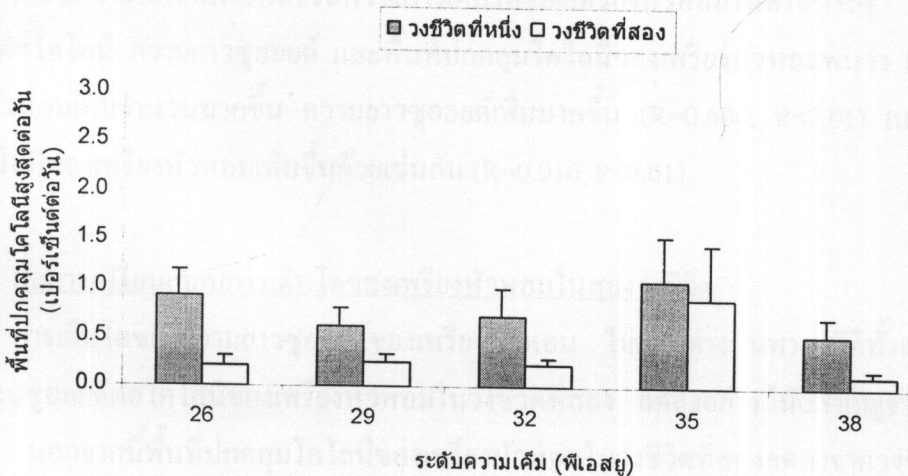
ตารางที่ 4-7. อายุของเพรียงหัวหอม *E. thurstoni* เปรียบเทียบกับพื้นที่ปักลูมโคโลนีสูงสุดในแต่ละวงชีวิตที่เลี้ยงภายใต้ระดับความเค็มที่แตกต่างกัน

ระดับความเค็ม (พีโอดษุ)	วงชีวิตที่หนึ่ง		วงชีวิตที่สอง	
	พื้นที่ปักลูมสูงสุด (เปอร์เซ็นต์)	อายุ (วัน)	พื้นที่ปักลูมสูงสุด (เปอร์เซ็นต์)	อายุ (วัน)
26	16.5 ± 6.9	20.8 ± 5.9	6.0 ± 4.4	35.6 ± 14.8
29	14.0 ± 4.3	23.0 ± 0	3.8 ± 1.3	14.5 ± 1.3
32	14.4 ± 4.7	21.0 ± 1.3	7.4 ± 3.7	37.6 ± 18.7
35	14.6 ± 4.1	19.0 ± 4.4	9.7 ± 2.8	33.7 ± 13.3
38	19.0 ± 6.2	44.2 ± 9.6	2.4 ± 0.7	29.5 ± 13.5

รายงานการทดลองทางชีววิทยา ภาคบังคับ

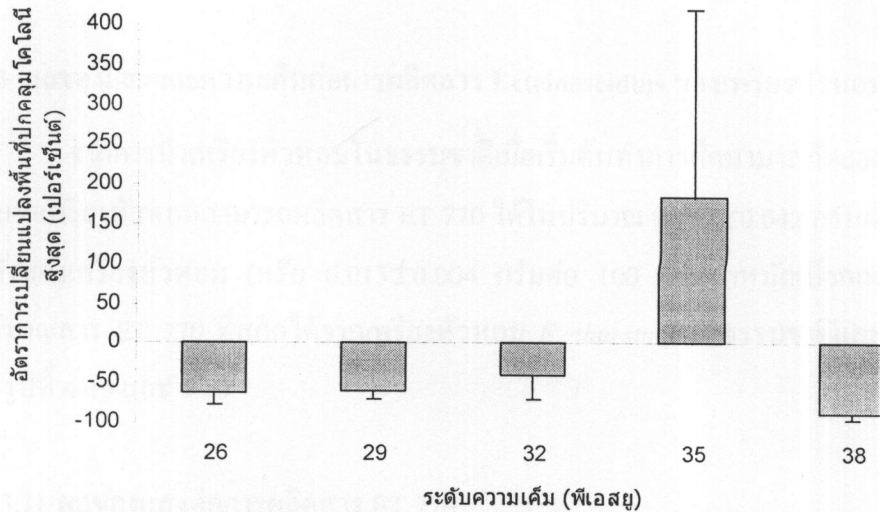


รูปที่ 4-16. พื้นที่ปักคลุมสูงสุดต่อโคลนในแต่ละวงชีวิตที่เลี้ยงภายใต้ระดับความกรดด่างที่แตกต่างกัน



รูปที่ 4-17. การเพิ่มขึ้นต่อวันของพื้นที่ปักคลุมโคลนสูงสุดของเพรียงหัวหมอก *E. thurstoni* ในแต่ละวงชีวิตที่เลี้ยงภายใต้ระดับความกรดด่างที่แตกต่างกัน

เมื่อเปรียบเทียบอัตราการเปลี่ยนแปลงพื้นที่ปักคลุมโคลนสูงสุด จากรังชีวิตที่หนึ่งไปสู่รังชีวิตที่สองในการเลี้ยง พบร่วมกันลุ่มที่เลี้ยงด้วยระดับความกรดด่าง 35 พีเอส ญ เป็นเพียงกลุ่มเดียวที่มีอัตราการเปลี่ยนแปลงพื้นที่ในทางบวก (183.87 ± 236.7 เปอร์เซ็นต์) ในขณะที่กลุ่มอื่นมีอัตราการเปลี่ยนแปลงลดลง โดยกลุ่มที่เลี้ยงด้วยระดับความกรดด่าง 38 พีเอส มีอัตราการเปลี่ยนแปลงในทางลบสูงสุด (86.2 ± 7.9 เปอร์เซ็นต์) (รูปที่ 4-18)



รูปที่ 4-18. อัตราการเปลี่ยนแปลงพื้นที่ปักคุณสูงสุดต่อโคลอนีของเพรียงหัวหอม *E. thurstoni* ระหว่างสองวงชีวิตที่เลี้ยงภายใต้ระดับความเคี้ยวที่แตกต่างกัน

(4.2.4) ผลการวิเคราะห์ความสัมพันธ์ระหว่างการวัดการเติบโตของเพรียงหัวหอม

การวิเคราะห์ความสัมพันธ์ระหว่างการเติบโตของเพรียงหัวหอมในด้านต่างๆ คือจำนวนชูอยค์ต่อโคลอนี ความยาวชูอยค์ และพื้นที่ปักคุณโคลอนีของเพรียงหัวหอมพบว่า เมื่อโคลอนีเพรียงหัวหอมเพิ่มจำนวนมากขึ้น ความยาวชูอยค์เพิ่มมากขึ้น ($R=0.604$, $P<0.01$) และพื้นที่ปักคุณโคลอนีของเพรียงหัวหอมเพิ่มขึ้นด้วยเช่นกัน ($R=0.916$, $P<0.01$)

(4.2.5) ผลการเปรียบเทียบการเติบโตของเพรียงหัวหอมในสองวงชีวิต

การเติบโตของความยาวชูอยค์ของเพรียงหัวหอม ไม่แตกต่างกันทางสถิติทั้งสองวงชีวิต แต่จำนวนชูอยค์ต่อโคลอนีของเพรียงหัวหอมในวงชีวิตที่สอง ลดลงอย่างมีนัยสำคัญจากการชีวิตที่หนึ่ง นอกจากนี้พื้นที่ปักคุณโคลอนีของเพรียงหัวหอมในวงชีวิตที่สองลดลงจากการชีวิตที่หนึ่ง อย่างมีนัยสำคัญ

ตารางที่ 4-8. ผลการเปรียบเทียบการเติบโตของเพรียงหัวหอมที่เลี้ยงในระดับความเคี้ยวที่แตกต่างกันในสองวงชีวิต

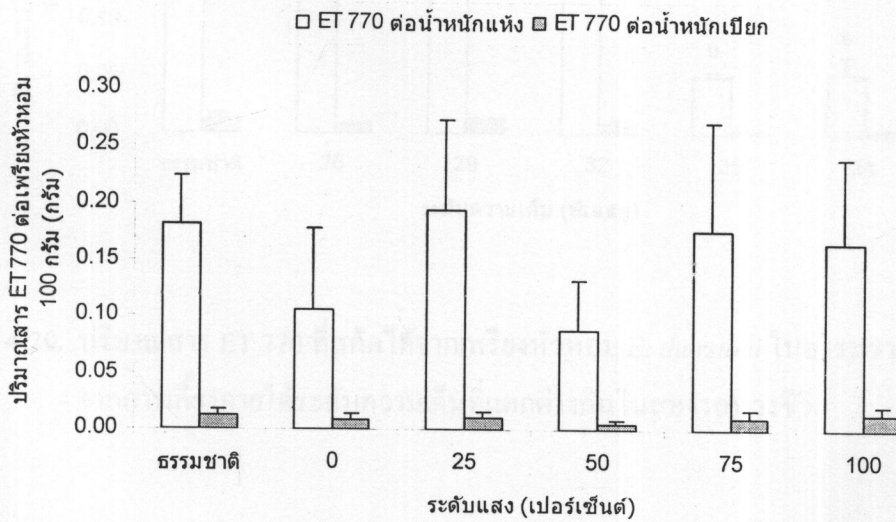
	F	P
ความยาวชูอยค์	2.903	0.303
จำนวนชูอยค์ต่อโคลอนี	7.668	0.001
พื้นที่ปักคุณโคลอนี	5.419	0.002

4.3 ผลของแสงและความเค็มต่อการผลิตสาร Ecteinascidins ของเพรียงหัวหом *E. thurstoni*

จากการนำเพรียงหัวหอมในธรรมชาติเมื่อเริ่มต้นทำการศึกษามาสกัดแยกสาร ET 770 พบว่าเพรียงหัวหอมสามารถผลิตสาร ET 770 ได้ในปริมาณ 0.182 ± 0.042 กรัมต่อ 100 กรัมน้ำหนักแห้งของเพรียงหัวหอม (หรือ 0.013 ± 0.004 กรัมต่อ 100 กรัมน้ำหนักเปียกเพรียงหัวหอม) โดยปริมาณสาร ET 770 ที่สกัดได้จากเพรียงหัวหอม *E. thurstoni* ในธรรมชาติและการเลี้ยงแสดงในรูปที่ 4-19 และ 4-20

(4.3.1) ผลของแสงต่อการผลิตสาร ET 770

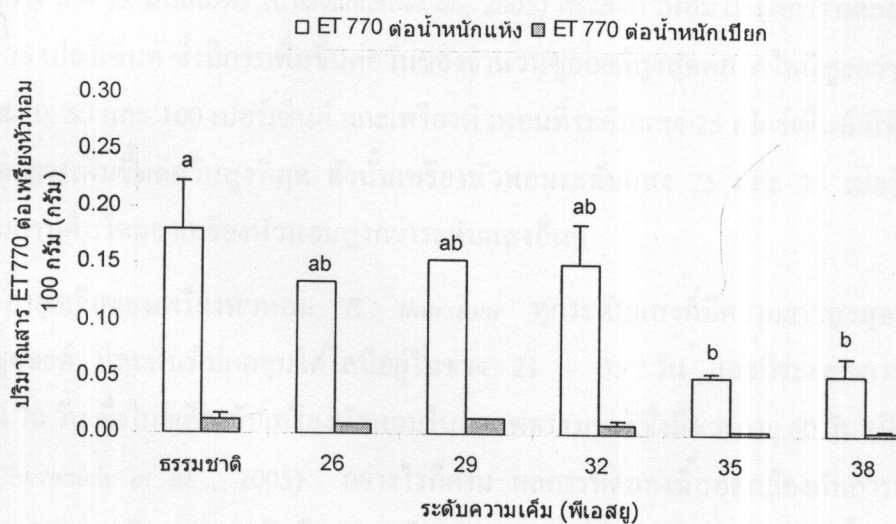
เพรียงหัวหอมที่เลี้ยงในระดับแสง 25, 75 และ 100 เปอร์เซ็นต์ ให้ปริมาณสาร ET 770 อยู่ในช่วง $0.193 - 0.167$ กรัมต่อ 100 กรัมน้ำหนักแห้งของเพรียงหัวหอม (หรือ $0.011 - 0.013$ กรัมต่อ 100 กรัมน้ำหนักเปียกของเพรียงหัวหอม) เช่นเดียวกับปริมาณสาร ET 770 ที่สกัดได้จากเพรียงหัวหอมในธรรมชาติ ในขณะที่เพรียงหัวหอมที่เลี้ยงในระดับแสง 0 และ 50 เปอร์เซ็นต์ ให้ปริมาณสาร ET 770 อยู่ในช่วง $0.089 - 0.107$ กรัมต่อ 100 กรัมน้ำหนักแห้งของเพรียงหัวหอม (หรือ $0.006 - 0.009$ กรัมต่อ 100 กรัมน้ำหนักเปียกของเพรียงหัวหอม) อย่างไรก็ตาม ปริมาณสารที่สกัดได้ไม่แตกต่างกันทางสถิติ



รูปที่ 4-19. ปริมาณสาร ET 770 ที่สกัดได้จากเพรียงหัวหอม *E. thurstoni* ในธรรมชาติและการเลี้ยงภายใต้ระดับแสงที่แตกต่างกันในสองรอบวงชีวิต

(4.3.2) ผลของความเค็มต่อการผลิตสาร ET 770

เพรียงหัวหอมที่เลี้ยงในระดับความเค็มต่ำที่ 26, 29 และ 32 พีโอดซู ให้ปริมาณสาร ET 770 ในระดับสูงเท่ากับ $0.155 - 0.135$ กรัมต่อ 100 กรัมน้ำหนักแห้งของเพรียงหัวหอม (หรือ $0.009 - 0.014$ กรัมต่อ 100 กรัมน้ำหนักเปียกของเพรียงหัวหอม) ซึ่งใกล้เคียงกับที่เพรียงหัวหอมในธรรมชาติผลิต และไม่มีความแตกต่างกันทางสถิติ ในขณะที่กลุ่มที่เลี้ยงในระดับความเค็มสูง 35 และ 38 พีโอดซู สามารถผลิตสาร ET 770 ในระดับต่ำเท่ากับ $0.052 - 0.054$ กรัมต่อ 100 กรัมน้ำหนักแห้งของเพรียงหัวหอม (หรือ $0.003 - 0.004$ กรัมต่อ 100 กรัมน้ำหนักเปียกของเพรียงหัวหอม) ซึ่งน้อยกว่าเพรียงหัวหอมในธรรมชาติอย่างมีนัยสำคัญทางสถิติที่ระดับความเชื่อมั่น 95 เปอร์เซ็นต์



รูปที่ 4-20. ปริมาณสาร ET 770 ที่สกัดได้จากเพรียงหัวหอม *E. thurstoni* ในธรรมชาติและจากการเลี้ยงภายใต้ระดับความเค็มที่แตกต่างกันในสองรอบวงชีวิต

บทที่ 5

วิจารณ์ สรุปผลการศึกษา และข้อเสนอแนะ

วิจารณ์ผลการศึกษา

5.1 ผลของแสงต่อการเติบโตของเพรียงหัวหอม *E. thurstoni*

การเติบโตของเพรียงหัวหอม *E. thurstoni* ทั้งในส่วนของความยาวสูงสุดของชูอออยด์ต่อโคลนี จำนวนชูอออยด์สูงสุดต่อโคลนี และพื้นที่ปกคลุมโคลนีสูงสุด ในทุกชุดการทดลองไม่แตกต่างกันทางสถิติ อย่างไรก็ตาม การเติบโตต่อวันของความยาวของชูอออยด์มีแนวโน้มเพิ่มขึ้นตามระดับแสงที่เพิ่มมากขึ้น ในขณะที่เพรียงหัวหอมที่เลี้ยงในระดับแสงปกติ (100 เปอร์เซ็นต์) มีการเติบโตต่อวันของความยาวของชูอออยด์ต่ำที่สุดทั้งสองชีวิต ทั้งนี้ ความยาวสูงสุดของเพรียงหัวหอมทุกชุดการทดลอง มีค่าใกล้เคียงกับเพรียงหัวหอมที่เติบโตในสภาพธรรมชาติ ซึ่งมีช่วงความยาวระหว่าง 8 – 12 มิลลิเมตร (Chavanich *et al.*, 2005) เพรียงหัวหอมในชุดการทดลองระดับแสง 25 และ 75 เปอร์เซ็นต์ ซึ่งมีการเพิ่มขึ้นต่อวันของจำนวนชูอออยด์สูงสุดต่อโคลนีสูงกว่าในกลุ่มของระดับแสง 0, 50 และ 100 เปอร์เซ็นต์ และเพรียงหัวหอมที่ระดับแสง 25 เปอร์เซ็นต์ มีพื้นที่ปกคลุมสูงสุดและการเพิ่มขึ้นต่อวันสูงที่สุด ดังนั้นเพรียงหัวหอมระดับแสง 25 และ 75 เปอร์เซ็นต์ จึงมีแนวโน้มการเติบโตของเพรียงหัวหอมสูงกว่าระดับแสงอื่นๆ

อายุเฉลี่ยของเพรียงหัวหอม *E. thurstoni* ทุกระดับแสงที่มีความยาวสูงสุดของชูอออยด์ จำนวนชูอออยด์ และพื้นที่ปกคลุมโคลนีอยู่ในช่วง 21 – 55 วัน และมีระยะเวลาชีวิตเฉลี่ยประมาณ 70 วัน ซึ่งใกล้เคียงกับเพรียงหัวหอมในสภาพธรรมชาติซึ่งมีช่วงอายุ 60 วัน (ปียะ โภยสิน, 2548; Chavanich *et al.*, 2005) อย่างไรก็ตาม ผลการทดลองนี้สอดคล้องกับการทดลองของ Mendola (2003) ที่พบว่าการเติบโตของเพรียงหัวหอม *E. turbinata* ที่ทำการเลี้ยงในทะเลชั่วโมงระยะเวลาโดยเฉลี่ยเท่ากับ 45 – 90 วัน ใกล้เคียงกับระยะเวลาการเลี้ยงโดยเฉลี่ยในระบบเลี้ยงบันบก (35 – 45 วัน) นอกจากนี้ยังพบว่า เพรียงหัวหอมที่เลี้ยงในระบบเลี้ยงน้ำ มีระยะเวลาชีวิตสั้นกว่าเพรียงหัวหอมในธรรมชาติ โดยเพรียงหัวหอมในธรรมชาติมีความชุกชุมสูงเพียง 3 เดือนต่อปี (Chavanich *et al.*, 2005) จึงทำให้เป็นประโยชน์ในการเก็บเกี่ยวเพรียงหัวหอมในระบบเลี้ยง นั่นคือสามารถเก็บเกี่ยวเพรียงหัวหอมได้เป็นจำนวนมากครั้งที่มากขึ้นในรอบปี นอกจากนี้เพรียงหัวหอมยังสามารถสร้างชูอออยด์ใหม่มาทดแทนได้เร็วอีกด้วย

5.2 ผลของความเค็มต่อการเติบโตของเพรียงหัวหوم *E. thurstoni*

ปัจจัยความเค็มสามารถส่งผลต่อตัวอ่อนและระยะวัยรุ่นของเพรียงหัวหอม ในระดับการลงเกาของเพรียงหัวหอมและการ metamorphosis จากการศึกษาของ Vazquez and Young (2000) พบว่าที่ความเค็มต่ำ เพรียงหัวหอม *Eudistoma olivaceum* และ *Eudistoma hepaticum* สามารถลงเกาได้ช้า ในขณะที่ *Ecteinascidia turbinata* สามารถลงเกาได้เร็ว แต่ไม่สามารถ metamorphosis ได้ ส่วนกระบวนการ metamorphosis นั้น *Eudistoma olivaceum* สามารถ metamorphosis ได้ที่ความเค็ม 26 พีโอดซู และ *Eudistoma hepaticum* สามารถ metamorphosis ได้ที่ความเค็ม 24 พีโอดซู และ *Ecteinascidia turbinata* สามารถ metamorphosis ได้สำเร็จที่ความเค็ม 22 พีโอดซู แต่หากความเค็มต่ำกว่า 22 พีโอดซู ตัวอ่อนเพรียงหัวหอมทั้งสามชนิดมีอัตราการตาย 100 เปอร์เซ็นต์ (Vazquez and Young, 2000) นอกจากนี้เพรียงหัวหอมสามารถเติบโตและรุกเข้าไปในบริเวณ aesthuรีชั่งมีปริมาณและการเปลี่ยนแปลงธาตุอาหารสูง (Locke et al, 2007) เช่นเดียวกัน เพรียงหัวหอม *E. turbinata* ที่สามารถอาศัยอยู่ในพื้นที่ที่มีการเปลี่ยนแปลงความเค็มสูง (Vazquez and Young, 2000)

ในการทำงานเดียวกันกับปัจจัยแสงจากการทดลอง พบว่าไม่มีความแตกต่างกันอย่างมีนัยสำคัญระหว่างชุดการทดลองในระดับความเค็มต่างๆ อย่างไรก็ตาม ในวงชีวิตที่หนึ่งเพรียงหัวหอมที่เลี้ยงในระดับความเค็ม 26 พีโอดซู มีแนวโน้มที่มีความยาวสูงสุดของชูออยค์สูงที่สุด ในขณะที่ชีวิตที่สองเพรียงหัวหอมมีแนวโน้มที่มีความยาวสูงสุดของชูออยค์ต่ำที่สุด ซึ่งผูกพันกับเพรียงหัวหอมที่เลี้ยงในระดับความเค็ม 38 พีโอดซู ในวงชีวิตที่หนึ่งมีแนวโน้มของความยาวสูงสุดของชูออยค์ต่ำที่สุด ส่วนในวงชีวิตที่สองเพรียงหัวหอมมีแนวโน้มที่มีความยาวสูงสุดของชูออยค์สูงที่สุด ส่วนจำนวนชูออยค์สูงสุดต่อโคลอนของเพรียงหัวหอม *E. thurstoni* มีแนวโน้มเพิ่มขึ้นตามระดับความเค็มที่เพิ่มมากขึ้น ยกเว้นที่ระดับความเค็ม 35 พีโอดซู โดยในวงชีวิตที่หนึ่งและสองเพรียงหัวหอมที่เลี้ยงในระดับความเค็ม 38 พีโอดซู มีการเพิ่มขึ้นต่อวันของจำนวนชูออยค์สูงสุดต่อโคลอนสูงที่สุดเมื่อเปรียบเทียบกับชุดทดลองอื่น ในการตั้งค่าข้าม อัตราการเปลี่ยนแปลงจำนวนชูออยค์สูงสุดต่อโคลอนนี้ระหว่างสองวงชีวิตมีแนวโน้มเปลี่ยนแปลงไปในทางตรงกันข้ามเมื่อระดับความเค็มเพิ่มมากขึ้น

ในวงชีวิตที่หนึ่งและสอง การเพิ่มขึ้นต่อวันของพื้นที่ปักคลุมโคลอนสูงสุดของเพรียงหัวหอมที่เลี้ยงในระดับความเค็ม 38 พีโอดซู มีค่าต่ำที่สุดเมื่อเทียบกับระดับความเค็มอื่น ทั้งนี้ ในวงชีวิตที่สองการเพิ่มขึ้นต่อวันของพื้นที่ปักคลุมโคลอนสูงสุด มีแนวโน้มลดลงเมื่อเปรียบเทียบกับวงชีวิตที่หนึ่งของทุกชุดการทดลอง อย่างไรก็ตาม เมื่อเปรียบเทียบอัตราการเปลี่ยนแปลงพื้นที่ปักคลุม พบว่า อัตราการเปลี่ยนแปลงพื้นที่ปักคลุมสูงสุดต่อโคลอนของกลุ่มที่เลี้ยงในระดับความเค็ม 35 พีโอดซู มีแนวโน้มเปลี่ยนแปลงไปในทางบวกเพิ่งกลุ่มเดียว ในขณะที่กลุ่มอื่นมีการเปลี่ยนแปลงของ

พื้นที่ปักกลูมสูงสุดต่อโโคโลนีลดลงจากวงชีวิตที่หนึ่ง ดังนั้นเพรียงหัวหомที่เลี้ยงในระดับความเค็มสูง (35 และ 38 พีเอสью) จึงมีแนวโน้มการเติบโตของเพรียงหัวหอมสูงกว่าระดับอื่นๆ

5.3 ผลกระทบและความเค็มต่อการผลิตสาร Ectenascidins ของเพรียงหัวหอม *E. thurstoni*

เพรียงหัวหอม *E. thurstoni* สามารถผลิตสาร Ectenascidins ได้สูงชนิดคือ ET 770 และ ET 786 (นกรรณพ บุญถานอน และ ปิติ จันทร์วรชิต, 2544; Charupant, 2000; Suwanborirux *et al.*, 2002) ในการวิเคราะห์ปริมาณสาร Ectenascidins ของการศึกษาครั้งนี้ ปริมาณสาร ET 786 ที่วิเคราะห์ได้มีปริมาณน้อยมากจนไม่สามารถตรวจวัดได้ แต่อย่างไรก็ตามจากการศึกษาครั้งนี้ สามารถวิเคราะห์สาร ET 770 ได้ในปริมาณสูง สำหรับเพรียงหัวหอม *E. thurstoni* ในธรรมชาตินกรรณพ บุญถานอน และ ปิติ จันทร์วรชิต (2544) สามารถสกัดแยกสาร ET 770 เมื่อเทียบกับน้ำหนักเปียกเพรียงหัวหอมได้สูงในเดือนสิงหาคม ($2.72 \times 10^{-3} \%$) ในขณะที่เดือนเมษายนเพรียงหัวหอมผลิตสาร ET 770 ได้น้อยที่สุดเท่ากับ ($0.88 \times 10^{-3} \%$) แต่อย่างไรก็ตามผลการศึกษาในหัวข้อ 4.3.1 ผลผลิตสาร ET 770 จากเพรียงหัวหอมในระบบเลี้ยงน้ำ จากการทดสอบทางสถิติพบว่าไม่มีความแตกต่างกันอย่างมีนัยสำคัญในทุกชุดการทดลอง

ปริมาณผลผลิตสาร ET 770 ที่ได้จากเพรียงหัวหอมที่เลี้ยงในระดับความเค็มต่างๆ ไม่มีความแตกต่างทางสถิติ แต่เมื่อแบ่งกลุ่มของเพรียงหัวหอมตามปริมาณการผลิตสาร ET 770 ออกเป็น 2 กลุ่ม ได้แก่ กลุ่มเพรียงหัวหอมที่เลี้ยงในระดับความเค็มต่ำ (26, 29 และ 32 พีเอสью) และ กลุ่มที่เลี้ยงในระดับความเค็มสูง (35 และ 38 พีเอสью) จะพบความแตกต่างของความสามารถในการผลิตสาร ET 770 โดยเพรียงหัวหอมในกลุ่มแรกสามารถผลิตสาร ET 770 ได้ปริมาณสูง และใกล้เคียงกับที่เพรียงหัวหอมในธรรมชาติผลิต และไม่มีความแตกต่างทางสถิติ ส่วนเพรียงหัวหอมที่เลี้ยงในระดับความเค็มสูง (35 และ 38 พีเอสью) สามารถผลิตสาร ET 770 ได้ปริมาณน้อยกว่าเพรียงหัวหอมในธรรมชาติอย่างมีนัยสำคัญ

นอกจากนี้เมื่อพิจารณา ผลผลิตเพรียงหัวหอม (น้ำหนักแห้ง) และผลผลิตสาร ET 770 ที่ได้จากการเลี้ยงในระดับแสงต่างๆ (ภาคผนวก ข-1 และ ข-2) พบว่า เพรียงหัวหอมที่เลี้ยงในระดับแสง 25 เปอร์เซ็นต์ มีผลผลิตเพรียงหัวหอมน้อยแต่สามารถให้สาร ET 770 ได้ปริมาณสูงที่สุด ส่วนเพรียงหัวหอมที่เลี้ยงในระดับความเค็มต่างๆ นั้น พบว่า กลุ่มที่ได้รับความเค็มสูง (35 และ 38 พีเอสью) มีผลผลิตเพรียงหัวหอมสูง แต่สามารถผลิตสาร ET 770 ได้ใกล้เคียงกับกลุ่มที่ได้รับความเค็มต่ำ (26, 29 และ 32 พีเอสью) ในทางตรงกันข้าม กลุ่มที่ได้รับความเค็มต่ำนี้จะมีผลผลิตเพรียงหัวหอมน้อยแต่สามารถผลิตสาร ET 770 ได้ในปริมาณสูง อย่างไรก็ตามเมื่อเปรียบเทียบกับกลุ่มเพรียงหัวหอม

ที่ได้รับความคุ้มครอง (26-29 และ 32 พีอีสูญ) พบว่าเพรียงหัวหอมที่เลี้ยงในระดับความคุ้มครอง 32 พีอีสูญ สามารถผลิตสาร ET 770 ได้สูงที่สุด (ภาคผนวก ข-3 และ ข-4)

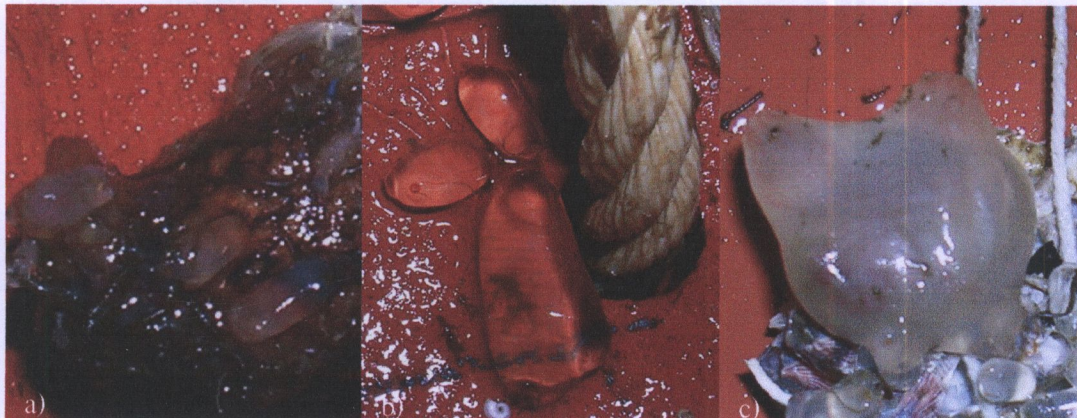
เพรียงหัวหอมจากการศึกษาครั้งนี้สามารถเติบโตและผลิตสาร ET 770 ได้ปริมาณใกล้เคียงกับเพรียงหัวหอมในธรรมชาติ รวมทั้งใช้ระยะเวลาในการเลี้ยงใกล้เคียงกัน เช่นเดียวกับการทดลองของ Carballo *et al* (2000) ที่นำชิ้นส่วนโคลโนนี่เพรียงหัวหอม *E. turbinata* ที่แยกออกจากโคลโนนี่และเกาเตติดบนเชือกและพลาสติก เพรียงหัวหอมสามารถเติบโตได้และสามารถผลิตสารออกฤทธิ์ทางชีวภาพได้เช่นกัน นอกจากนี้การทดลองของ Duckworth and Battershill (2003) พบว่าฟองน้ำ *Latrunculia wellingtonensis* และ *Polymastia croceus* ที่ได้จากการเพาะเลี้ยงสามารถผลิตสารได้ปริมาณใกล้เคียงหรือมากกว่าที่ฟองน้ำในธรรมชาติผลิต

เพรียงหัวหอมสามารถเติบโตได้ทุกชุดการทดลองในระดับแสงและระดับความคุ้มครอง โดยไม่มีความแตกต่างทางสถิติ อาจเนื่องมาจากว่า เพรียงหัวหอมมีลักษณะเป็นสัตว์ไม่มีกระดูกสันหลังชนิด fouling organism ซึ่งสามารถเติบโตได้ในสภาพแวดล้อมต่างๆ หรือสามารถทนต่อการเปลี่ยนแปลงอุณหภูมิ ความคุ้มครอง และความชื้นที่ช่วงกว้าง ทั้งเพรียงหัวหอมที่เป็นแบบตัวเดียว หรือเพรียงหัวหอมที่อาศัยอยู่ร่วมกันเป็นโคลโนนี่ (Lambert, 2002) นอกจากนี้ยังพบว่า เพรียงหัวหอมบางชนิดมีแนวโน้มที่จะแพร่กระจายไปยังที่อื่นๆ ได้ด้วยความสามารถกล้ายเป็นสิ่งมีชีวิตชนิดพันธุ์ต่างถิ่น (invasive species) ที่ก่อความเสียหายให้กับระบบนิเวศที่ถูกกรุกราน ยกตัวอย่างเช่น เพรียงหัวหอมใน Family Perophoridae สามารถทนความคุ้มครอง และอุณหภูมิได้กว้าง สามารถเลือกลงเกาะได้บนพื้นผิวหลากหลาย ทั้งที่เป็นพื้นผิวที่ไม่มีชีวิต และพื้นผิวที่เป็นสิ่งมีชีวิต (Goodbody, 2004) หรือเพรียงหัวหอม *Didemnum sp.* ซึ่งทนทานต่อสภาพแวดล้อมได้หลากหลาย มีการเลือกลงเกาะบนพื้นผิวแข็ง สามารถเติบโตได้อย่างรวดเร็ว สามารถทนความอุณหภูมิได้เป็นช่วงกว้าง รวมทั้งมีผู้ต่อต้านอย (Lambert, 2007, Gittenberger, 2007, Valentine *et al*, 2007, Bullard *et al*, 2007) ซึ่งจากการศึกษาในครั้งนี้พบว่าเพรียงหัวหอม *E. thurstoni* สามารถเติบโตโดยภาวะติดอยู่บนเพรียงหัวหอมตัวเดียวชนิดอื่นที่เข้ามาในระหว่างการเลี้ยง (รูปที่ 5-1a) รวมทั้งภาวะติดบนแผ่นกระเบื้องที่ใช้ทำการศึกษาได้ (รูปที่ 5-1b)

จำนวนชูออยด์ต่อโคลโนนีของเพรียงหัวหอมในวงศ์ชีวิตที่สองลดลงอย่างมีนัยสำคัญ เมื่อเปรียบเทียบกับรอบวงศ์ชีวิตที่หนึ่ง อาจเนื่องมาจากการที่ภายในระยะเวลาที่กำหนดให้ เพรียงหัวหอมบางโคลโนนีมีวงศ์ชีวิตนานกว่าโคลโนนีอื่น จึงไม่ปรากฏว่ามีวงศ์ชีวิตที่สอง ทำให้จำนวนชูออยด์ต่อโคลโนนีของเพรียงหัวหอมลดลงจากวงศ์ชีวิตที่หนึ่งในทุกชุดการทดลอง และอาจเนื่องมาจากการเพรียงหัวหอมที่นำมาใช้ในการทดลอง เป็นเพรียงหัวหอมที่ภาวะติดอยู่กับเพรียงหินเป็นส่วนใหญ่และมี fouling organism อื่นๆ เช่น เพรียงหัวหอมชนิดอื่น โดยเฉพาะเพรียงหัวหอมที่ดำรงชีพเป็นตัวเดียว (solitary tunicate) หรือฟองน้ำ เกาะติดมาด้วย ดังนั้นมีอัตราการตายของ

เพรียงหินหรือ fouling organism อื่นๆ ที่ติดอยู่บนเพรียงหินทำให้พื้นผิวเปลี่ยนแปลงสภาพ จึงส่งผลต่อการเติบโตของโคลนีเพรียงหัวหอนในรอบวงชีวิตที่สอง จากการศึกษาของ Duckworth *et al.* (2004) การเพาะเลี้ยงโคลนีเพรียงหัวหอน *E. turbinata* โดยนำเพรียงหัวหอนที่ปราศจากพื้นผิว หรือสิ่งເກະຕິດອື່ນມາเลี้ยง โดยให้ເກະກັບຕາຫຍ່ໄນລອນ พນວ່າโคลนีเพรียงหัวหอนสามารถเติบโตและເກະຕິດກັບพื้นผิวທີ່ກຳນົດໃຫ້ໄດ້ຄົງວ່າ

การเติบโตในรอบวงชีวิตที่สองของเพรียงหัวหอน *E. thurstoni* นີ້ມີພຣີຍ່ງຫຼວກຂອງຕົວເລີ່ມຈົນດື່ນທີ່ເຂົ້າມາແລະສາມາດແຍ່ງພື້ນທີ່ການເຕີບໂຕຂອງ *E. thurstoni* ໄດ້ຄົງວ່າ (ຮູບທີ່ 5-1c) ຮຸ່ມທີ່ມີການແຍ່ງການຮົອງກິນອາຫານທີ່ໃຫ້ແກ່ *E. thurstoni* ຈຶ່ງທຳໃຫ້ *E. thurstoni* ບາງໂຄໂລນີອາຈາໄດ້ຮັບອາຫານໄໝເພິ່ງພອ ຈຶ່ງຈາກສ່າງຜົດຕ່າງໆທີ່ໃຫ້ແກ່ *E. thurstoni* ຈຶ່ງທຳໃຫ້ *E. thurstoni* ບາງໂຄໂລນີອາຈາໄດ້ຮັບອາຫານໄໝເພິ່ງພອ ຈຶ່ງຈາກສ່າງຜົດຕ່າງໆທີ່ໃຫ້ແກ່ *E. thurstoni* ຈຶ່ງທຳໃຫ້ *E. thurstoni* ບາງໂຄໂລນີອາຈາໄດ້ຮັບອາຫານໄໝເພິ່ງພອ (Mendola, 2003) ນອກຈາກນີ້ Carballo *et al.* (2000) ພົນວ່າພຣີຍ່ງຫຼວກຂອງ *E. turbinata* ມີອັຕຣາກາເຕີບໂຕສັນພົກຮ້າໃນໂຄໂລນີຂາດເລີກມາກກວ່າໂຄໂລນີຂາດໃຫຍ່

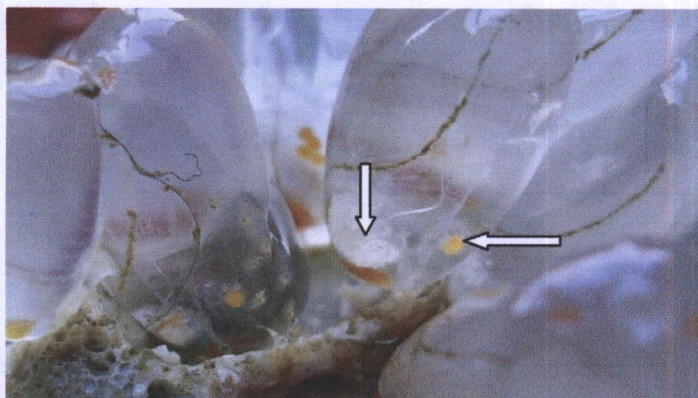


ຮູບທີ່ 5-1. ພຣີຍ່ງຫຼວກຂອງຕົວເລີ່ມຈົນພື້ນຜົວເລີ່ມກັບ *E. thurstoni*

- a) ພຣີຍ່ງຫຼວກຂອງ *E. thurstoni* ເຕີບໂຕໂດຍເກະຕິບນພຣີຍ່ງຫຼວກຂອງແບບຕົວເລີ່ມຈົນດື່ນ
- b) ພຣີຍ່ງຫຼວກຂອງ *E. thurstoni* ທີ່ສາມາດເກະຕິບນແຜ່ນກະບົງທີ່ໃຊ້ໃນການສຶກສາ
- c) ພຣີຍ່ງຫຼວກຂອງຕົວເລີ່ມຈົນທີ່ເຕີບໂຕບັນພື້ນຜົວເລີ່ມກັບພຣີຍ່ງຫຼວກຂອງ *E. thurstoni*

นอกจากนี้อาหารที่ใช้ในการศึกษาคือ *Chaetoceros* sp. อาจมีคุณค่าทางโภชนาการไม่เพียงพอต่อการเติบโตและการผลิตสาร ET 770 จากการศึกษาของ Duckworth *et al* (2004) พบว่าอาหารเลี้ยงเพรียงหัวหอม *E. turbinata* ที่เป็นแพลงก์ตอนพืชต่างชนิดกันทำให้เพรียงหัวหอมมีการเติบโตต่างกันนั้น เพรียงหัวหอมที่เลี้ยงด้วยแพลงก์ตอนพืช *Chaetoceros gracilis* ร่วมกับ *Isocrysia galbana* มีการเติบโตสูงที่สุดและมีจำนวนซูออยด์ต่อโคโลนีของเพรียงหัวหอมมากที่สุดเมื่อเพิ่มระดับความหนาแน่นของอาหารให้มากขึ้น ซึ่งส่งผลต่อการผลิตสาร ET อย่างมีนัยสำคัญ

นอกจากเพรียงหัวหอมสามารถเติบโตได้ดีในทุกระดับแสงและความเค็ม และสามารถสืบพันธุ์แบบไม่อาศัยเพศโดยการแตกหน่อภายในถังเลี้ยงแล้ว ยังพบว่าเพรียงหัวหอมสามารถสร้างเซลล์สืบพันธุ์ได้ ซึ่งสามารถเห็นได้และถุงน้ำเชื้อภายในซูออยด์ได้อย่างชัดเจนดังแสดงในรูปที่ 5-2 แต่จากระยะเวลาการเลี้ยงทั้งหมดไม่พบตัวอ่อนที่สามารถคงสภาพและเติบโตได้ในถังเลี้ยง จากการศึกษาของ Mendola (2003) พบว่าเพรียงหัวหอม *E. turbinata* ในระบบเลี้ยงบันบก สามารถสร้างเซลล์สืบพันธุ์ได้เช่นกัน แต่จะใช้ระยะเวลานานกว่าเพรียงหัวหอมที่เลี้ยงในทะเล



รูปที่ 5-2. เซลล์สืบพันธุ์ของเพรียงหัวหอมที่สร้างขึ้นในระหว่างการทดลองเลี้ยง

สรุปผลการศึกษา

จากการศึกษาพบว่าระดับแสงที่กำหนดให้ไม่มีผลต่อการเติบโตและการผลิตสาร ET 770 ของเพรียงหัวหอม *E. thurstoni* แต่เพรียงหัวหอมมีแนวโน้มที่จะเติบโตได้ดีที่ระดับแสง 25 และ 75 เปอร์เซ็นต์ และผลิตสาร ET 770 ได้สูงที่สุดที่ระดับแสง 25, 75 และ 100 เปอร์เซ็นต์ ส่วนเพรียงหัวหอมที่เลี้ยงในระดับความเค็มต่างๆ กันนั้น พบร่วมระดับความเค็มที่กำหนดให้ไม่มีผลต่อการเติบโตของเพรียงหัวหอม แต่เพรียงหัวหอมมีแนวโน้มเติบโตได้ดีที่ระดับความเค็มสูง 35 และ 38 พีออยู อย่างไรก็ตามระดับความเค็มที่กำหนดให้มีผลต่อการผลิตสาร ET 770 ของเพรียงหัวหอม โดยเพรียงหัวหอมสามารถผลิตสาร ET 770 ได้สูงในช่วงความเค็มต่ำ (26, 29 และ 32 พีออยู) ซึ่งใกล้เคียงกับปริมาณสาร ET 770 ที่เพรียงหัวหอมผลิตได้ในธรรมชาติ จึงทำให้มีความเป็นไปได้สูงที่จะนำเพรียงหัวหอม *E. thurstoni* มาพัฒนาการเลี้ยงในระบบเลี้ยงเพื่อผลผลิตสาร ET 770 โดยข้อดีของการเลี้ยงในระบบเลี้ยงคือสามารถควบคุมปัจจัยต่างๆ ได้มากกว่าในทะเล รวมทั้งลดต้นทุนที่ต้องใช้สำหรับในการลงทะเล นอกจากนี้ จากการศึกษาในครั้งนี้พบว่า เพรียงหัวหอมในระบบเลี้ยงมีวงชีวิตที่สั้นกว่าในทะเล และใช้เวลาประมาณ 1 เดือน ในการที่จะเติบโตขึ้นมาใหม่ในวงชีวิตต่อไป ในขณะที่ในทะเลจะใช้เวลาประมาณ 3 เดือน ในการที่ซูออยด์จะเติบโตขึ้นมาใหม่ในวงชีวิตต่อไป

ข้อเสนอแนะ

เนื่องจากการศึกษารั้งนี้ เป็นการศึกษาภายในระบบเลี้ยงบนบก ซึ่งมีข้อจำกัดในปัจจัยด้านอาหาร จึงควรศึกษาเพิ่มเติมด้านอาหารต่อการเติบโตและการผลิตสาร ET 770 นอกจากนี้การเก็บตัวอย่างเพรียงหัวหอมมาศึกษาควรเก็บเอาเฉพาะส่วนที่เป็นโคลอนีที่ไม่มีพื้นผิวเชื่อมต่ออยู่ จะช่วยลดความเสียหายที่เกิดกับโคลอนีเพรียงหัวหอม เมื่อเกิดการเปลี่ยนแปลงสภาพพื้นผิวที่เพรียงหัวหอมใช้ชีดเกาะ และยังช่วยลดการแก่งแย่งพื้นที่เติบโตจาก fouling organism อีกด้วย ซึ่งในเพรียงหัวหอมและ fouling organism หลายชนิดสามารถเติบโตได้คืนพื้นผิวที่เป็นวัตถุดินที่มนุษย์สร้างขึ้น เช่น แผ่นอลูมิเนียม Styrofoam PVC หรือยาง ได้ดีกว่าพื้นผิวในธรรมชาติ เช่น เปลือกหอย หินหรือไม้ (Tyrell and Byers, 2007, Locke et al, 2007)

นอกจากศึกษาการควบคุมดูแลสภาพแวดล้อมในระบบเลี้ยง และปัจจัยสำคัญที่จะส่งผลต่อการเติบโตและการผลิตสาร ET 770 ของเพรียงหัวหอมแล้ว การศึกษาเพิ่มเติมโดยนำปัจจัยแสงและความเค็มที่เพรียงหัวหอมสามารถเติบโตได้ดี และมีผลผลิตสาร ET 770 สูงมาทดลองเลี้ยง เพรียงหัวหอมร่วมกัน หรืออาจจะนำเพรียงหัวหอมมาทดลองให้ระดับแสงและระดับความเค็มที่

เพรียงหัวหอมมีการเติบโตคืบมากคล่องเลี้ยง จังกระทั้งเมื่อเพรียงหัวหอมมีการเติบโตสูงสุดจึงกระตุ้นการผลิตสาร ET 770 โดยเปลี่ยนระดับแสงและระดับความชื้นที่เพรียงหัวหอมสามารถผลิตสาร ET 770 ได้ปริมาณสูง และควรศึกษาปัจจัยอื่นๆ ที่มีผลต่อการเพาะเลี้ยงเพรียงหัวหอมเพื่อการผลิตสาร ET 770 รวมทั้งขั้นตอนการเก็บเกี่ยวเพรียงหัวหอมซึ่งสามารถทำได้ทั้งการเก็บเกี่ยวเพรียงหัวหอมครั้งเดียว หรือเก็บเป็นช่วงเวลา จากการศึกษาของ Duckworth and Battershill (2003) ซึ่งเก็บเกี่ยวฟองน้ำในระบบเลี้ยงโดยแบ่งเก็บฟองน้ำบางส่วน พบว่าฟองน้ำสามารถเติบโตได้ใกล้เคียง หรือคิดว่าฟองน้ำที่ไม่ผ่านการเก็บเกี่ยว ซึ่งเป็นกลไกในการเพิ่มอัตราอุดโดยการเพิ่มนวลดีดีภาพของฟองน้ำเพื่อต้านทานสภาพ เช่น การถูกผู้ล่ากิน เชื้อโรค หรือความเสียหายที่เกิดจากพวยๆ ด้วยและการเก็บฟองน้ำเป็นบางส่วนซึ่งไม่ทำให้ฟองน้ำตายมากเท่านี้อีกด้วย นอกจากนี้การศึกษาครั้งนี้ยังพบว่า การเก็บเกี่ยวเพรียงหัวหอมเฉพาะส่วนที่เป็นชูอออยด์ โดยยังคง stolon ไว้บนพื้นผิวที่เพรียงหัวหอมเกาะติด จะทำให้เพรียงหัวหอมสามารถสร้างชูอออยด์จนเป็นโคลoniใหม่มาทดแทนชูอออยด์ที่ถูกเก็บเกี่ยวไปได้

รายการอ้างอิง

ภาษาไทย

นกรรัตน์ บุญถานอม และ ปิติ จันทร์ขอ. 2544. การวิเคราะห์ปริมาณสารต้านมะเร็ง ecteinascidin alkaloids จากเพรียงหัวหอย *Ecteinascidia* sp. ของไทย. ปริญญา ni พนธ., ปริญญา เกสัชศาสตร์บัณฑิต, ภาควิชาเกสัชเวท, คณะเภสัชศาสตร์, จุฬาลงกรณ์มหาวิทยาลัย.

ปีะ โภยสิน. 2548. ชีววิทยาของเพรียงหัวหอย *Ecteinascidia thurstoni* Herdman, 1891 เพื่อการเพาะเลี้ยง. วิทยานิพนธ์ปริญญามหาบัณฑิต, ภาควิชาวิทยาศาสตร์ทางทะเล, บัณฑิตวิทยาลัย, จุฬาลงกรณ์มหาวิทยาลัย

ภาษาอังกฤษ

Anderson, D. T., White, B. M. and Egan, E. A. 1975. The larval development and metamorphosis of the ascidians *Pyura praeputialis* (Heller) and *Pyura pachydermatina* (Herdman) (Pleurogona, family Pyuridae). **Proceedings of the Linnean Society of New South Wales** 100: 205–217.

Bates, W. R. 2005. Environment factors affecting reproduction and development in ascidians and other protostomes. **Canadian Journal of Zoology** 83: 51–56.

Bullard, S. G., Lambert, G., Carman, M. R. Byrnes, J., Whitlatch, R. B., Ruiz, Z., Miller, R. J., Harris, L., Valentine, P. C., Collie, J. S., Pederson, J., McNaught, D. C., Cohen, A. N., Asch, R. G., Dijkstra, J. and Heinonen, K. 2007. The colonial ascidian *Didemnum* sp. A: Current distribution, basic biology and potential threat to marine communities of the northeast and west coasts of North America. **Journal of Experimental Marine Biology and Ecology** 342: 99–108.

Canonico, P. G., Pannier, W. L., Huggins, J. W. and Rinehart, K. L. 1982. Inhibition of RNA viruses *in vitro* and in rift Valley fever-infected mice by didemnins A and B. **Antimicrobial Agents and Chemotherapy** 22 : 696–697.

- Carballo, J. L., Naranjo, S., Kukurtz, B., Calle, F. L. and Zanuy, A. H. 2000. Production of *Ecteinascidia turbinata* (Asciidae: Perophoridae) for Obtaining Anticancer Compounds. **Journal of the World Aquaculture Society** 31: 481-490. (Abstract only)
- Charupant, K. 2000. **Chemical constituents of a Thai *Ecteinascidia tunicate*.** Master's Thesis, Department of Pharmacognosy, Faculty of Pharmaceutical Sciences, Chulalongkorn University.
- Chavanich, S., Koeysin, P., Viyakarn, V., Piyatiratitivorakul, S., Menasveta, P., Suwanborirux, K and Poovachiranon, S. 2005. A tunicate from Thai coral reef: a potential source of new anticancer compounds. **Coral Reefs** 24: 621.
- Cloney, R. A. 1990. Larva tunic and the function of the test cells in ascidians. **Acta Zoologica** 71: 9–151.
- Degnan, B. M., Rohde, P. R. and Lavin, M. F. 1996. Normal development and embryonic gene activity of the ascidian *Herdmania momus*. **Marine and Freshwater Research** 47: 543–551.
- Donia, M. and Hamann, M. T. 2003. Marine natural products and their potential applications as anti-infective agents. **Lancet Infectious Diseases** 3: 338–348.
- Duckworth, A. R., Battershill, C. N. and Bergquist, P. R. 1977. Influence of explant procedures and environmental factor on culture success of three sponges. **Aquaculture** 156: 251–267.
- Duckworth, A. and Battershill, C. 2003. Sponge aquaculture for the production of biologically active metabolites: the influence of farming protocols and environment. **Aquaculture** 221: 311-329.
- Duckworth, A. R., Samples, G. A, Wright, A. E. and Pomponi, S. A. 2004. *In vitro* culture of the ascidian *Ecteinascidia turbinata* to supply the antitumor compounds ecteinascidins. **Aquaculture** 241: 427–439.
- Duggins, D. O., Eckman J. E., and Sewell A. T. 1990. Ecology of understory kelp environments. II. Effects of kelps on recruitment of benthic invertebrates. **Journal of Experimental Marine Biology and Ecology** 143 : 27–45.

- Forward, R. B. Jr., Welch, J. M. and Young, C. M. 2000. Light induced larval release of a colonial ascidian. **Journal of Experimental Marine Biology and Ecology** 248: 225–238.
- Gittenberger, A. 2007. Recent population expansion of non-native ascidians in The Netherlands. **Journal of Experimental Marine Biology and Ecology** 342: 122-126.
- Glasby, T. M. 1999. Effects of shading on subtidal epibiotic assemblages. **Journal of Experimental Marine Biology and Ecology** 234: 275–290.
- Goodbody, I. 2004. Diversity and distribution of Ascidians (Tunicata) at twin cay, Belize. **Atoll Research Bulletin** 524: 1-22.
- Hart, J. B., Lill, R. E., Hickford, S. J. H., Blunt, J. W. and Munro, M. H. G. 2000. The halichondrins: chemistry, biology, supply and delivery. **Drugs from the Sea** 134-153.
- Hendriks, H. R., Fiebig, H. H., Giavazzi, R., Langdon, S. P., Jimeno, J. M. and Faircloth, G. T. 1999. High antitumor activity of ET 743 against human tumor xenografts from melanoma, non-small-cell Lung and ovarian cancer. **Annals of Oncology** 10 : 1233–1240.
- Hickman, C. P. 1973. **Biology of the Invertebrates**. 2nd ed. Saint Louis: The C. V. Mosby Company.
- Hoppe, W. F. 1988. Growth, regeneration and predation in three species of large coral reef sponges. **Marine Ecology Progress Series** 50: 117–125.
- Kaandorp, J. A. and de Kluijver, M. J. 1992. Verification of fractal growth medels of the sponge *Haliclona oculata* (Porifera) with transplantation experiments. **Marine Biology** 113: 133–143.
- Kennelly, S. J. 1989. Effects of kelp canopies on understorey species due to shade and scour. **Journal of Experimental Marine Biology and Ecology** 50: 215–224.
- Kerr, R. G. and Kerr, S. S. 1999. Marine natural products as therapeutic agents. **Expert Opinion on Therapeutic Patents** 9: 1207–1222.
- Lambert, C. C. 2005. Historical introduction, overview, and reproductive biology of the protochordates. **Canadian Journal of Zoology** 83: 1–7.

- Lambert, G. 2002. Nonindigenous Ascidians in Tropical Waters. *Pacific Science*. 56: 291-298.
- Lambert, G. 2007. Invasive sea squirts: A growing global problem. **Journal of Experimental Marine Biology and Ecology** 342: 3-4.
- Locke, A. Hanson, J. M., Ellis, K. M., Thomson, J. and Rochette, R. 2007. Invasion of the southern Gulf of St. Lawrence by the clubbed tunicate (*Styela clava* Herdman): Potential mechanisms of invasions of Prince Edward Island estuaries. **Journal of Experimental Marine Biology and Ecology** 342: 69-77.
- Mendola, D. 2000. Aquacultural production of bryostatin I and ecteinascidin 743. **Drugs from the Sea** 120-133.
- Mendola, D. 2003. Aquaculture of three phyla of marine invertebrates to yield bioactive metabolites: process developments and economics. **Biomolecular Engineering** 20: 441-458.
- Page, M. J., Northcote, P. T., Webb, V. L., Mackey, S. and Handley, S. J. 2005. Aquaculture trials for the production of biologically active metabolites in the New Zealand sponge *Mycale hentscheli* (Demospongiae : Poecilosclrida). **Aquaculture** 250: 256–269.
- Proksch, P., Edrada-Ebel, R. A. and Ebel, R. 2002. Drugs from the sea – Current status and microbiological implications. **Applied Microbiology and Biotechnology** 59: 125–134.
- Proksch, P., Edrada-Ebel, R. A. and Ebel, R. 2003. Drugs from the Sea – Opportunities and obstacles. **Marine Drugs** 1: 5–17.
- Rinehart, K. L., Gloer, J. B., Hughes, R. G., Renis, H. E., McGovren, J. P., Swynenberg, E. B., Stringfellow, D. A., Kuentzel, S. L., and Li, L. H. 1981. Didemnins: Antiviral and antitumor depsipeptides from a Caribbean tunicate. **Science** 212: 933–935.
- Rinehart, K. L., Holt, T. G., Fregeau, N. L., Keifer, P. A., Wilson, G. R., Perun Jr., T. J., Sakai, R., Thompson, A. G., Stroh, J. G., Shield, L. S., Seigler, D. S., Li, L. H., Martin, D. G., Grimmelikhuijzen, J. P. G. and Gade, G. 1990. Bioactive compounds from aquatic and terrestrial sources. **Journal of Natural Products** 53(4): 771–792.
- Ruppert, E. E. and Barnes, R. D. 1994. **Invertebrate Zoology**. 6th Edition. U.S.A.: Saunders College Publishing.

- G. R. and Heid, R. M. 1996. Structure-Activity relationships of didemnins. **Journal of Medicinal Chemistry** 39: 2819–2834.
- Scotto, K. W. 2002. ET-743: A novel marine-derived anti-tumor agent. **Anti-Cancer Drugs** 13: 3–6.
- Suwanborirux, K., Charupant, K., Amnuoypol, S., Pummangura, S., Kubo, A. and Saito, N. 2002. Ecteinascidins 770 and 786 from the Thai tunicate *Ecteinascidia thurstoni*. **Journal of Natural Products** 65: 935–937.
- Svane, I. and Dolmer, P. 1995. Perception of light at settlement: A comparative study of two invertebrate larvae, a scyphozoan planula and a simple ascidian tadpole. **Journal of Experimental Marine Biology and Ecology** 187: 51–61.
- Thiyagarajan, V. and Qian, P. 2003. Effect of temperature, salinity and delayed attachment on development of the solitary ascidian *Styela plicata* (Lesueur). **Journal of Experimental Marine Biology and Ecology** 290: 133–146.
- Tyrrell, M. C. and Byers, J. E. 2007. Do artificial substrates favor nonindigenous fouling species over native species?. **Journal of Experimental Marine Biology and Ecology** 342: 54–60.
- Valentine, P. C., Carman, M. R., Blackwood, D. S. and Heffron, E. 2007. Ecological observations on the colonial ascidian *Didemnum* sp. In a New England tide pool habitat. **Journal of Experimental Marine Biology and Ecology** 342: 109–121.
- Vázquez, E. and Young, C. M. 2000. Effects of low salinity on metamorphosis in estuarine colonial ascidians. **Invertebrate Biology** 119: 433–444. (Abstract only)
- Wright, A. E., Folreo, A. D., Gunawardana, P. G., Gunasekera, P. S., Koehn, E. F. and McConnell, J. O. 1990. Antitumor tetrahydroisoquinoline alkaloids from the colonial ascidian *Ecteinascidia turbinata*. **Journal of Organic Chemistry** 55: 4508–4512.
- Young, C. M. and Vazquez, E. 1995. Morphology, larval development, and distribution of *Bathyperra seminalba* n. sp. (Asciidae: Pyuridae) a deep-water ascidian from the fjords and sounds of British Columbia. **Invertebrate Biology** 114: 89–106.

ภาคผนวก

ภาคผนวก ก

ขั้นตอนการคำนวณการเตรียม Phosphate buffer solution

การเตรียม Phosphate buffer solution ใช้โซเดียมไฮดรอกไซด์ (NAOH) 0.2 M 25% solution กับโพแทสเซียมไดไฮドเรนฟอสเฟต (KH_2PO_4) 0.2 M 15% solution มีวิธีคำนวณ stock solution ดังนี้

NAOH มี Molecular weight (MW) = 40

$$\frac{\text{จาก} \quad \frac{\text{น้ำหนัก (g)}}{\text{MW}} = \text{mol}}{\text{g} = 0.2}$$

$$\frac{}{40}$$

$$\frac{\text{ดังนั้น} \quad \text{g} = 8 \text{ g/L}}{\text{และจาก} \quad \text{M} = \text{mol/L}}$$

$$\text{หากต้องเตรียม solution 200 ml}$$

$$\text{จะต้องซึ่ง NAOH มา } 1.6 \text{ g \ ละลายในน้ำ } 200 \text{ ml}$$

KH_2PO_4 มี Molecular weight (MW) = 136.09

$$\frac{\text{จาก} \quad \frac{\text{น้ำหนัก (g)}}{\text{MW}} = \text{mol}}{\text{g} = 0.2}$$

$$\frac{}{136.09}$$

$$\frac{\text{ดังนั้น} \quad \text{g} = 27.218 \text{ g/L} = \text{ประมาณ } 27 \text{ g/L}}{\text{และจาก} \quad \text{M} = \text{mol/L}}$$

$$\text{หากต้องการเตรียม solution 200 ml}$$

$$\text{จะต้องซึ่ง } \text{KH}_2\text{PO}_4 \text{ มา } 5.4436 \text{ g } (\text{ประมาณ } 5.4 \text{ g}) \text{ ละลายในน้ำ } 200 \text{ ml}$$

จาก stock solution ทั้งสอง ต้องการเตรียม Phosphate buffer solution 200 ml จะต้องใช้ NAOH 0.2 M 50 ml ร่วมกับ KH_2PO_4 0.2 M 30 ml และเติมน้ำให้ครบ 200 ml ก็จะได้ Phosphate buffer solution ตามต้องการและจากการ calibrate ปริมาณของ buffer ที่จะต้องใช้ในแต่ละ flask พนว่าต้องใช้ phosphate buffer solution เดิม flask ละ 2 มิลลิลิตร จึงจะทำให้ได้ pH 7

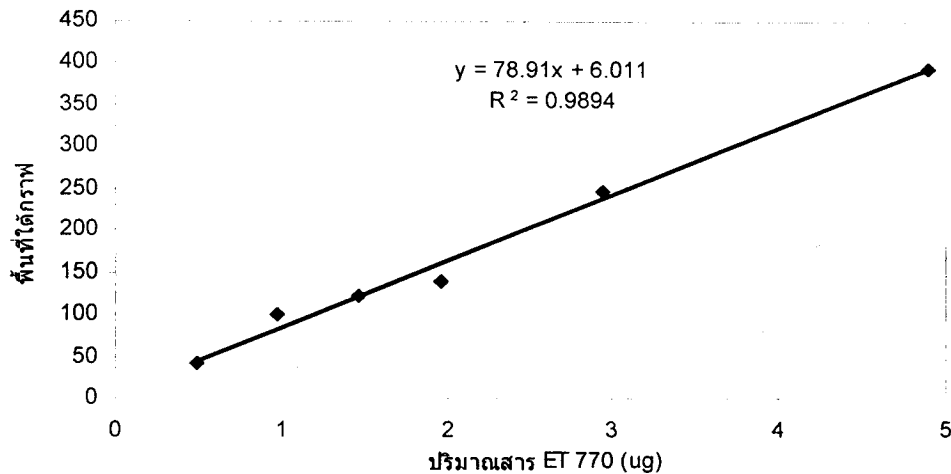
การคำนวณการใช้ KCN

เตรียม KCN solution โดยใช้ KCN 10 g ในน้ำ 100 มิลลิลิตร ตั้งน้ำจะได้ KCN 10% g / ml
การคำนวณ (KCN มี MW = 65.12)

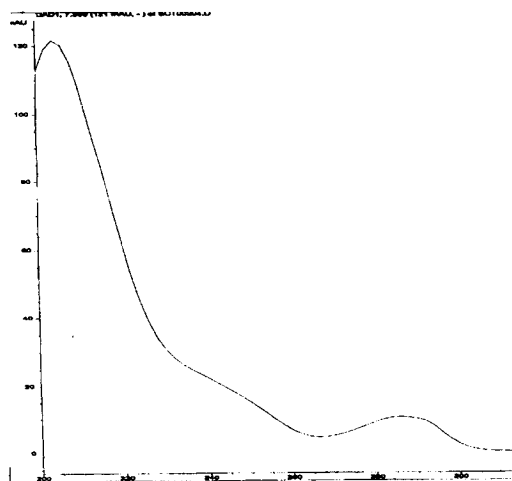
$$\text{ปริมาณตัวอย่าง } 1000 \text{ ml} \quad \text{ใช้ KCN} \quad 10 * 65.12 * 103 \text{ กรัม}$$

$$\text{ปริมาณตัวอย่าง } 200 \text{ ml} \quad \text{ใช้ KCN} \quad \frac{10 * 65.12 * 103}{200} = 0.13024 \text{ g}$$

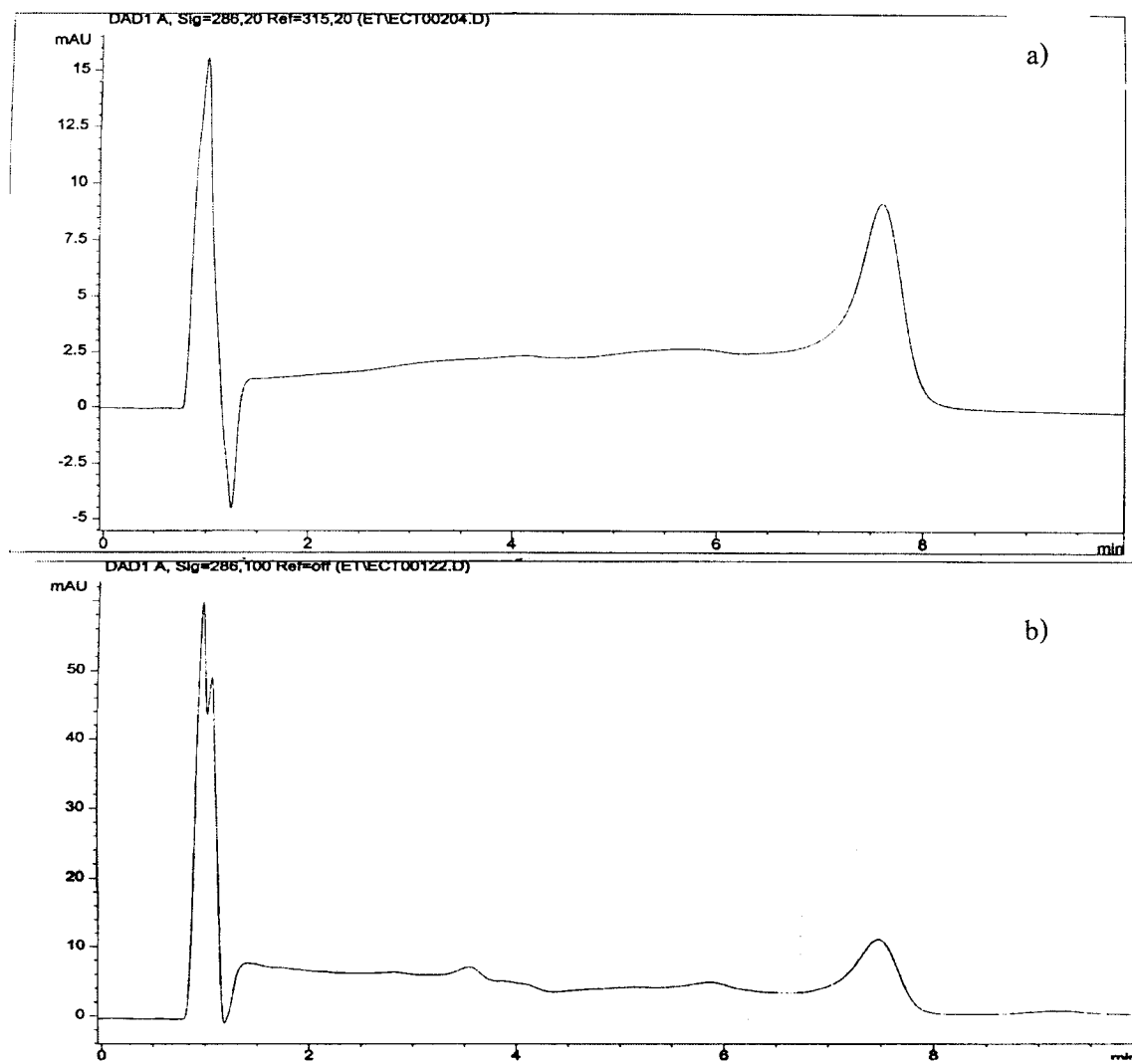
ค่ามาตรฐานสาร ET 770



ภาคผนวก ก-1. ค่ามาตรฐานสาร ET 770



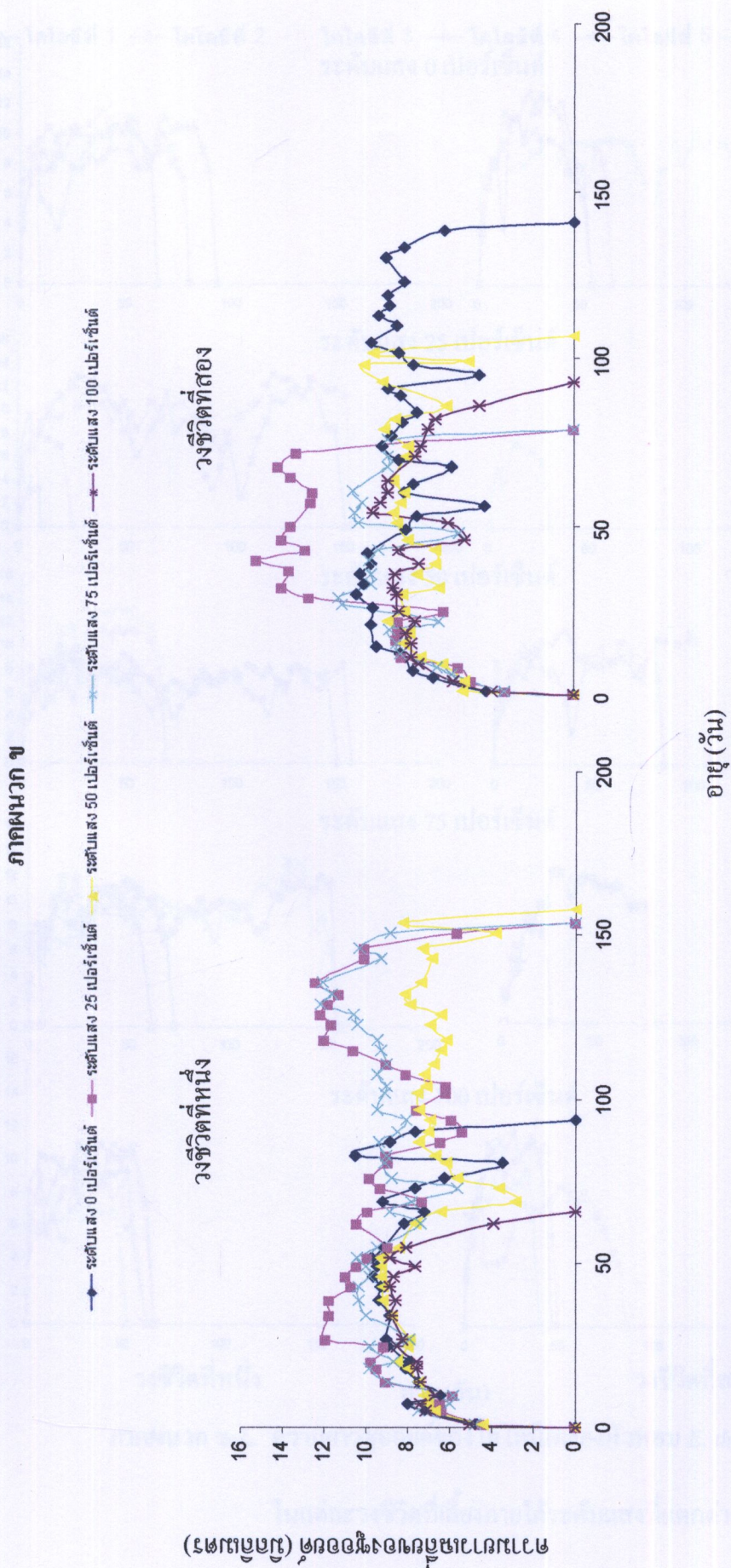
ภาคผนวก ก-2. ค่าการดูดกลืนแสงของสารมาตรฐาน ET 770



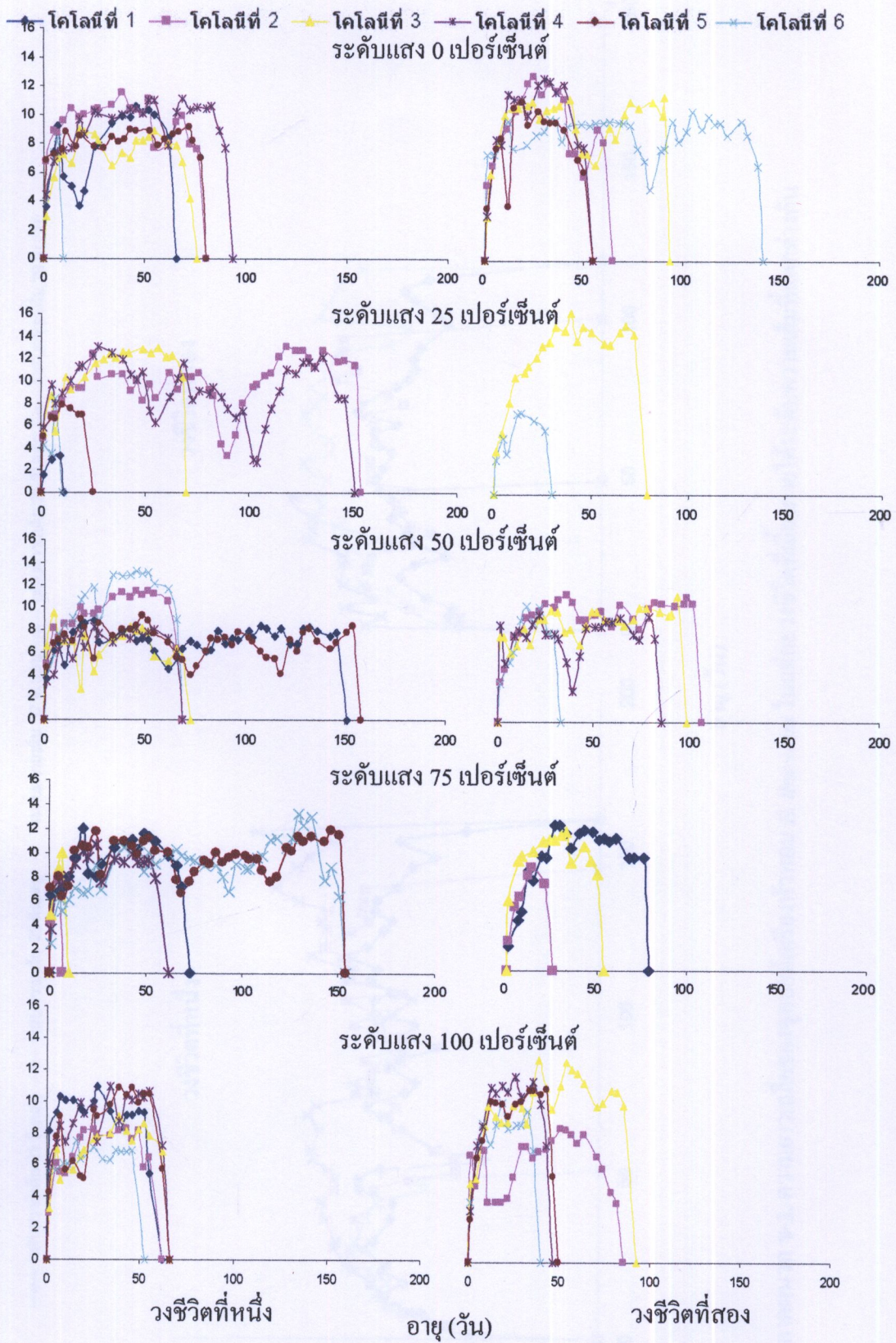
ภาคผนวก ก-3. โครามาโทแกรมของสาร ET 770 มีค่า retention time เท่ากับ 7.6 นาที

a) สารมาตรฐาน ET 770

b) สาร ET 770 ที่เพรียงหัวหอนจากการเลี้ยงผลิต

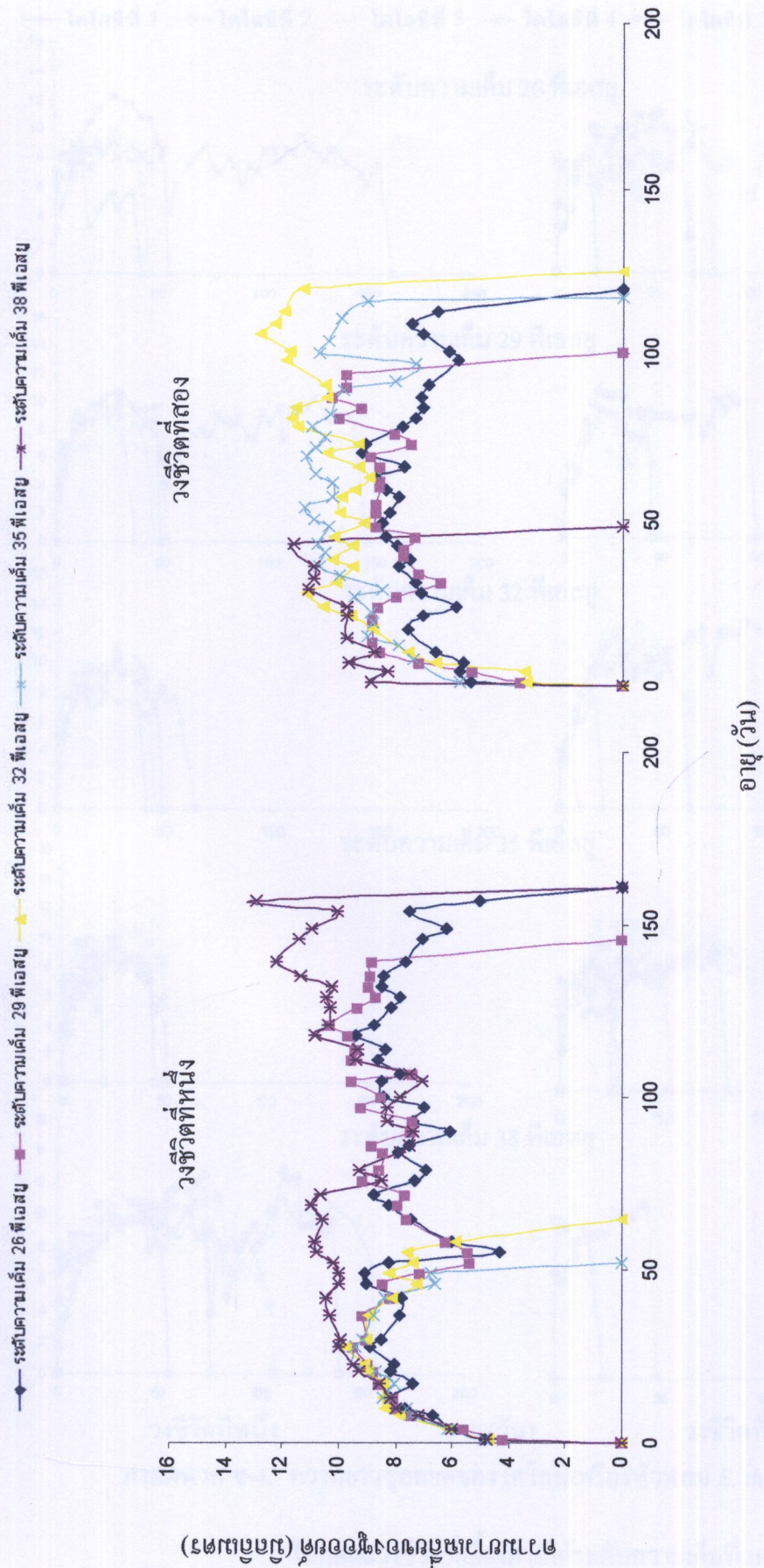


ความถี่การออกไข่ของตุ่ม (นิตติ์ต่อวัน)

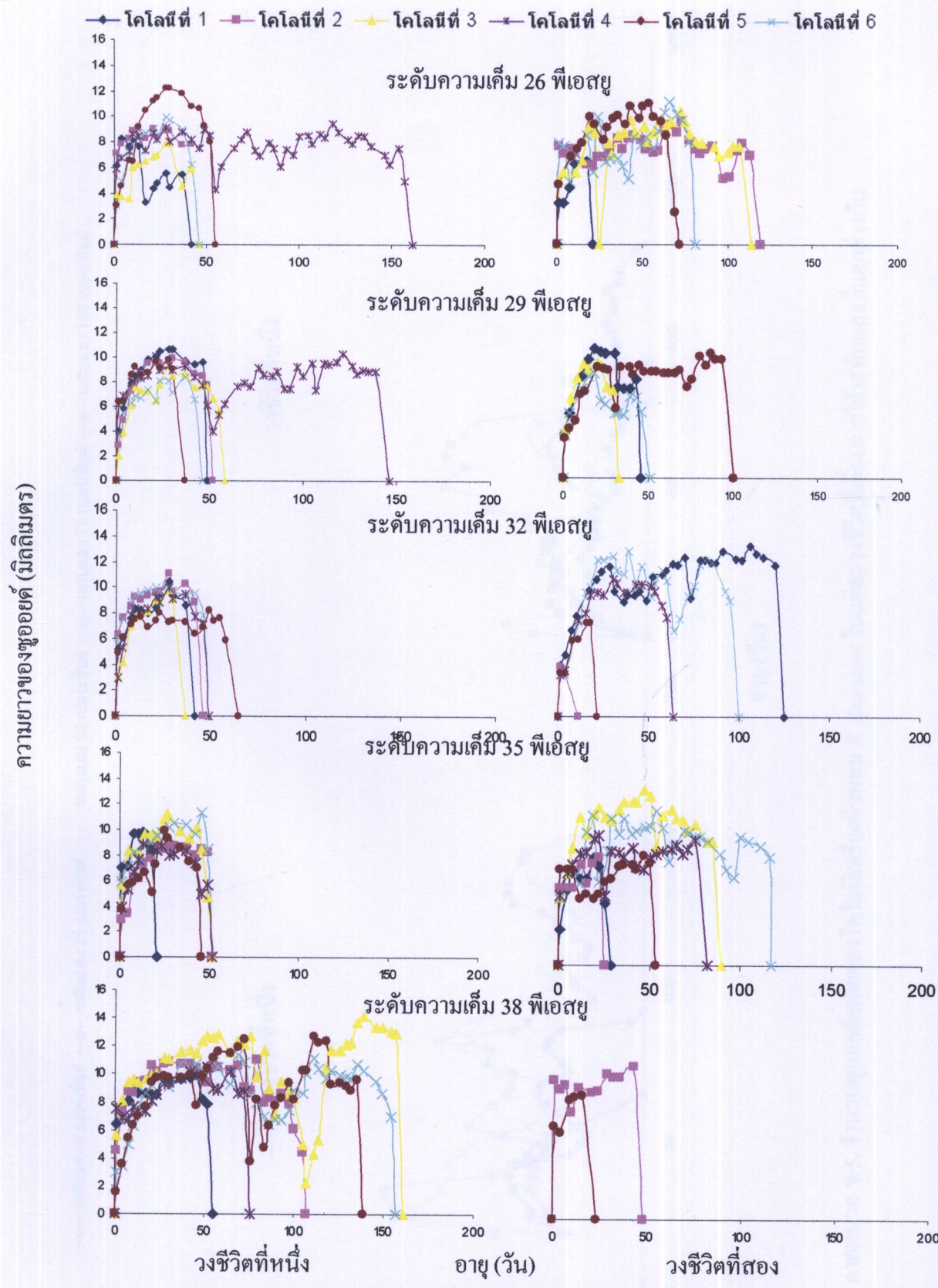


ภาคผนวก ข-2. ความถี่การออกไข่ของตุ่มของโคโลนีเพรียงหัวหอน *E. thurstoni*

ในแต่ละวัยชีวิตที่เลี้ยงภายใต้ระดับแสงที่แตกต่างกัน

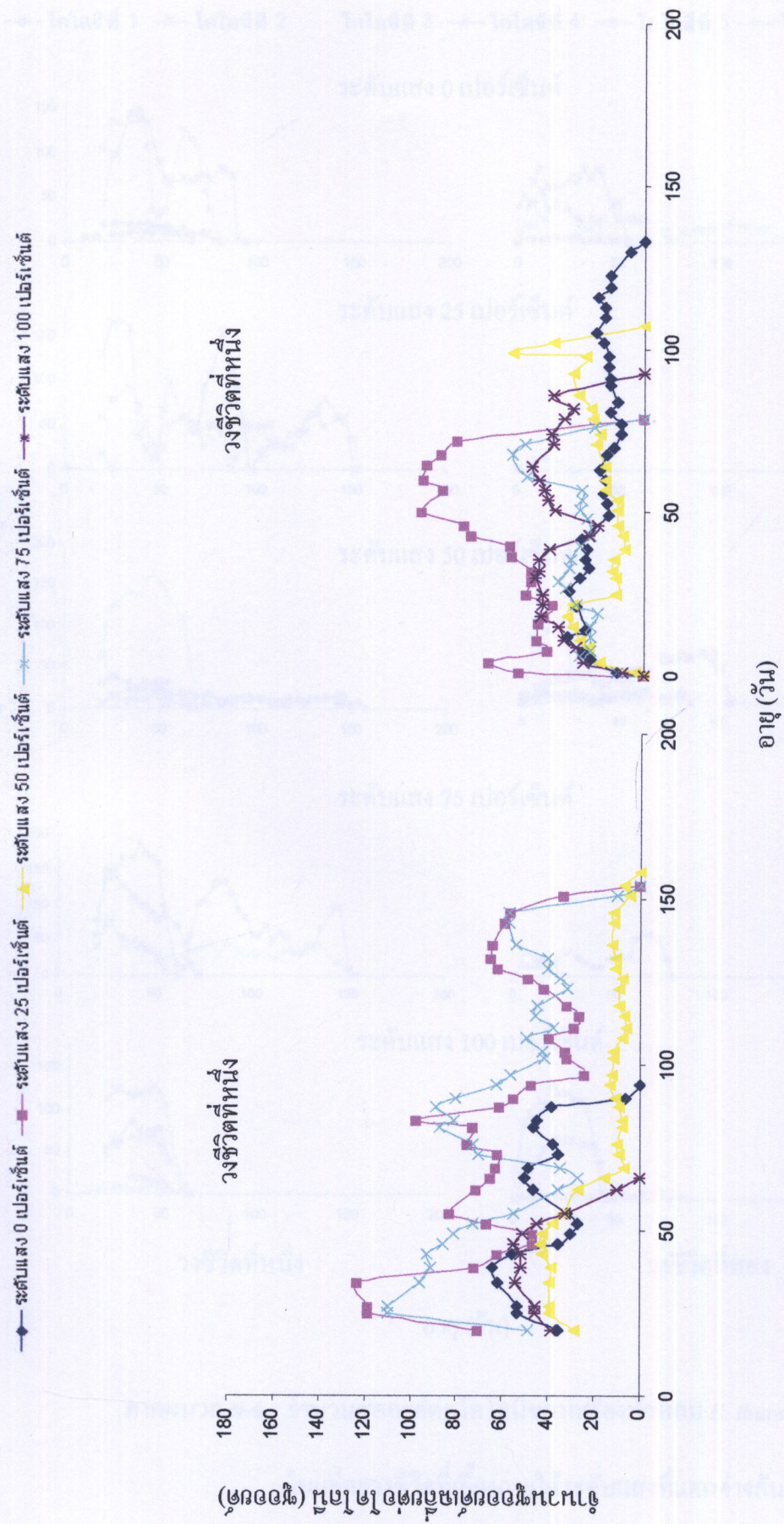


ภาคผนวก ช-3. ความหมายของอัตราการเจริญเติบโตของซูโคยกเพรียบหัวหอม *E. thurstonii* ในแต่ละวัยที่ได้ยังคงใช้ระบบคุณศักดิ์และต่อต้านภัยต่างกัน

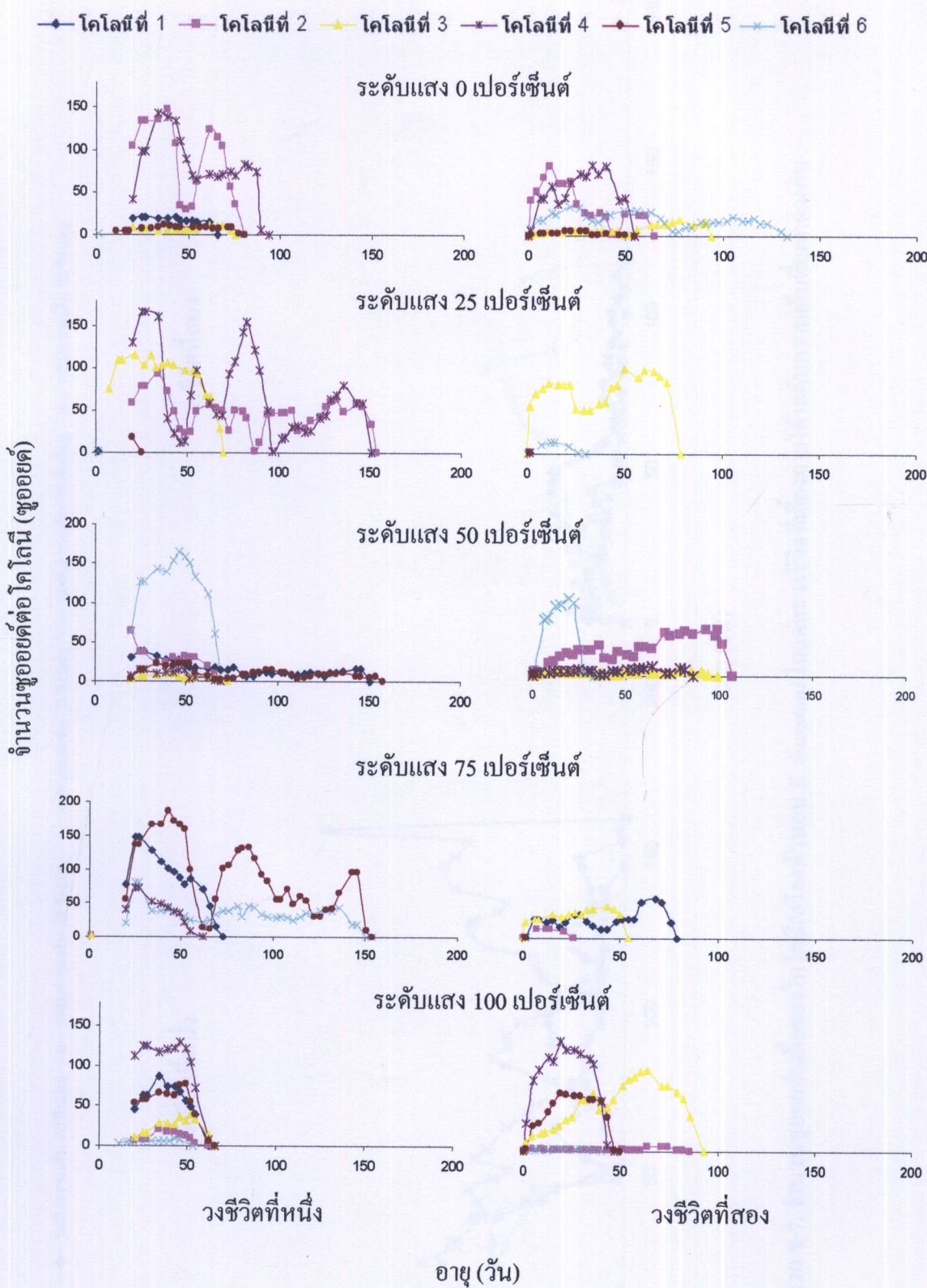


ภาคผนวก ข-4. ความยาวชูอยค์ของโคโนนีเพรียงหัวหอม *E. thurstoni*

ในแต่ละชีวิตที่เลี้ยงภายในตัวดับความคืบหน้าที่แตกต่างกัน

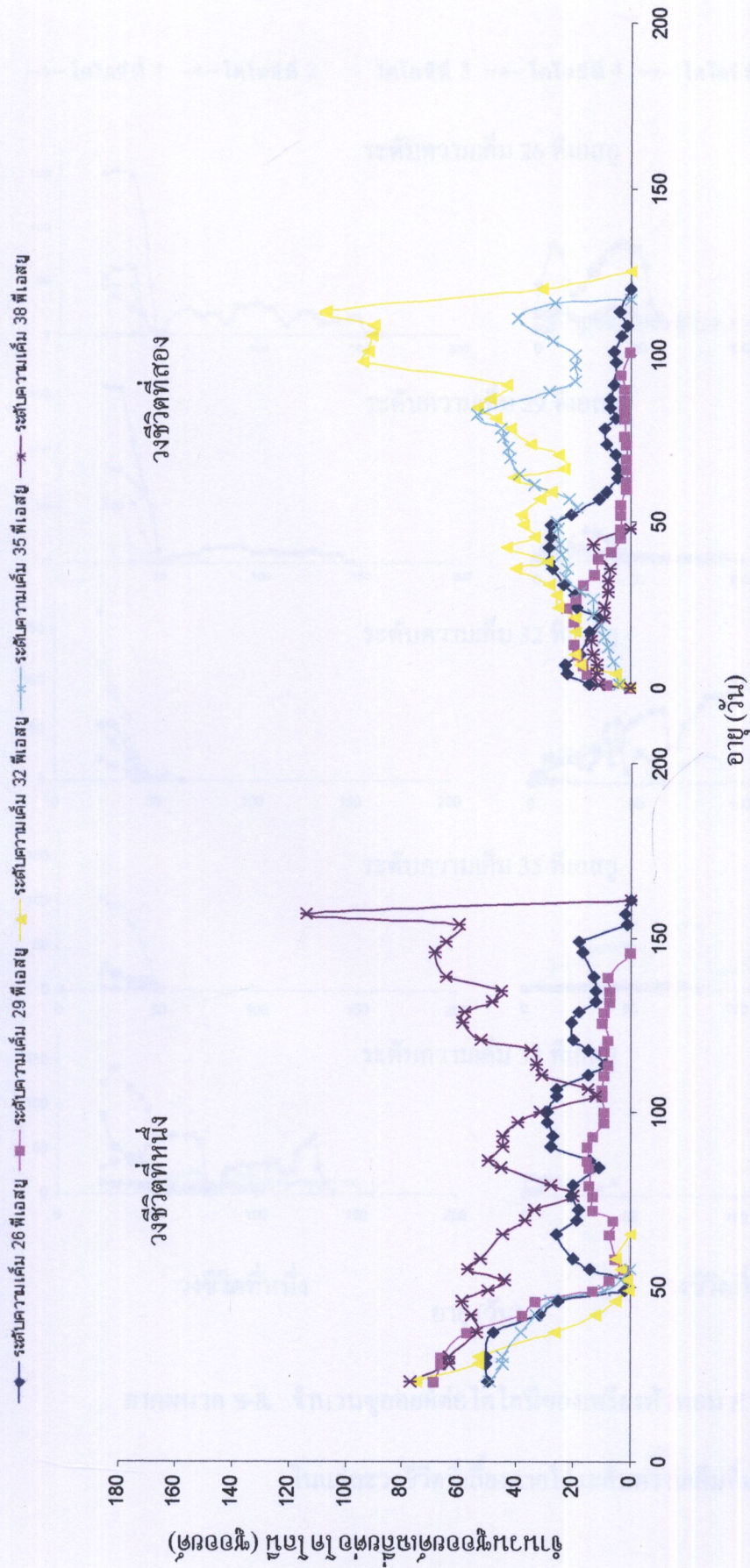


ภาคผนวก ฯ-5. จำานวนน้ำหนักของตัวเมี้ยงคง โค โคนีเพริญหัวหอน *E. thurstoni* และตัวเมี้ยงคงที่ถ่ายภาพในร่องดินตบแบบสองเทาโดยต่อตัวกัน

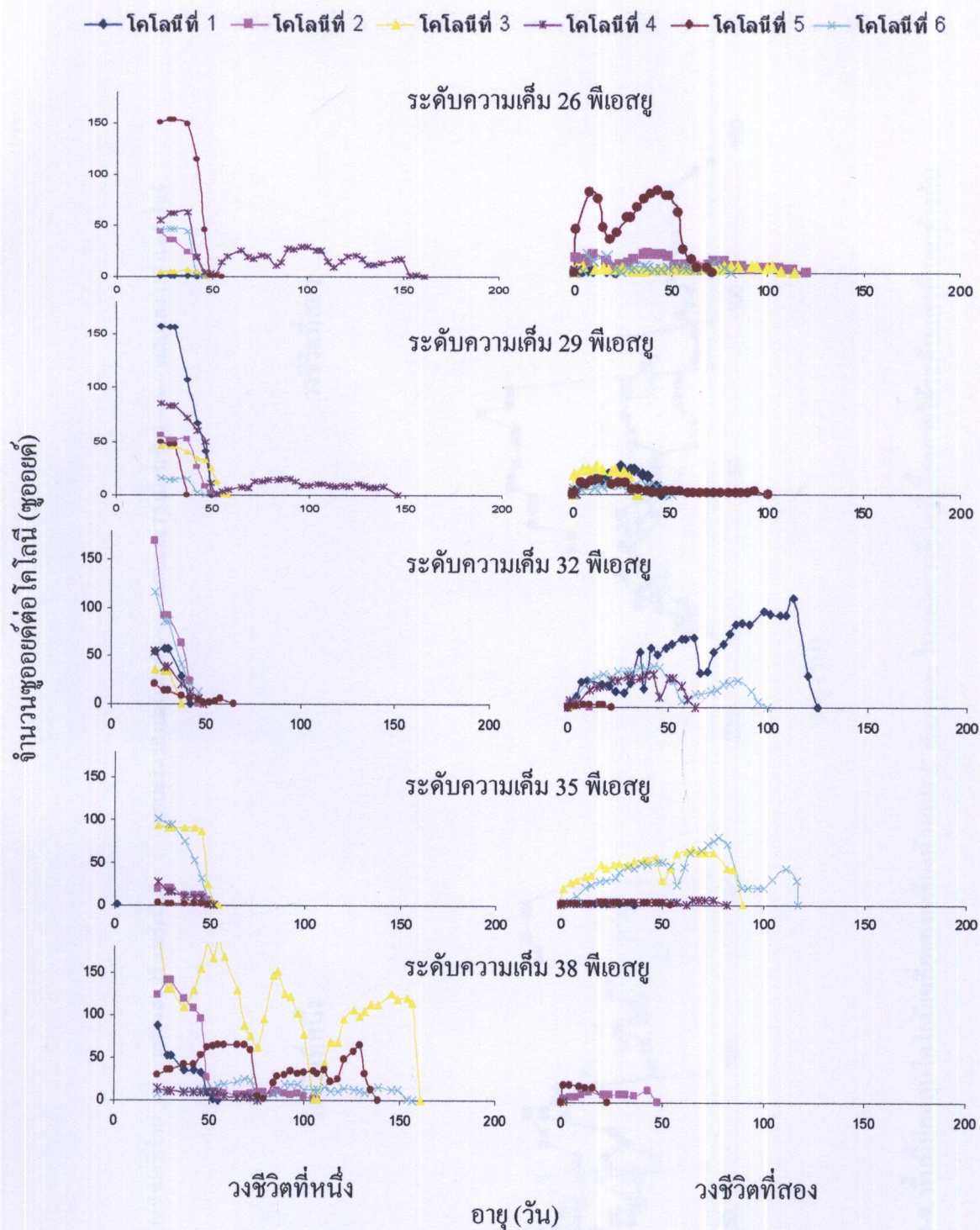


ภาคผนวก ข-6. จำนวนชูอยด์ต่อโคลoniของเพรียงหัวหอม *E. thurstoni*

ในแต่ละวันชีวิตที่เลี้ยงภายใต้ระดับเสียงที่แตกต่างกัน

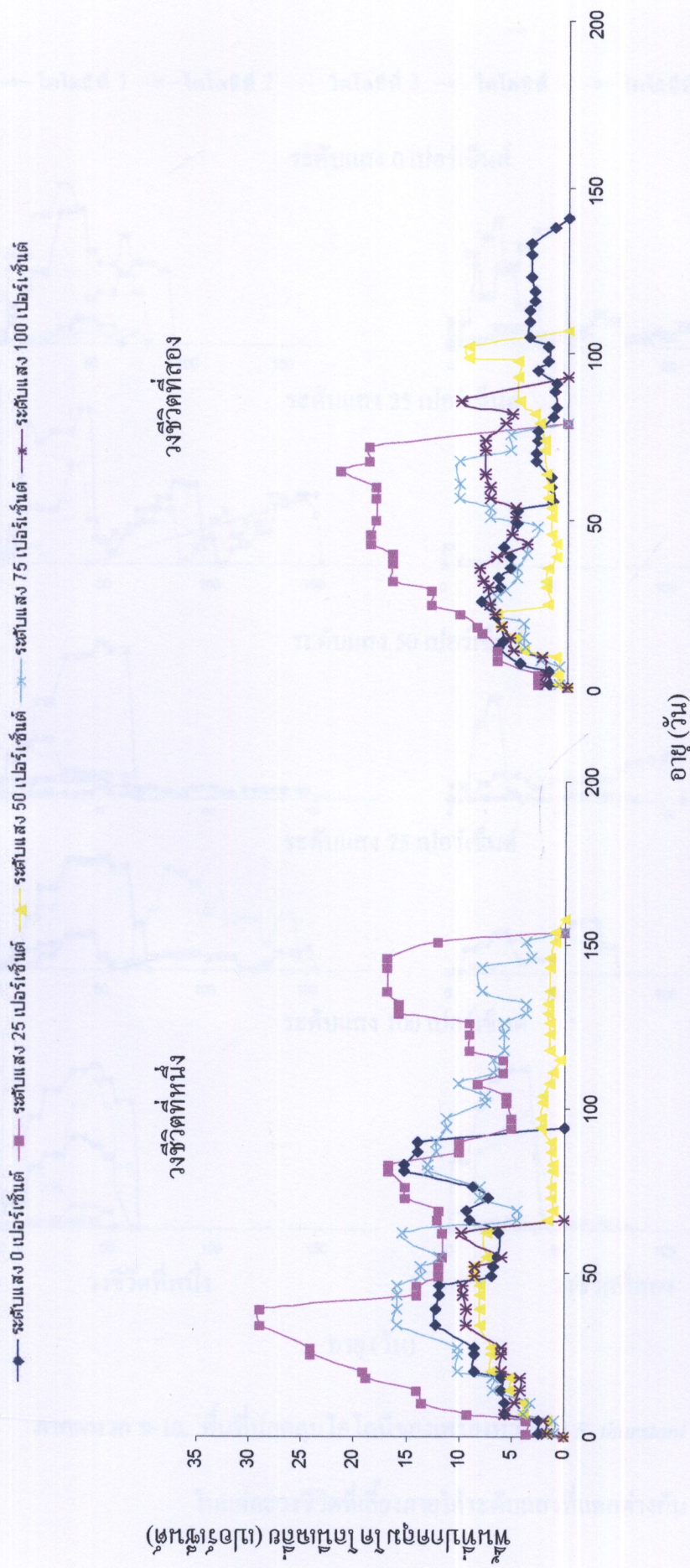


ภาคผนวก ช-7. จำนวนซูอย์ด์โดยตัวอย่าง กิโนเนพรีชงหัวหอม *E. thurstoni* ในแต่ละวัยที่ได้ยังคงการศึกษา ต่อระดับความคื้นที่แตกต่างกัน

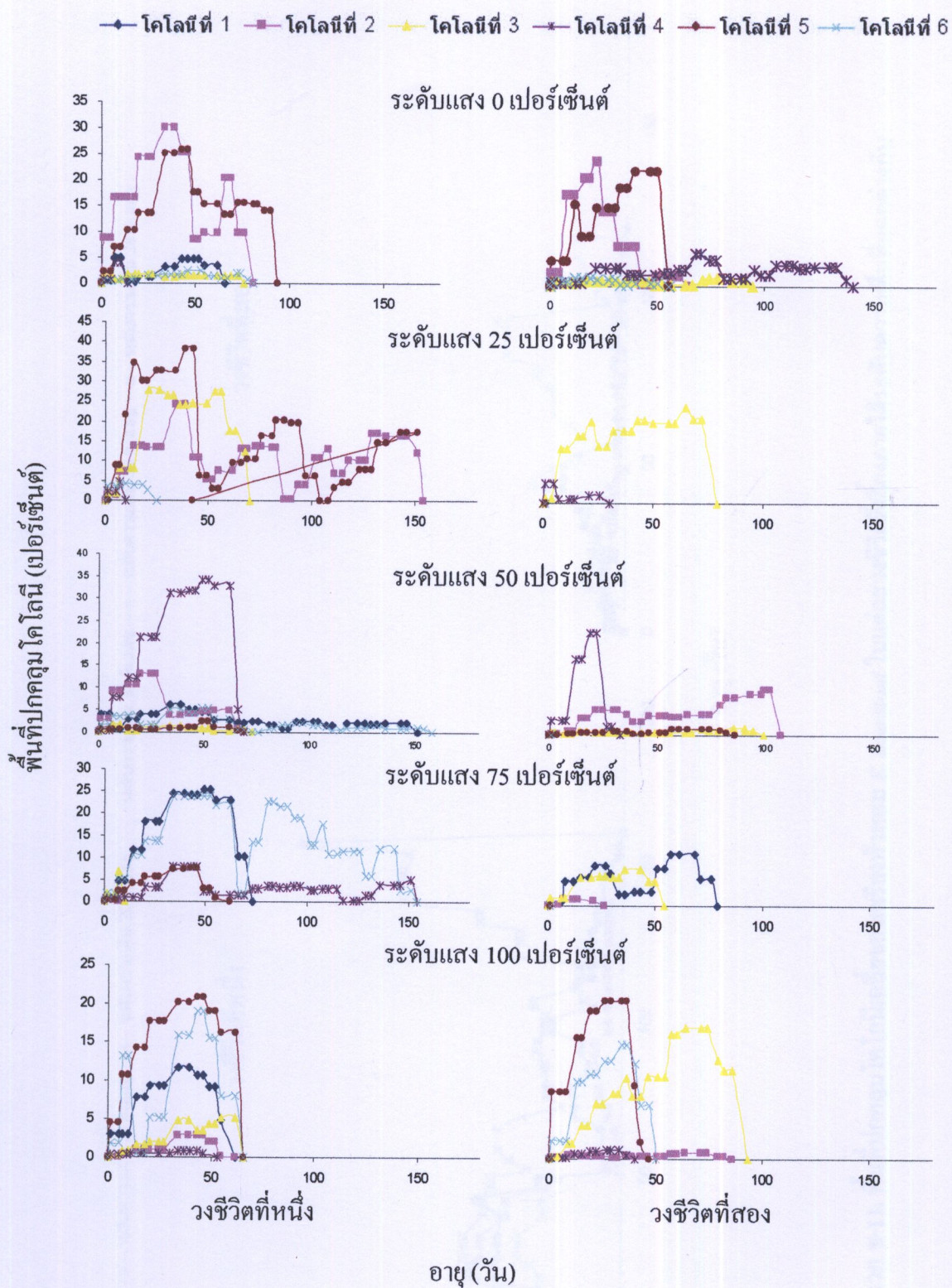


ภาคผนวก ข-8. จำนวนชูอยด์ต่อ โคโลนีของเพรียงหัวหนอง *E. thurstoni*

ในแต่ละวัยชีวิตที่เลี้ยงภายใต้ระดับความเค็มที่แตกต่างกัน



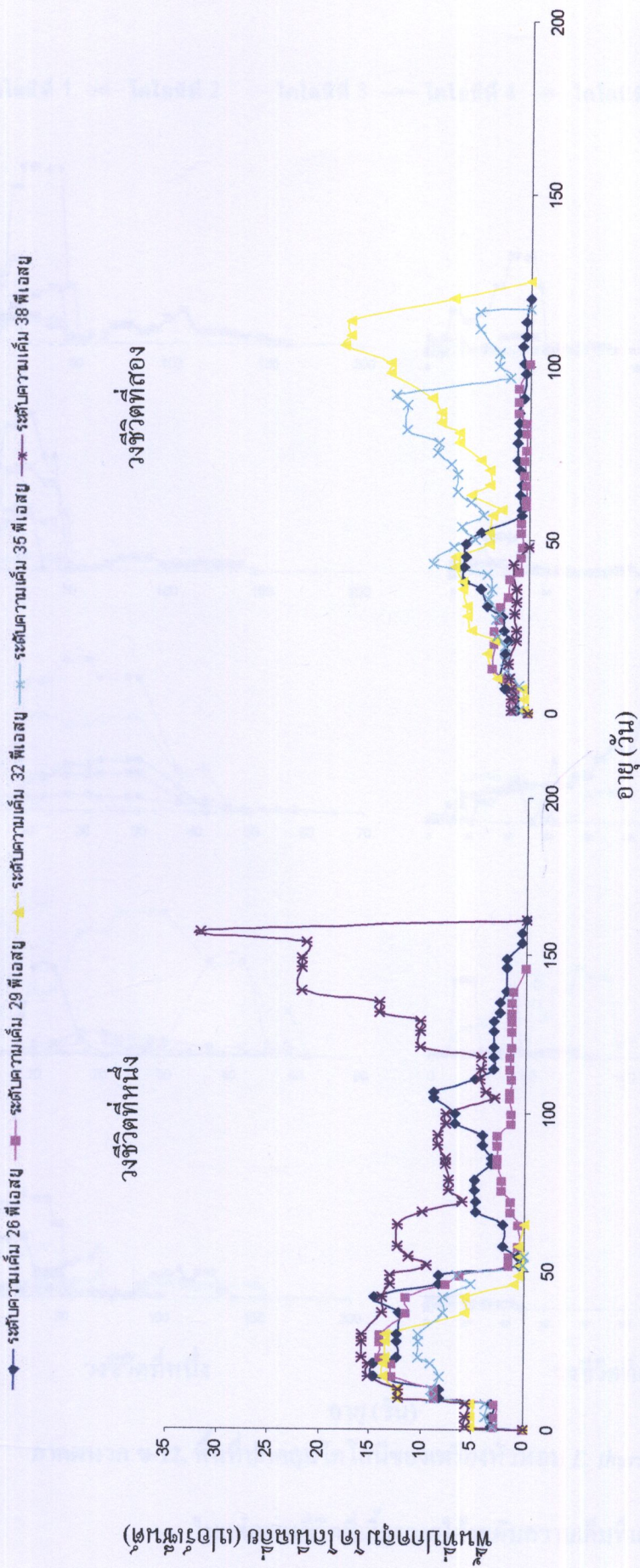
ການພາວກ ၂-၃. ພັນກາກຄຸນ ໂດຍໄດ້ຮັບອະນຸຍາຍໃຫຍ່ວ່າ ອົງຮົວທີ່ໄດ້ປະຕິບັດໄດ້



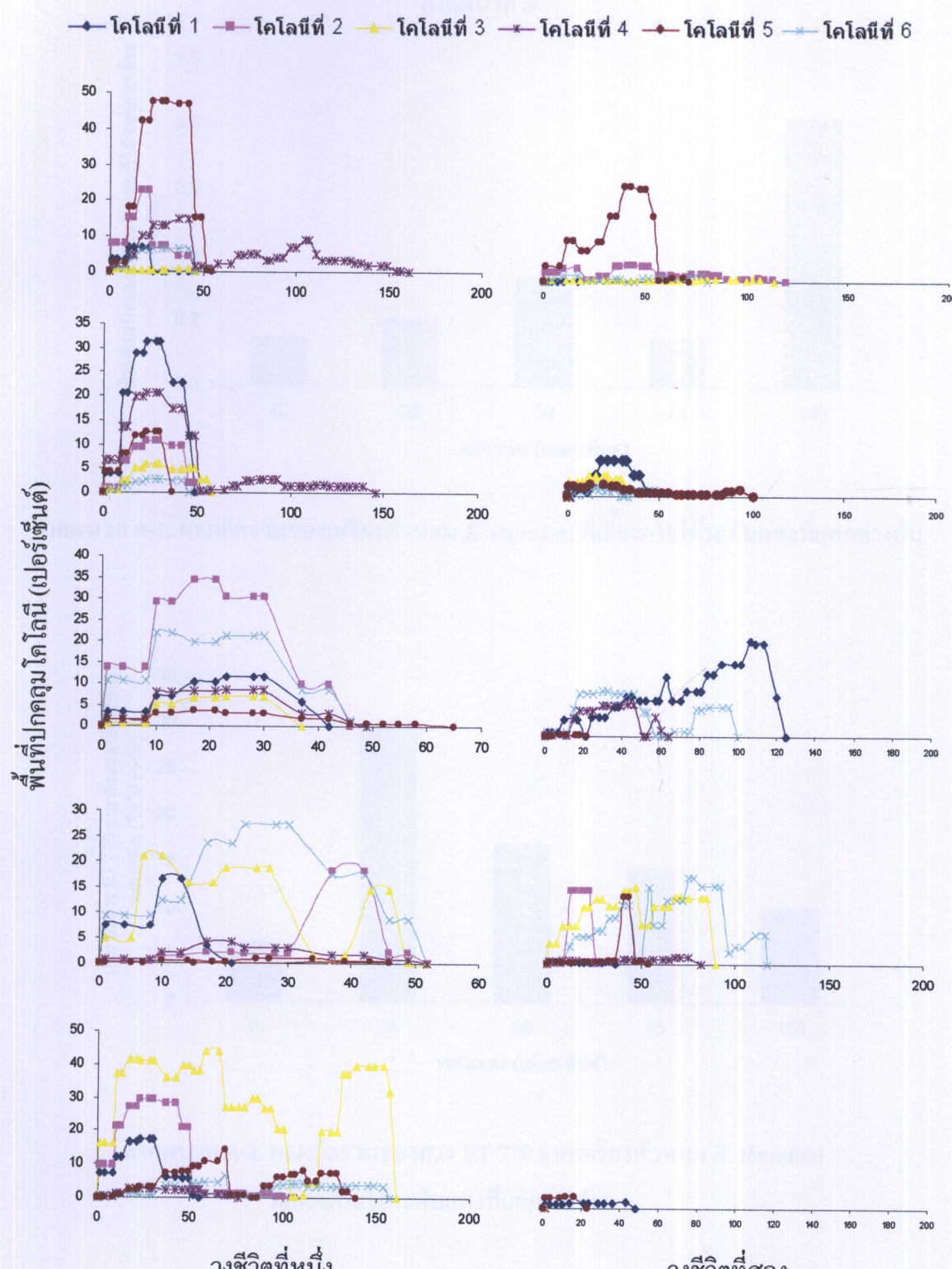
ภาคผนวก ข-10. พื้นที่ปักคุณโโคโลนีของเพรียหัวหอม *E. thurstoni*

ในแต่ละวัยชีวิตที่เลี้ยงภายใต้ระดับแสงที่แตกต่างกัน

ภาพผังวงกต ๗-๑๑. พันธุ์ป่าคุดูม โภคินีเมืองเชียงใหม่ของเพรชังหัวหอม *E. thurstonii* ในเขตละวางช่วงที่ได้รับผลกระทบโดยแรงทางเคมีต่อระดับความเข้มที่แตกต่างกัน

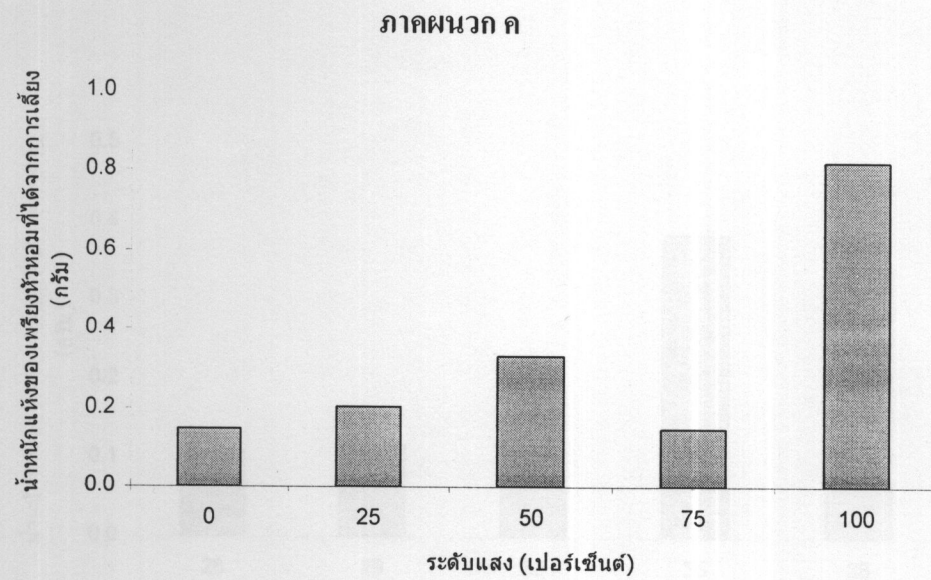


(掣หಡີອາງ) ດັບຍໍາຫຼູ ແກ້ໄຂເປັນເມວ

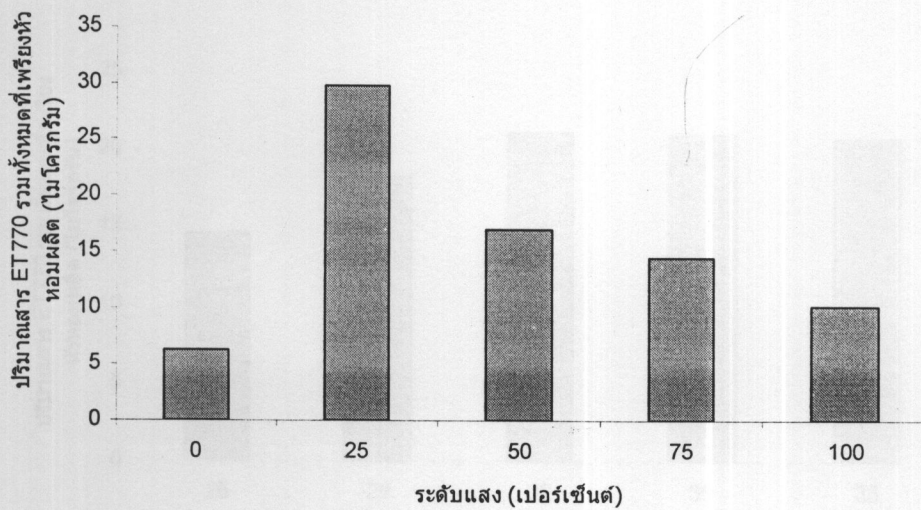


ภาคผนวก ข-12. พื้นที่ปักถิ่นโคลoniของเพรียงหัวหอม *E. thurstoni*

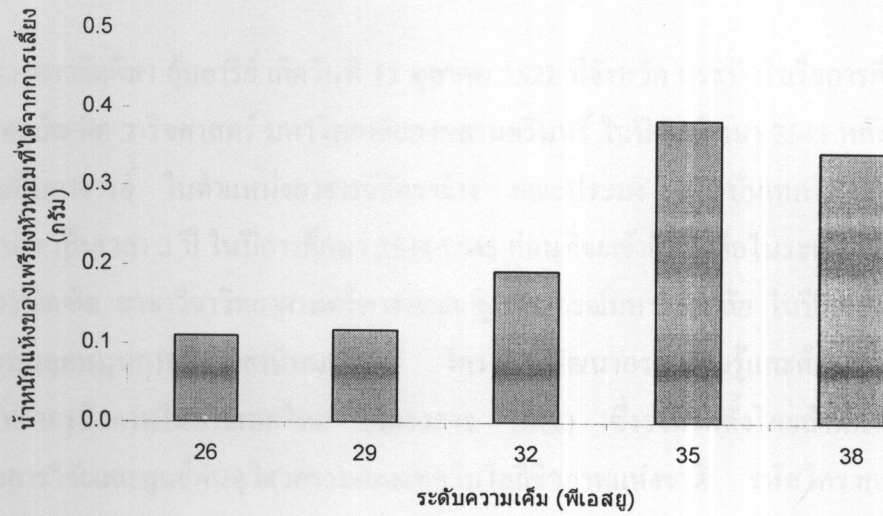
ในแต่ละวัยชีวิตที่เลี้ยงภายใต้ระดับความเค็มที่แตกต่างกัน



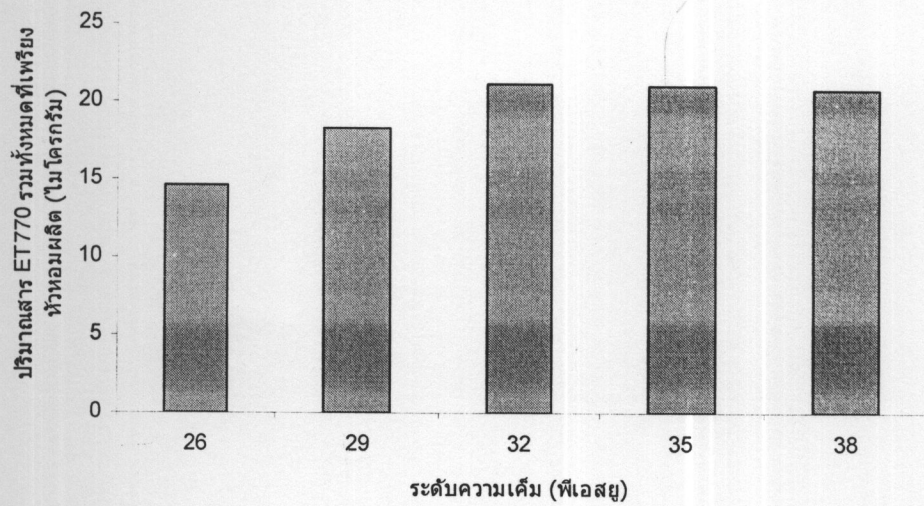
ภาคผนวก ค-1. ผลผลิตรวมของเพรียงหัวหوم *E. thurstoni* ที่เลี้ยงภายใต้ระดับแสงที่แตกต่างกัน



ภาคผนวก ค-2. ผลผลิตรวมของสาร ET 770 จากเพรียงหัวหوم *E. thurstoni* ที่เลี้ยงภายใต้ระดับแสงที่แตกต่างกัน



ภาคผนวก ค-3. ผลผลิตรวมของเพรียงหัวหอม *E. thurstoni*
ที่เลี้ยงภายใต้ระดับความเค็มที่แตกต่างกัน



ภาคผนวก ค-4. ผลผลิตรวมของสาร ET 770 จากเพรียงหัวหอม *E. thurstoni*
ที่เลี้ยงภายใต้ระดับความเค็มที่แตกต่างกัน

ประวัติผู้เขียนวิทยานิพนธ์

นางสาวจิตติมา อุ่มอารีย์ เกิดวันที่ 12 ตุลาคม 2522 ที่จังหวัด กระนี่ สำเร็จการศึกษาระดับ วิทยาศาสตรบัณฑิต วาริชศาสตร์ มหาวิทยาลัยสงขลานครินทร์ ในปีการศึกษา 2543 หลังจากนั้นจึง เข้าทำงานเป็นอาจารย์ ในตำแหน่งอาจารย์อัตราจ้าง คณะประมง สถาบันเทคโนโลยีราชมงคล จังหวัดกำแพง เป็นเวลา 2 ปี ในปีการศึกษา 2544-2545 ก่อนที่จะเข้าศึกษาต่อในระดับปริญญาวิทยาศาสตรมหาบัณฑิต สาขาวิชา生物ศาสตร์ทางทะเล จุฬาลงกรณ์มหาวิทยาลัย ในปีการศึกษา 2546 และได้รับทุนอุดหนุนการทำวิทยานิพนธ์จาก โครงการพัฒนาองค์ความรู้และศึกษาよいนิยมการจัดการทรัพยากรีวภาพในประเทศไทย (โครงการ BRT) ซึ่งร่วมจัดตั้งโดยสำนักงานกองทุนสนับสนุนการวิจัยและศูนย์พันธุวิศวกรรมและเทคโนโลยีชีวภาพแห่งชาติ รหัสโครงการ BRT T_348008 และจากบัณฑิตวิทยาลัย จุฬาลงกรณ์มหาวิทยาลัย ปีการศึกษา 2548 นอกจากนั้นในปี พ.ศ. 2548 ได้เข้าร่วมเสนอผลงานแบบโปสเตอร์ในหัวข้อเรื่อง ผลกระทบและความคืบต่อการเดินโตกและการผลิตสาร Ecteinascidins ของเพรียงหัวหอม *Ecteinascidia thurstoni* Herdman, 1891 ในงานประชุมวิชาการประจำปีโครงการ BRT ครั้งที่ 10

